

ГЛАВНОЕ УПРАВЛЕНИЕ ГИДРОМЕТЕОРОЛОГИЧЕСКОЙ СЛУЖБЫ
ПРИ СОВЕТЕ МИНИСТРОВ СССР

СРЕДНЕАЗИАТСКИЙ РЕГИОНАЛЬНЫЙ НАУЧНО-ИССЛЕДОВАТЕЛЬСКИЙ
ГИДРОМЕТЕОРОЛОГИЧЕСКИЙ ИНСТИТУТ

РЕСУРСЫ ПОВЕРХНОСТНЫХ ВОД СССР

КАТАЛОГ ЛЕДНИКОВ СССР

ТОМ 14

СРЕДНЯЯ АЗИЯ

ВЫПУСК 3

АМУДАРЬЯ

Часть 13

БАССЕЙН р. БАРТАНГА

ГИДРОМЕТОИЗДАТ
ЛЕНИНГРАД 1978

ГЛАВНОЕ УПРАВЛЕНИЕ ГИДРОМЕТЕОРОЛОГИЧЕСКОЙ СЛУЖБЫ
ПРИ СОВЕТЕ МИНИСТРОВ СССР

СРЕДНЕАЗИАТСКИЙ РЕГИОНАЛЬНЫЙ НАУЧНО-ИССЛЕДОВАТЕЛЬСКИЙ
ГИДРОМЕТЕОРОЛОГИЧЕСКИЙ ИНСТИТУТ

РЕСУРСЫ ПОВЕРХНОСТНЫХ ВОД СССР

КАТАЛОГ ЛЕДНИКОВ СССР

ТОМ 14

СРЕДНЯЯ АЗИЯ

ВЫПУСК 3

АМУДАРЬЯ

Часть 13

БАССЕЙН р. БАРТАНГА

А. С. ЩЕТИННИКОВ, Л. Д. ПОДКОПАЕВА



ГИДРОМЕТОИЗДАТ
ЛЕНИНГРАД 1978

Каталог ледников бассейна р. Бартанга просмотрен и отредактирован в отделе гляциологии Института географии АН СССР. Каталог рекомендован к печати секцией гляциологии Межведомственного геофизического комитета при Президиуме АН СССР.

Ответственный редактор
О. Н. ВИНОГРАДОВ

Редактор
Г. И. КОНОВАЛОВА

В Каталоге дается краткая характеристика географического положения, морфологии и режима ледников бассейна р. Бартанга. Приводятся основные сведения о ледниках, схемы расположения ледников, сведения об экспедиционных исследованиях.

Рассчитан на географов, гляциологов, гидрологов, метеорологов.

ПРЕДИСЛОВИЕ

Каталог ледников бассейна р. Бартанга является частью многотомного издания «Каталога ледников СССР», который в свою очередь в качестве самостоятельного раздела входит в справочное издание «Ресурсы поверхностных вод СССР». Деление Каталога ледников на тома, выпуски и части приводится ниже.

Настоящий каталог входит в том 14 — Средняя Азия, вып. 3 — Амударья — и является частью 13 последнего. В этой части приводятся сведения о ледниках бассейна собственно р. Бартанга и его правой составляющей р. Кудара. Оледенению левой составляющей — р. Мургабу — посвящена часть 14, вып. 3, т. 14.

Каталог состоит из схем расположения ледников, пяти основных таблиц и дополнительного материала, которым предшествует краткая характеристика географического положения, морфологии и режима ледников.

На схемах показаны все ледники площадью более $0,1 \text{ км}^2$. Они пронумерованы по часовой стрелке. В отдельных бассейнах с развитым оледенением нумеруется сначала главный ледник долины, затем все его притоки и другие самостоятельные ледники, не имеющие непосредственной связи с питающей ими рекой, т. е. дающие сток под главный ледник долины или его притоки. Номера на схемах совпадают с номерами тех же ледников во всех таблицах и на иллюстрациях.

Основные таблицы составлены в соответствии с «Руководством по составлению Каталога ледников СССР» и нумеруются римскими цифрами, в то время как таблицы, помещенные в тексте и в дополнительных материалах, имеют нумерацию арабскими цифрами в порядке их расположения.

Таблица I — Основные сведения о ледниках — содержит сведения о морфологическом типе, экспозиции, размерах (длина и площадь), высотных характеристиках (высоты низшей и верхней точек ледника, фирновой линии), площади области аблации и объеме каждого ледника размером $0,1 \text{ км}^2$ и более. Сведения о ледниках размером менее $0,1 \text{ км}^2$ приводятся в специальной таблице, помещенной в дополнительных материалах.

Основные сведения о ледниках получены по крупномасштабным картам, изображения ледников на которых уточнялись по материалам аэрофотосъемки залета 1966 г. Ледники нижнего участка долины р. Бартанга, на которые данных аэрофотосъемки нет, отдешифрированы при наземном посе-

щении и аэровизуальной разведке, проведенной в сентябре 1971 г.

Названия рек (графа 3), вытекающих из ледников, взяты с крупномасштабных карт. Графа 3 оставлена незаполненной в тех случаях, когда ледник является притоком главного ледника долины или когда сток с него происходит не в реку, а под другой ледник.

Морфологический тип и общая экспозиция ледников (графы 4, 5) определены по аэрофотоснимкам и картам. Тип ледника определялся по морфологической классификации, предложенной «Руководством по составлению Каталога ледников СССР». Экспозиция ледников приводится по 8 рубкам, обозначаемым начальными буквами их русских названий (С, СВ, В, ЮВ, Ю, ЮЗ, З, СЗ).

Длина ледников (графы 6, 7) при картометрических работах измерялась дважды циркулем с микрометренным винтом с постоянным расстоянием 1 или 2 мм в зависимости от размеров ледников. При расхождении полученных длин на величину, превышающую 2%-ную допустимую ошибку, измерения повторялись. В табл. 1 приведены значения абсолютных и относительных ошибок определения длины ледников.

Таблица 1
Ошибки определения длины ледников

Ошибка	Длина ледника, км				
	0,5	1	2	5	10
Абсолютная, км	0,1	0,1	0,1	0,1	0,1
Относительная, %	20	10	5	2	1

Площадь ледников измерялась при помощи палетки с ячейкой 1 мм^2 также двукратным повторением. Расхождения между первым и повторными измерениями не превышают 2% измеренной площади ледника.

Площади ледников приводятся с точностью до $0,1 \text{ км}^2$, т. е. в измеренные величины вводится ошибка округления, тем большая, чем меньше площадь ледника (рис. 1). Только при площади ледников больше $2,0 \text{ км}^2$ максимальные ошибки округления становятся равными или менее 2%-ных ошибок измерения.

Выделение на картах площади льда, закрытого мореной, производилось глазомерно-визуальным способом по материалам аэрофотосъемки. При этом в площадь современных ледников включены только те их покрытые мореной части, в которых лед имеет признаки движения, морфологически составляя одно целое с ледником.

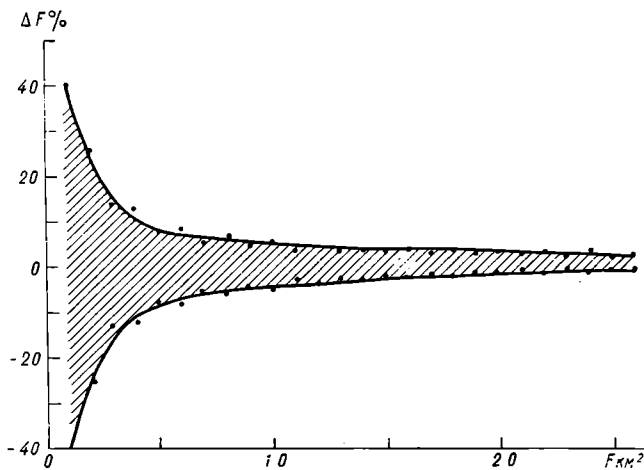


Рис. 1. Зависимость максимальной ошибки округления площади до 0,1 км² ($\Delta F\%$) от площади ледника F .

Высотные отметки низшей точки конца ледника, низшей точки открытой части ледника и высшей точки ледника (графы 10—12) сняты с крупномасштабных карт с точностью до 10—20 м.

Высота фирновой линии (графа 13) определена способом Курковского, по которому она в среднем многолетнем принимается равной средней взвешенной высоте ледника:

$$H_{\text{фирн}} = \frac{\sum_i^n H_i f_i}{F},$$

где H_i — средняя высота площадной зоны между двумя горизонталиами, f — площадь льда в зоне, F — площадь ледника. Как видно, для определения высоты фирмовой линии требуются данные о распределении площади ледников по высоте. Они были получены для каждого ледника размером более 0,1 км² по 100-метровым высотным интервалам. Суммированием площади льда группы ледников по 200-метровым высотным зонам получены распределения по высоте площади ледников, расположенных в бассейнах отдельных притоков (см. табл. 10), и для всего бассейна р. Бартанга в целом.

Площадь области аблации (графы 15, 16) определялась по найденной высоте фирмовой линии и распределению площади ледника по высоте. При этом площадь зоны, в которой находится фирмовая линия, линейной интерполяцией между высотами нижней горизонтали зоны, фирмовой линии и верхней горизонтали делилась на две части, нижняя из которых, заключенная между нижней горизонталью

и фирмовой линией, отнесена к площади области аблации. В графе 15 эта площадь приведена с точностью до 0,1 км², т. е. ошибки округления, как это видно из рис. 1, для малых градаций площадей весьма существенны. У ледников размером 0,1 км² в графах 15, 16 ставится прочерк.

Объем льда (графа 17) вычислен по формуле Н. В. Ерасова¹

$$V = 0,027 F^{1.5},$$

где F — площадь ледника.

В графе 18 даются ссылки на сведения о ледниках, помещенные в последующих основных таблицах, и на иллюстрации.

В табл. I ледники приводятся группами, относящимися к водосборам частных притоков р. Бартанга. В конце каждой выделенной группы ледников приводятся итоговые цифры — суммы площадей ледников, их открытых частей, площадей области аблации (общей и открытой части), объемов льда. Итоговые цифры площади дополнены суммарными площадями ледников размерами менее 0,1 км².

Таблица I сопровождается пояснением к ней, где представлены дополнительные сведения о происхождении названий ледников, их морфологических особенностях и др. В таких случаях в графе 1 табл. I после номера ледника, к которому относится пояснение, ставится звездочка (*).

Таблица II содержит список гидрометеорологических станций и постов в районе ледников, данные наблюдений которых могут быть использованы для исследования режима ледников и климатических условий района их распространения. Все станции и посты показаны на схеме их расположения, причем их нумерация на схеме совпадает с табличной.

Каталог завершается дополнительными материалами в виде таблиц и фотографий.

Учитывая, что крупномасштабные карты отдешифрированы по аэрофотосъемке 1966 г., сведения о ледниках относятся к этому году.

Настоящая часть Каталога ледников СССР составлена в лаборатории ледников Среднеазиатского регионального научно-исследовательского гидрометеорологического института А. С. Щетинниковым и Л. Д. Подкопаевой. В технической обработке материала принимали участие Н. С. Бассин, Д. В. Усманова и Л. М. Скворкова. В процессе работы над составлением каталога авторы пользовались советами В. Ф. Суслова. При составлении каталога широко применялись электронно-вычислительные машины. Расчеты высоты фирмовой линии, ледниковых коэффициентов, уклонов поверхности и объемов ледников выполнены на ЭВМ Минск-2 и Минск-22 по программам, составленным Г. Е. Глазыриным, а также А. С. Щетинниковым с помощью А. М. Овчинникова и Г. Е. Глазырина.

¹ Ерасов Н. В. Метод определения объема горных ледников. — «Материалы гляциол. исслед. (МГГ). Хроника, обсуждения», 1968, № 14.

ДЕЛЕНИЕ КАТАЛОГА ЛЕДНИКОВ СССР НА ТОМА, ВЫПУСКИ И ЧАСТИ

Подразделение Каталога ледников СССР на тома и выпуски полностью соответствует подразделению на тома и выпуски справочного издания «Ресурсы поверхностных вод СССР» (рис. 2). Как известно, этот справочник состоит из 20 томов, характеризующих вместе всю территорию Советского Союза. В основу разделения справочника на тома положен принцип принадлежности территории к крупным речным бассейнам.

Поскольку области современного оледенения находятся не в каждом из 20 районов — томов изда-

ния «Ресурсы поверхностных вод СССР», Каталог ледников СССР составляется лишь на районы, охватываемые томами 1, 3, 8, 9, 13—17, 19, 20 этого издания.

В связи с неравномерностью распределения оледенения по территории в пределах выделенных томов и отдельных выпусков предусматривается издание нескольких частей Каталога ледников СССР (см. список). Так, том 14 — Средняя Азия, вып. 3 — Амударья, разделенный на 20 частей, включает часть 13 — Бассейн р. Бартанга (рис. 3).

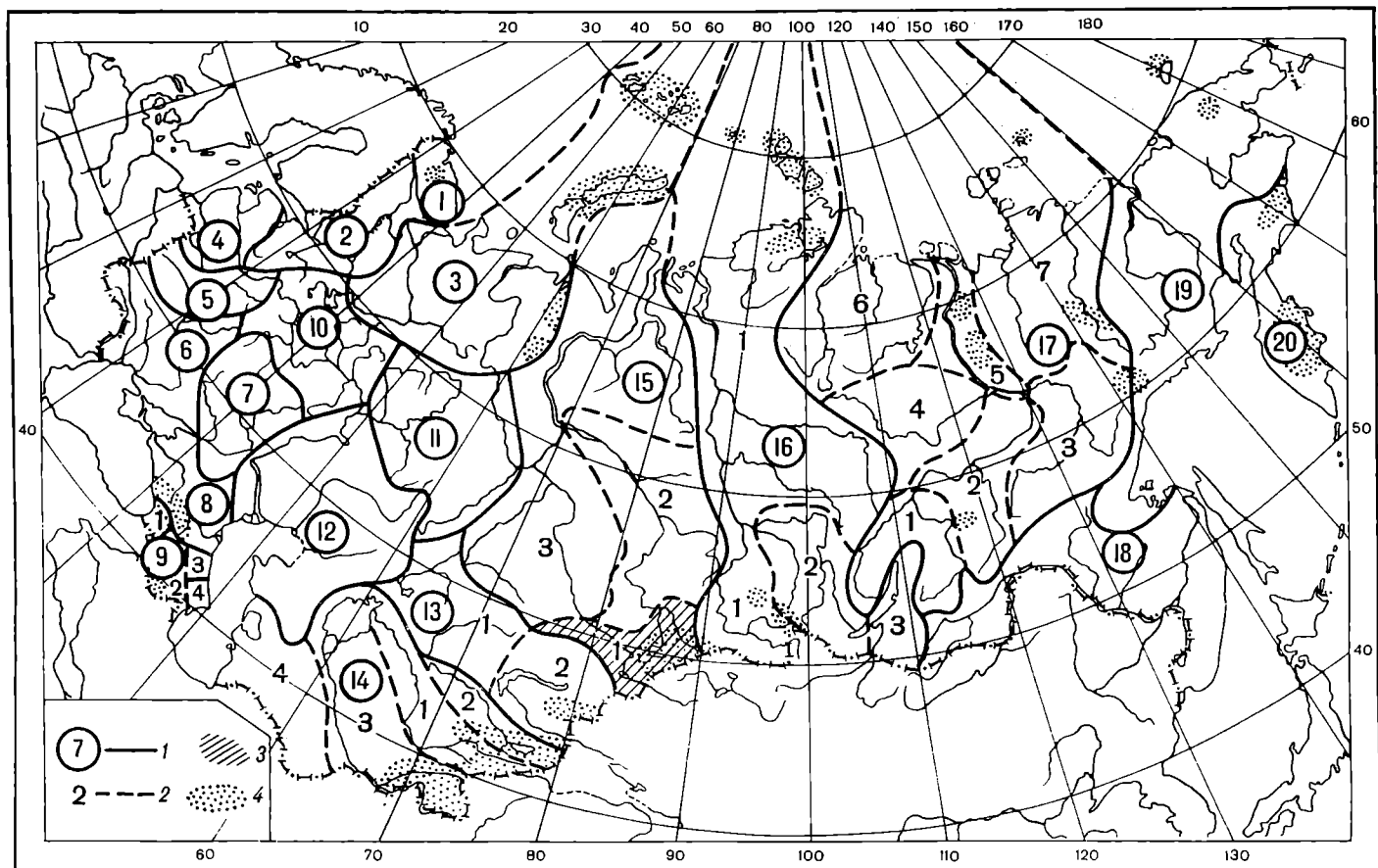


Рис. 2. Схема деления территории СССР на тома и выпуски Каталога ледников.

1 — номер тома и границы отнесенной к нему территории, 2 — номер выпуска и границы отнесенной к нему территории, 3 — территория, сведения об оледенении которой включены в том 14, вып. 3 — Амударья, 4 — районы современного оледенения,

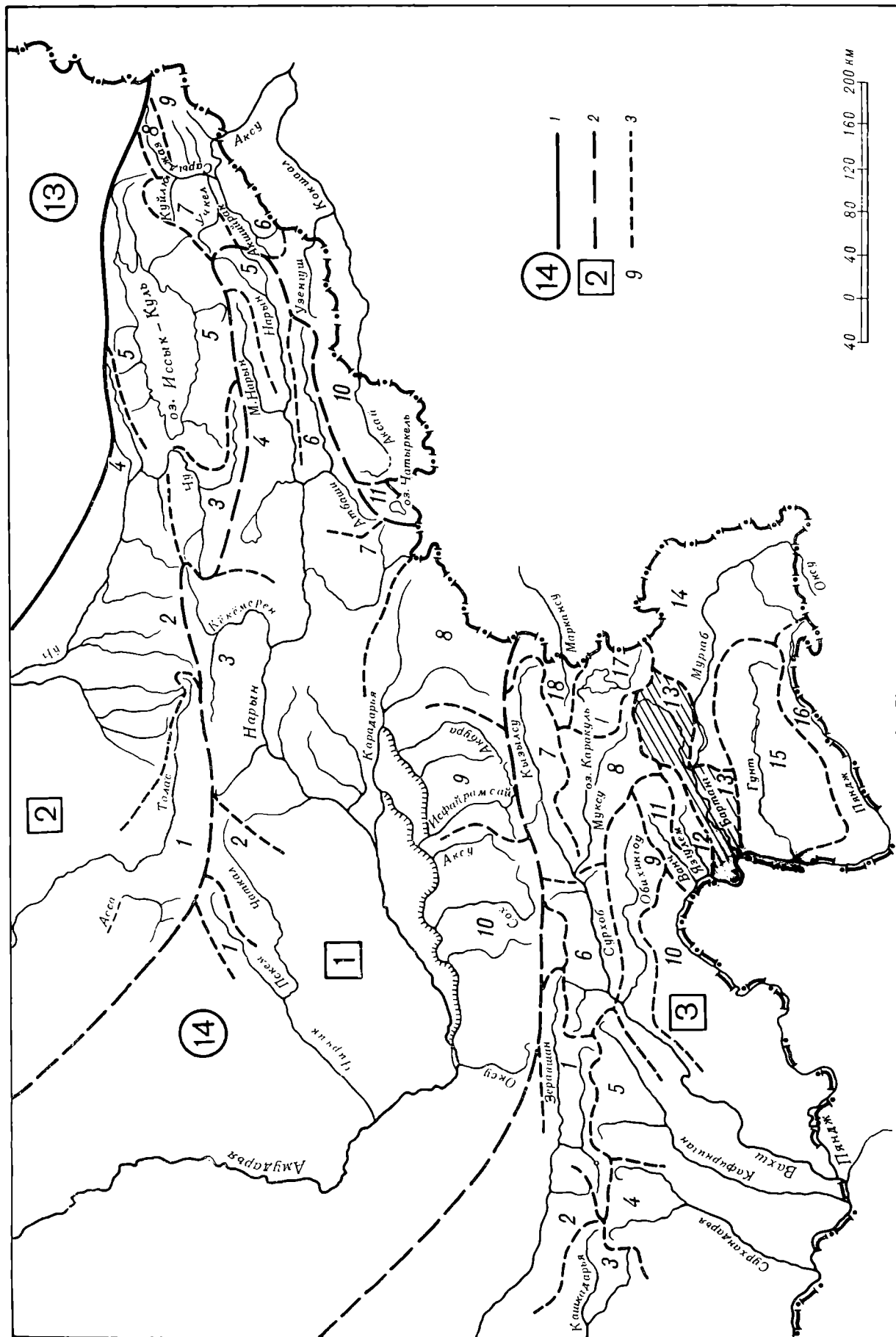


Рис. 3. Схема деления на выпуски и части тома 14 — Средняя Азия — Каталога ледников СССР.
1 — номер тома и границы отнесенной к нему территории, 2 — номер выпуска и границы отнесенной к нему территории, 3 — номер части и границы отнесенной к ней территории (приложкой выделена территория, отнесенная к части 13 выпуска тома 14).

СПИСОК ТОМОВ, ВЫПУСКОВ И ЧАСТЕЙ КАТАЛОГА ЛЕДНИКОВ СССР

Том 1. КОЛЬСКИЙ ПОЛУОСТРОВ

Часть 1. Хибинские горы (издано в 1966 г.)

Том 3. СЕВЕРНЫЙ КРАЙ

Часть 1. Земля Франца-Иосифа (издано в 1965 г.)

Часть 2. Новая Земля

Часть 3. Урал (издано в 1966 г.)

Том 8. СЕВЕРНЫЙ КАВКАЗ

Часть 1. Бассейны рек Белой, Лабы, Урупа (издано в 1967 г.)
Часть 2. Бассейны рек Большого Зеленчука, Малого Зеленчuka (издано в 1967 г.)

Часть 3. Бассейн р. Теберды (издано в 1967 г.)

Часть 4. Бассейн верховьев р. Кубани (издано в 1967 г.)

Часть 5. Бассейны рек Малки, Баксана (издано в 1970 г.)

Часть 6. Бассейн р. Чегема (издано в 1973 г.)

Часть 7. Бассейн р. Черека (издано в 1973 г.)

Часть 8. Бассейн р. Уруха (издано в 1976 г.)

Часть 9. Бассейн р. Ардона (издано в 1976 г.)

Часть 10. Бассейны рек Фиагдона, Гизельдона (издано в 1977 г.)

Часть 11. Бассейн верховьев р. Терека (издано в 1977 г.)

Часть 12. Бассейны правых притоков р. Сунжи (издано в 1977 г.)

Том 9. ЗАКАВКАЗЬЕ И ДАГЕСТАН

Выпуск 1. Западное Закавказье

Часть 1. Бассейн р. Мзымты (издано в 1977 г.)

Часть 2. Бассейн р. Бзыби (издано в 1975 г.)

Часть 3. Бассейн р. Келасури (издано в 1975 г.)

Часть 4. Бассейн р. Кодори (издано в 1975 г.)

Часть 5. Бассейн р. Ингурис (издано в 1975 г.)

Часть 6. Бассейны рек Хоби, Риони (издано в 1975 г.)

Часть 7. Бассейны левых притоков р. Куры (издано в 1975 г.)

Выпуск 2. Армения

Часть 1. Бассейн р. Аракса

Выпуск 3. Дагестан

Часть 1. Бассейн р. Сулака (издано в 1975 г.)

Часть 2. Бассейн р. Самура (издано в 1975 г.)

Выпуск 4. Восточное Закавказье

Часть 1. Бассейн р. Кусарчая (издано в 1975 г.)

Том 13. ЦЕНТРАЛЬНЫЙ И ЮЖНЫЙ КАЗАХСТАН

Выпуск 2. Бассейн оз. Балхаш

Часть 1. Бассейны левых притоков р. Или от устья р. Курты до устья р. Тургени (издано в 1967 г.)

Часть 2. Бассейн р. Чилика (издано в 1968 г.)

Часть 3. Бассейны рек Чарына, Текеса (издано в 1969 г.)

Часть 4. Бассейны рек Хоргоса, Усека (издано в 1975 г.)

Часть 5. Бассейн р. Карагата

Часть 6. Бассейны рек Биена, Аксу, Лепсы (издано в 1970 г.)

Часть 7. Бассейны рек Тентека, Ргаты (издано в 1969 г.)

Том 14. СРЕДНЯЯ АЗИЯ

Выпуск 1. Сырдарья

Часть 1. Бассейн р. Пскема (издано в 1968 г.)

Часть 2. Бассейн р. Чаткала (издано в 1970 г.)

Часть 3. Бассейны правых притоков р. Нарына ниже устья р. Кёкемерена

Часть 4. Бассейны правых притоков р. Нарына от устья р. Кёкемерена до устья р. Малого Нарына (издано в 1973 г.)

- Часть 5. Бассейны правых и левых притоков верховьев р. Нарына
Часть 6. Бассейн р. Атбashi (издано в 1974 г.)
Часть 7. Бассейны левых притоков р. Нарына от устья р. Атбashi до устья р. Карадары (издано в 1977 г.)
Часть 8. Бассейн р. Карадары
Часть 9. Бассейны левых притоков р. Сырдарьи от устья р. Карадары до устья р. Аксу (издано в 1974 г.)
Часть 10. Бассейны левых притоков р. Сырдарьи от устья р. Аксу и ниже (издано в 1974 г.)
Часть 11. Бассейн р. Арыси (издано в 1976 г.)

Выпуск 2. Киргизия

- Часть 1. Бассейны рек Ассы, Таласа (издано в 1968 г.)
Часть 2. Бассейны левых притоков р. Чу ниже устья р. Коморчека (издано в 1973 г.)
Часть 3. Бассейн верховьев р. Чу (издано в 1971 г.)
Часть 4. Бассейны правых притоков р. Чу ниже Боамского ущелья (издано в 1969 г.)
Часть 5. Реки бассейна оз. Иссык-Куль (издано в 1976 г.)
Часть 6. Бассейн р. Акшийрака (издано в 1970 г.)
Часть 7. Бассейны правых притоков р. Сарыджаза между устьями рек Акшийрака и Куйлю (издано в 1969 г.)
Часть 8. Бассейн верховьев р. Сарыджаза от устья р. Куйлю и выше
Часть 9. Бассейны левых притоков р. Сарыджаза (реки Иныльчик, Каинды, Каюкан)
Часть 10. Бассейн р. Кокшала (издано в 1971 г.)
Часть 11. Реки бассейна оз. Чатыркель (издано в 1971 г.)

Выпуск 3. Амударья

- Часть 1. Бассейн верховьев р. Зеравшана от устья р. Фандары
Часть 2. Бассейн р. Зеравшана ниже устья р. Фандары
Часть 3. Бассейн р. Кашкадары (издано в 1969 г.)
Часть 4. Бассейн р. Сурхандары (издано в 1969 г.)
Часть 5. Бассейн р. Кафирнигана
Часть 6. Бассейн р. Сурхоба между устьями рек Обихингоу и Муксу (издано в 1971 г.)
Часть 7. Бассейн р. Кызылсу (издано в 1976 г.)
Часть 8. Бассейн р. Муксу
Часть 8A — Система ледника Федченко (бассейн р. Муксу) (издано в 1969 г.)
Часть 9. Бассейн р. Обихингоу
Часть 10. Бассейны правых притоков р. Пянджа от устья р. Вахша до устья р. Ванча
Часть 11. Бассейн р. Ванча
Часть 12. Бассейн р. Язгулема
Часть 13. Бассейн р. Бартанга
Часть 14. Бассейн р. Мургаба
Часть 15. Бассейн р. Гунта
Часть 16. Бассейн верховьев р. Пянджа выше устья р. Гунта
Часть 17. Реки бассейна оз. Каракуль (издано в 1975 г.)
Часть 18. Бассейн верховьев р. Маркансу (издано в 1975 г.)
Часть 19. Бассейн р. Восточной Кызылсу
Часть 20. Бассейн правых притоков р. Пянджа между устьями рек Язгулема, Бартанга и Гунта

Том 15. АЛТАЙ И ЗАПАДНАЯ СИБИРЬ

Выпуск 1. Горный Алтай и Верхний Иртыш

- Часть 1. Бассейны левых притоков р. Иртыша (издано в 1969 г.)
Часть 2. Бассейн р. Кабы (издано в 1969 г.)
Часть 3. Бассейны рек Курчума, Бухтармы, Ульбы, Убы (издано в 1969 г.)
Часть 4. Бассейн верховьев р. Катуни
Часть 5. Бассейн р. Аргута
Часть 6. Бассейн р. Чуи (издано в 1974 г.)
Часть 7. Бассейн р. Бии
Часть 8. Бассейны рек Моген-Бурен, Каргы

Выпуск 2. Верхняя и Средняя Обь

- Часть 1. Бассейны рек Томи и Чулым (Кузнецкий Алатау)

Том 16. АНГАРО-ЕНИСЕЙСКИЙ РАЙОН

Выпуск 1. Енисей

- Часть 1. Северная Земля
Часть 2. Бассейн р. Таймыры (горы Бырранга)
Часть 3. Бассейны рек Казыра, Кана (издано в 1973 г.)
Часть 4. Бассейн р. Кемчика (издано в 1973 г.)
Часть 5. Бассейн верховьев р. Енисея выше устья р. Кемчика (издано в 1973 г.)
Часть 6. Горы Пutorана
Часть 7. Остров Ушакова

Выпуск 2. Ангара

- Часть 1. Бассейны верховьев рек Оки, Уды (издано в 1973 г.)

Том 17. ЛЕНО-ИНДИГИРСКИЙ РАЙОН

Выпуск 2. Средняя Лена

- Часть 1. Бассейны рек Чары и Витима (хребет Кодар) (издано в 1972 г.)

Выпуск 3. Алдан

- Часть 1. Бассейн р. Юдомы (горы Сунтар-Хаята) (издано в 1977 г.)

СПИСОК ПРИНЯТЫХ СОКРАЩЕНИЙ

Учреждения и организации

- АН СССР — Академия наук СССР
ВГО — Всесоюзное географическое общество
Географгиз — Государственное издательство географической литературы
Гидрометеоиздат — Государственное научно-техническое гидрометеорологическое издательство
ИМ АН УзССР — Институт математики Академии наук Узбекской ССР
РГО — Русское географическое общество
САНИГМИ — Среднеазиатский научно-исследовательский гидрометеорологический институт
САРНИГМИ — Среднеазиатский региональный научно-исследовательский гидрометеорологический институт
Ташобллит — Ташкентская областная литография
УГМС ТаджССР — Управление гидрометеорологической службы Таджикской ССР
УзУГМС — Узбекское управление гидрометеорологической службы

Морфологические типы ледников

- асимм. дол. — асимметричный долинный
асимм. кар. — асимметричный каровый
вис. — висячий
вис. дол. — висячий долинный

- вис. кар. — висячий каровый
дендр. — дендритовый
дол. — долинный
кар.-вис. — карово-висячий
кар.-дол. — карово-долинный
кар. — каровый
котл. — котловинный
кул. — кулуаров
перем. — переметный
прискл. — присклоновый
прискл. кар. — присклоновый каровый
склон. — склоновый
сл. дол. — сложный долинный

Пункты наблюдений

гп — гидрологический пост, ос — суммарный осадкомер

Определение высоты фирновой линии

Кур. — способ Курковского

Прочие

хр. — хребет, оз. — озеро, р. — река, пр. р. — приток реки, пер. — перевал.

КРАТКАЯ ХАРАКТЕРИСТИКА ГЕОГРАФИЧЕСКОГО ПОЛОЖЕНИЯ, МОРФОЛОГИИ, КЛИМАТИЧЕСКИХ УСЛОВИЙ И РЕЖИМА ЛЕДНИКОВ

Район, оледенение которого рассматривается в настоящем Каталоге, охватывает бассейн правой составляющей р. Бартанга р. Кудара (с реками Танымас и Кокуйбель) и долину непосредственно р. Бартанга ниже слияния рек Кудара и Мургаба до впадения р. Бартанга в р. Пяндж. Северная граница района проходит по осевой линии Язгулемского хребта, гор Южной группы Федченко, хребтов Высокая Стена, Северный Танымас и отрогов хр. Зулумарт, отделяя бассейн р. Бартанга от водосборов рек Язгулема и Муксу. На востоке по отрогам хребтов Зулумарт и Северный Зорташкол район граничит с бассейном бессточного оз. Каракуль. На юге граница проходит по хребтам Рушанскому и Музкол, южные склоны которых принадлежат бассейнам рек Гунта и Мургаба. Площадь территории в этих границах составляет около 8000 км², а протяженность ее с юго-запада на северо-восток 180 км.

Рельеф. В бассейне р. Бартанга выделяются два яруса рельефа, сложное переплетение которых обуславливает существование двух различных геоморфологических областей: восточнопамирского и западнопамирского рельефа. Между ними располагается переходная зона со сложно переплетающимися чертами рельефа, присущими им обеим. Грубо граница между указанными областями проходит по линии, соединяющей верховья ледника Федченко с западной оконечностью Сарезского озера. Приблизительно от этой линии начинается область интенсивного врезания долин и переход от аккумулятивно-ледникового рельефа Восточного Памира к резко эрозионным формам Западного Памира.

Каждая из выделенных областей имеет два яруса рельефа [табл. V/№ 1]. В области восточнопамирского рельефа наблюдаются:

- древний среднегорный рельеф (первый ярус);
- высокогорный альпийский рельеф склонов возвышенностей (второй ярус).

Область западнопамирского рельефа включает:

- реликты древнего среднегорного рельефа, имеющие ограниченное распространение (первый ярус);
- рельеф районов современного оледенения (альпийский высокогорный рельеф) (второй ярус);

в) рельеф районов древнего оледенения (второй ярус);

- г) высокогорный водно-эрэзионный рельеф (второй ярус).

Второй ярус в обеих областях является более молодым, чем среднегорный рельеф первого яруса. Моделировка рельефа этого яруса происходит под действием ряда факторов: литологии слагающих

формаций, особенностей тектонических структур и климата, а также их производных — оледенения, эрозионной деятельности рек, инсоляции и морозного выветривания.

Рушанский и Язгулемский хребты входят в область развития западнопамирского рельефа и лишь на востоке соприкасаются с переходной зоной к области с восточнопамирским среднегорным рельефом.

Язгулемский хребет представляет южное звено групп хребтов, примыкающих к хр. Академии Наук. По характеру рельефа он может быть разделен на две части — восточную и западную. Восточная часть окаймляет истоки ледников Федченко и Грумм-Гржимайло. Здесь хребет достигает своих наибольших отметок — 6974 м (пик Революции), а средняя высота его на этом участке превышает 6000 м. Западная часть хребта, являющаяся продолжением водораздела бассейнов рек Бартанга и Язгулема, несколько ниже восточной, однако во многих местах гребень хребта превышает высоты 5000—5500 м и достигает максимальной высоты 6132 м (пик Вудор). Южный склон Язгулемского хребта сильно расчленен глубоко врезанными долинами притоков р. Бартанга, верховья которых заняты ледниками.

Левобережье р. Бартанга расчленено многочисленными узкими V-образными, местами каньонообразными долинами рек, стекающих с северного склона Рушанского хребта. Сам Бартанг течет в узком ущелье (слово «Бартанг» в переводе значит узкое ущелье). Относительные превышения боковых гребней отрогов Рушанского хребта над днищами долин достигают 1500—2000 м, а местами даже 3000 м. Наибольшие высоты на Рушанском хребте отмечаются в западной части, где пик Патхор имеет отметку 6080 м, к востоку относительные и абсолютные высоты хребта уменьшаются, а склоны приобретают округлые, пологие формы. Верховья долин заняты ледниками долинного или карово-долинного типа, склоны боковых хребтов несут в основном оледенение карового типа.

Восточная часть левобережья р. Бартанга сужается, и в связи с этим длина рек, по сравнению с реками западной части, уменьшается, уменьшаются также число и площадь ледников.

Восточная область рассматриваемого района с восточнопамирским типом рельефа характеризуется широкими выположенными долинами рек Танымас и Кокуйбель, днища которых на высоте 4000 м соединяют окаймляющие их высокие горные поднятия — хребты Язгулемский, Северный Танымас, отроги хр. Зулумарт, хр. Музкол и его север-

ные отроги — хребты Северный Зорташкол и Зорташкол.

Восточная часть Язгулемского хребта вместе с горным массивом ледникового узла Федченко и хр. Высокая Стена 6000-метровым барьером отделяет бассейн ледника Федченко от фирновых областей танымасских ледников, среди которых ледник Грумм-Гржимайло является крупнейшим. Формируясь на большой высоте, эти ледники мощными потоками стекают в долину р. Танымас. Ледниковые долины ограничены высокими хребтами и обособленными горными группами, вершины которых поднимаются выше 5000 м. В самой высокой южной и западной частях хребты имеют узкие зубчатые гребни, типичные для альпийского рельефа. Средние превышения горных хребтов над поверхностью ледников составляют 2000 м в фирновых областях и 1000—1500 м в средних частях ледников. К востоку от ледника Грумм-Гржимайло в междуречье Танымаса и Хавраздары горные отроги имеют массивную форму, обнаруживающую их связь со среднегорным восточно-памирским рельефом.

Хребет Северный Танымас вытянут в широтном направлении от среднего течения ледника Федченко до пер. Тахтакорум почти на 60 км. Его короткий южный склон расчленен сравнительно слабо. Высшая точка хребта — пик Крутой Рог (6025 м). В западной части южного склона параллельно основному водоразделу хр. Северный Танымас расположен хр. Арал с пиком Снежная вершина (5560 м), отделенный от осевой части сквозной долиной, занятой двумя крупными переметными ледниками — Наливкина, текущего на запад и впадающего в ледник Федченко, и Северный Танымас, дающего сток в р. Танымас. Высоты главного гребня хр. Северный Танымас уменьшаются к востоку, в этом же направлении уменьшаются и размеры ледников.

Отроги хр. Зулумарт, отделяющие бассейны рек Танымас и Кокуйбель от бассейнов р. Муксу на севере и оз. Каракуль на востоке, несмотря на большие высоты, имеют незначительное оледенение. Развиваясь по аккумулятивно-ледниковому типу, хребты приобрели пологие очертания, причем относительные их превышения над днищами долин не достигают 500—1000 м. Такой же характер имеет рельеф безымянного горного массива в междуречье Танымаса и Кокуйбеля, где основное оледенение приурочено к южной оконечности массива.

Хребет Музкол, ограничивающий восточную часть рассматриваемого района с юга, представляет мощное поднятие, высоты которого увеличиваются по направлению с запада на восток, от устья р. Кудара к верховьям р. Кокуйбель, от 5800 до 6200 м. Наибольших высот (пик Советских офицеров, 6230 м) этот хребет достигает в верховьях рек Бозбайтал и Зорташкол, долины которых ограничены его отрогами — хребтами Северный Зорташкол и Зорташкол. Центральная часть хр. Музкол вместе с отрогами целиком находится в области восточно-памирского ландшафта, выделяясь на фоне широких и пологих речных долин и бессточных котловин в виде гряды скалистых острогребневых вершин. Западная часть хр. Музкол носит облик западно-

памирского рельефа и осложнена узкими, глубоко-врезанными труднопроходимыми речными долинами. Основное оледенение хр. Музкол приурочено к его восточной части и северным отрогам.

Климатические условия. На ледниках бассейна р. Бартанга метеорологические наблюдения не проводились, и данных о климатических условиях, по существу, нет. Ближайшими к описываемому району являются станции Ледник Федченко (высота 4170 м), Каракуль (3920 м), Ирхт (3300 м) и Рушан (1980 м). Первая станция никак не может характеризовать условий нивально-глациальной зоны бассейна р. Бартанга, ибо находится в совершенно иных условиях увлажнения, последняя расположена слишком низко и вне пределов рассматриваемого района, а две другие отражают микроклимат берегов озер Каракуль и Сарезского. Однако их данные могут быть привлечены для фоновой характеристики климатических условий района.

Климат нивально-глациальной зоны рассматриваемого района резко континентальный, холодный и засушливый. Эти характерные особенности обусловлены большими абсолютными высотами и расположением горных хребтов по отношению к господствующим влагоносным потокам. Язгулемский хребет и горные массивы ледникового узла Федченко выступают в виде мощного барьера, преграждающего путь западным и юго-западным ветрам, которые проникают по глубоким долинам Дарвазского хребта, ориентированным в широтном направлении. Поднимаясь на большую высоту, воздушные массы сильно охлаждаются, происходит конденсация паров воды и выпадение осадков на наветренных склонах. Поэтому в рассматриваемый район проникают воздушные массы, почти лишенные водяных паров. В связи с этим годовые суммы осадков здесь значительно меньше, чем в пустынях Средней Азии, лежащих на западе. В нижнем течении р. Бартанга годовые суммы осадков не превышают 300 мм (по данным станции Рушан), в верховьях р. Кокуйбель, граничащих с бассейном бессточного оз. Каракуль, на высоте 4000 м они составляют 50—160 мм.

По характеру зависимости осадков от высоты места рассматриваемый бассейн разделен на три района. Первый (XXII по работе табл. V/№ 14) охватывает низовья р. Бартанга. Годовые суммы осадков здесь увеличиваются от 140 до 300 мм в диапазоне высот 2000—3500 м (табл. 2). Внутри-

Таблица 2

Распределение средних многолетних сумм осадков (мм) по высоте в бассейне р. Бартанга (по работе [табл. V/№ 14])

Район	Абсолютная высота, м										
	2000	2200	2400	2600	2800	3000	3200	3400	3600	3800	4000
XXII	140	152	155	178	192	218	240	271	305	360	423
XXIII					90	108	125	152	178	218	257
XXIV								40	70	95	126

годовое распределение осадков характеризуется зимне-весенним максимумом. Верхняя граница второго района (ХХIII по работе табл. V/№ 14), занимающего среднюю часть бассейна р. Бартанга, совпадает с линией его раздела на области восточно-памирского аккумулятивно-ледникового и западно-памирского водно-эрозионного рельефа, проходящей от верховьев ледника Федченко к Сарезскому озеру. Годовые суммы осадков здесь на высотах 4000 м не превышают 300 мм, внутригодовое распределение осадков также имеет зимне-весенний максимум. Третий район (ХХIV по работе табл. V/№ 14), охватывающий восточную половину рассматриваемого бассейна, имеет весенне-летний максимум осадков.

В течение большей части года в нивально-гляциальной зоне отмечаются отрицательные температуры воздуха, причем уже в начале сентября, по данным П. А. Шумского [табл. V/№ 17], на высоте 4500 м морозы могут достигать 25° С. Летний период длится с конца июня до середины сентября. В это время температура воздуха положительная, но на высотах выше 4000 м по ночам она опускается ниже 0° С.

Вследствие низких температур осадки на высоте выше 4000 м выпадают исключительно в твердом виде. Снегопады, после которых снег уже не ставит всю зиму, начинаются во второй половине сентября.

Ветры в районе, особенно в его восточной части, отличаются большой скоростью и постоянством. В долине Танымас преобладают ветры юго-западной четверти, т. е. с верховьев ледников вниз. Первая половина суток обычно бывает совершенно безветренной, а с полудня начинается сильный ветер, затухающий лишь к полуночи [табл. V/№ 17].

Исследованиями А. И. Хона [табл. V/№ 16] установлено, что зависимость числа дней в году со снежным покровом от высоты местности для Западного Памира описывается уравнением

$$n = 0,0948 H - 113,$$

где n — число дней со снежным покровом, H — высота места. Высота климатической снеговой границы, равная высоте «линии 365», определяется по формуле

$$H = 10,54 n + 1190.$$

Градиент изменения числа дней со снежным покровом Δn составляет 9,5 дней на каждые 100 м поднятия. На Западном Памире климатическая снеговая граница находится на высоте 5040 м, что на 350 м выше этой же границы в Центральном Таджикистане, лучше увлажненном, чем Западный Памир.

Таким образом, значительная часть поверхности района поднимается выше снеговой линии, что является причиной существования обширного современного оледенения, несмотря на плохую увлажненность района, которая «компенсируется» низкими температурами высокогорья.

Оледенение рассматриваемого района располагается, как это будет показано ниже, в чрезвычайно

широком высотном диапазоне, нижний предел которого на 1540 м меньше высоты климатической снеговой линии, за счет оттока льда из обширных фирновых областей в узкие долины или дополнительного лавинного питания ледников со склонов.

Оледенение. Всего в рассматриваемом районе выделено 969 ледников суммарной площадью 1082,9 км², из них 81 ледник каждый размерами менее 0,1 км² занимает площадь 4,8 км². Оледенение по бассейну распределяется крайне неравномерно. Основные число и площадь ледников приурочены к самым высоким частям южных склонов хребтов Язгулемского и Северный Танымас и северных склонов хребтов Рушанского и Музкол. Отроги хр. Зулумарт несут ограниченное оледенение, а ледниковые образования на них представлены малыми формами.

Морфологические типы ледников района разнообразны. Всего выделено 17 типов (табл. 3). Самыми многочисленными являются висячие ледники (25,7% числа всех ледников), однако площадь, занятая ими, равна всего 4,2% площади оледенения. Следующим распространенным типом являются каровые ледники, которые вместе с висячими составляют 48,5% числа всех ледников. Ледники, приуроченные к карам (асимметричные каровые, каровые, карово-висячие, висячие каровые и присклоновые каровые), вместе составляют 36,2% числа всех ледников и 15,5% их площади. Долинные ледники (дендритовые, асимметричные долин-

Таблица 3
Распределение ледников по морфологическим типам

Тип ледника	Число ледников		Площадь ледников	
	всего	% общего количества	км ²	% общей площади
Дендритовый	2	0,2	131,4	12,2
Сложный долинный . .	44	5,0	318,3	29,5
Долинный	74	8,3	155,1	14,4
Асимметричный долинный	2	0,2	0,6	0,1
Висячий долинный . . .	29	3,3	29,7	2,7
Котловинный	1	0,1	0,3	0,1
Карово-долинный . . .	116	13,0	201,0	18,6
Каровый	202	22,8	90,2	8,4
Асимметричный каровый	21	2,4	15,9	1,5
Висячий каровый . . .	37	4,2	31,8	2,9
Карово-висячий	52	5,9	23,3	2,2
Присклоновый каровый	8	0,9	5,8	0,5
Висячий	228	25,7	46,6	4,2
Кулуаров	39	4,4	9,2	0,9
Присклоновый	19	2,1	6,6	0,6
Склоновый	11	1,2	4,1	0,4
Переметный	3	0,3	8,2	0,8
Всего	888	100	1078,1	100

ные, сложные и простые долинные, висячие долинные, карово-долинные) обычно занимают верховья долин, а наиболее крупные заполняют их почти полностью. По числу долинные ледники составляют 30% всех ледников, в то время как их площадь равна 77,5% площади оледенения района. К долинным ледникам тяготеют ледники остальных типов. Часть из них, такие как висячие, каровые, склоновые¹, образовались в результате распада крупных долинных ледников.

Размеры ледников. В рассматриваемом районе наиболее часто встречаются ледники малых размеров. Если принять за наибольший размер этих ледников $2,0 \text{ км}^2$ (по Л. С. Троицкому)², то по ко-

личеству они составляют 87,7% числа и 35,7% пло- щади всех ледников. Поэтому, несмотря на то что в бассейне имеются и крупные глетчеры, площадь среднего ледника района равна всего $1,12 \text{ км}^2$.

Распределение ледников по градациям площади с интервалом $0,1 \text{ км}^2$, приведенное на рис. 4, показывает, что в рассматриваемом районе наиболее часто встречаются ледники самых малых градаций ($0,1$ — $0,5 \text{ км}^2$) — их 535 (табл. 4). С дальнейшим увеличением площади число ледников уменьшается и ледники с площадями более $2,0 \text{ км}^2$ становятся единичными.

Самыми крупными являются ледники Грумм-Гржимайло и Северный Танымас, относящиеся к дендритовому типу ледников. Ледник Грумм-Гржимайло имеет обширную многокамерную фирновую область, расположенную на стыке Язгулемского хребта с горами Южной группы Федченко в районе пика Революции. В настоящее время основной ствол ледника с правой стороны принимает три притока. Между 1944 и 1966 гг. отчленились два самых нижних притока. В 1966 г. с левого борта ледник Грумм-Гржимайло принимал восемь притоков, в то время как в 1944 г. — девять [табл. V/№ 17]. В период между этими годами отчленился самый нижний приток.

Среди крупнейших левых притоков ледника Грумм-Гржимайло следует отметить ледники Верхний Музкулак, Малый Музкулак и Нижний Музкулак (№ 246, 249, 250, см. рис. 17). Общая площадь ледника Грумм-Гржимайло с правобережными и левобережными притоками равна $142,9 \text{ км}^2$. Наибольшая длина ледника $37,0 \text{ км}$. Экспозиция основного ствола ледника Грумм-Гржимайло меняется по длине ледника от восточной к северной и снова к восточной. К устью долины ледник сжимается подступающими скальными бортами и в виде ленты шириной $1,5 \text{ км}$ выползает в долину р. Танымас (рис. 5). Ледник имеет срединные и боковые морены площадью $6,2 \text{ км}^2$. Поверхность языка труднопроходима из-за широкого развития трещин, серраков, остроконечных пиков, пирамид, образующихся в результате движения льда и его неравномерного таяния.

Вторым крупнейшим ледником района является ледник Северный Танымас (см. рис. 19). Вместе с притоком его площадь составляет $55,0 \text{ км}^2$.

Как указывалось выше, ледник Северный Танымас является переметным с ледником Наливкина, крупнейшим правым притоком ледника Федченко. Ледник Северный Танымас возник путем перехвата области питания ледника Наливкина в результате отступания стен карового ледника, лежавшего на южном склоне хр. Арап. Питание основного ствола ледника Северный Танымас осуществляется из множества притоков, стекающих с южного склона одноименного хребта и с северного склона хр. Арап. У восточного конца последнего ледник резко поворачивает к югу и сползает по дну глубокого ущелья в долину р. Танымас в виде узкого ледяного языка с крутым падением. Поверхность верхней части основного ствола довольно полога, но язык труднопроходим из-за крутизны, широкого развития трещин и серраков (рис. 6).

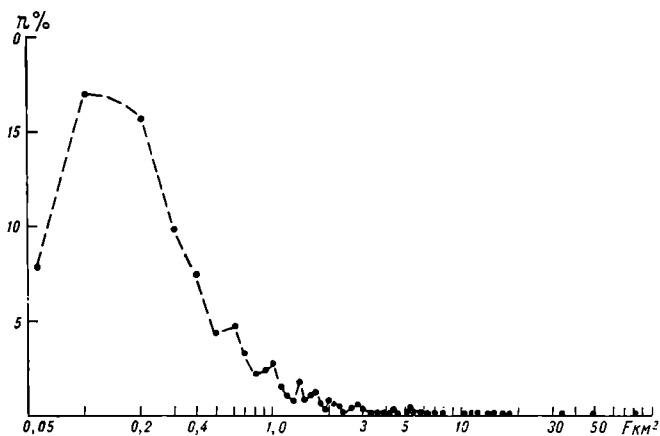


Рис. 4. Распределение числа ледников ($n\%$) по величине их площади ($F \text{ км}^2$).

Таблица 4

Распределение ледников по величине их площади

Площадь, км^2	Число ледников		Площадь ледников	
	всего	% общего количества	км^2	% общей площади
0,1—0,5	535	60,3	128,2	11,9
0,6—1,0	147	16,6	112,9	10,5
1,1—2,0	96	10,8	143,1	13,3
2,1—3,0	40	4,5	100,2	9,3
3,1—5,0	32	3,6	123,5	11,4
5,1—10,0	25	2,8	166,6	15,5
10,1—20,0	10	1,1	138,4	12,8
20,1—50,0	2	0,2	83,3	7,7
>50,0	1	0,1	81,9	7,6
Всего	888	100	1078,1	100

¹ Склоновые ледники обычно занимают выполненные горные склоны и спускаются от самых гребней иногда до их подножия. Тип выделен Г. М. Варнаковой и О. В. Рототаевой (см. Каталог ледников СССР, том 14, вып. 3, часть 6) в дополнение к морфологической классификации «Руководства по составлению Каталога ледников СССР».

² Троицкий Л. С. Вопросы оледенения малых форм. — «Материалы гляциол. исслед. Хроника, обсуждения», 1963, вып. 8, с. 161—173.

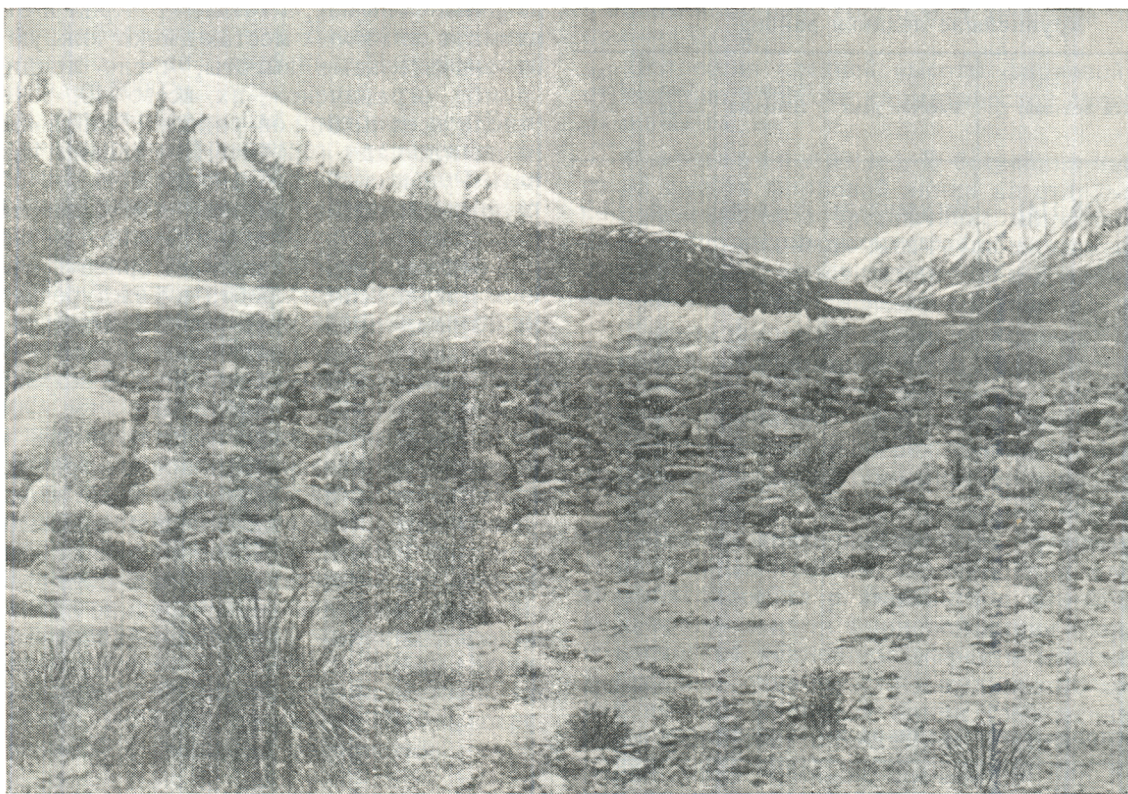


Рис. 5. Конец языка ледника Грумм-Гржимайло (№ 237). Фото В. Ф. Суслова.

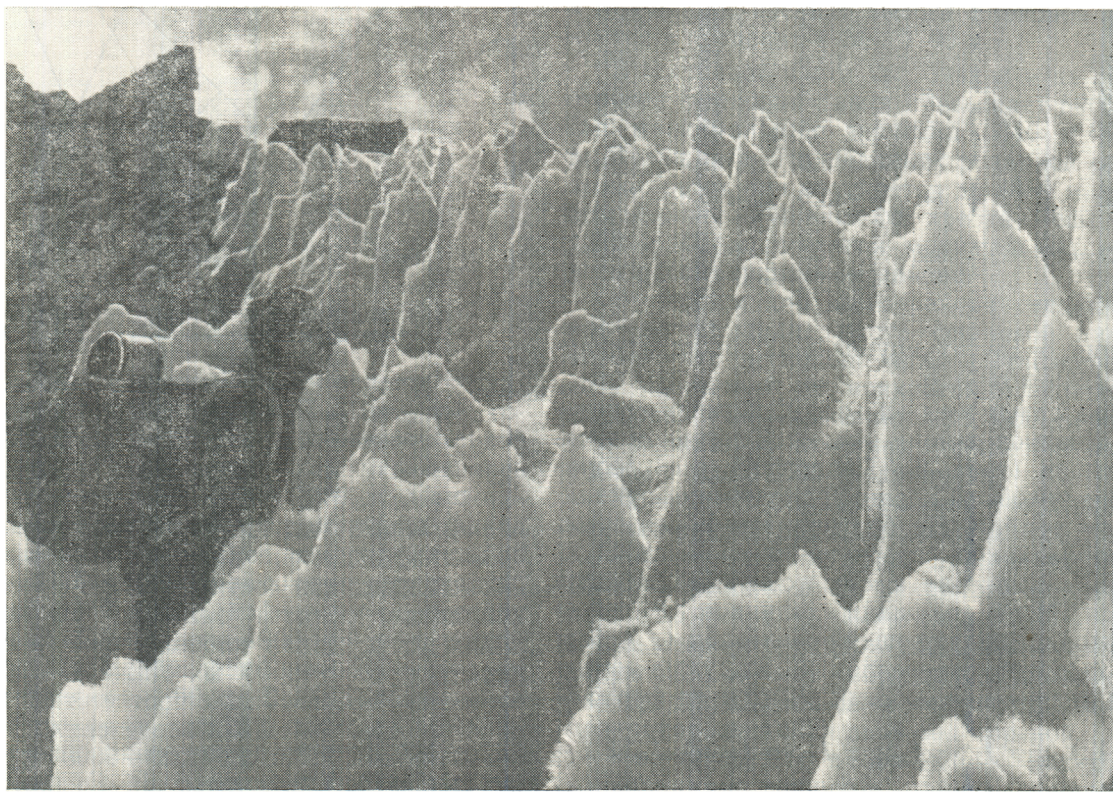


Рис. 6. Кальгаспоры на леднике Северный Танымас. Фото В. К. Ноздрюхина.

Таблица 5
Крупнейшие ледники района

Название (№ ледника)	Бассейн реки	Морфологический тип	Площадь, км ²	Наибольшая длина, км
Язгулемдара (№ 114)	Язгулемдара	сл. дол.	33,8	12,9
Хабарвихац (№ 128—131)	Хабарвихац	сл. дол.	23,6	11,5
Башурвдара (№ 136—139)	"	сл. дол.	22,8	13,3
Грумм-Гржимайло (№ 237—251)	Танымас	дендр.	142,9	37,0
Танымас-2 (№ 273—275)	"	сл. дол.	19,2	15,6
Танымас-3 (№ 282—283)	"	сл. дол.	14,8	13,2
Северный Танымас (№ 309—310)	"	дендр.	55,0	18,0
Советских офицеров (№ 502)	Бозбайтал	сл. дол.	13,6	7,8
№ 739	Девлех	сл. дол.	11,5	6,8

Таблица 6

Распределение ледников по экспозициям

Экспозиция	Количество ледников		Площадь ледников	
	всего	% общего количества	км ²	% общей площади
С	172	19,4	180,9	16,8
СВ	266	30,0	366,1	34,0
В	76	8,6	138,7	12,9
ЮВ	96	10,8	115,6	10,7
Ю	40	4,5	66,8	6,2
ЮЗ	52	5,8	33,3	3,1
З	45	5,0	31,3	2,9
СЗ	141	15,9	145,4	13,4
Всего	888	100	1078,1	100

Сведения о других крупнейших ледниках района приведены в табл. 5.

Экспозиции ледников. Основными экспозициями ледников района являются северная и северо-восточная (табл. 6). Почти 50% всех ледников и более половины площади оледенения принадлежат этим румбам. На благоприятные для существования ледников северную, северо-восточную, восточную, а также на юго-восточную экспозиции приходится 74,4% площади ледников. В связи с этим вектор преобладающей ориентации (f_p) бартангских ледников, определяемый как сумма-вектор площадей ледников по восьми румбам по формуле

$$f_{\text{пр}} = f_{\text{С}} + f_{\text{СВ}} + f_{\text{В}} + f_{\text{ЮВ}} + f_{\text{Ю}} + f_{\text{ЮЗ}} + f_{\text{З}} + f_{\text{СЗ}}$$

равен 41° , т. е. преобладающая ориентация близка к северо-восточной.

Несмотря на то что хребты Язгулемский и Северный Танымас, а также хр. Араг и отроги хр. Зулумарт во многих местах имеют южную экспозицию и значительные высоты, число ледников южного румба ограничено — их всего 40, т. е. менее 5% числа всех ледников района. Так же незначительна и их площадь (6,2%). На склонах таких хребтов, как Рушанский и Музкол, имеющих общую северную экспозицию, условий для существования ледников южных румбов нет, точно так же как их нет на боковых меридионально ориентированных отрогах Язгулемского хребта в междуречье Хавраздара и Танымаса. Ледники северо-западной и западной экспозиций обладают небольшими размерами, поскольку существуют в условиях хорошей освещенности во второй половине дня.

Размеры средних ледников по каждому из восьми румбов меняются почти в три раза. Несмотря на преобладание числа и площади ледников северо-восточного румба, наибольшей площадью обладает средний ледник восточной экспозиции (1,83 км²) (рис. 7), а затем южной экспозиции (1,67 км²). Наименьшие размеры имеют средние ледники западной и юго-западной ориентаций (соответственно 0,70 и 0,64 км²).

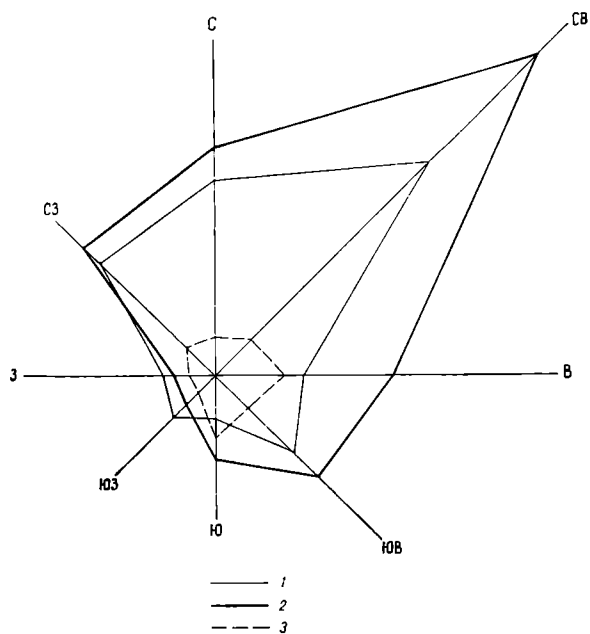


Рис. 7. Распределение числа (1), площади (2) и размеров среднего ледника (3) по экспозициям.

Распределение оледенения по высоте. Высотный диапазон современного оледенения бассейна р. Бартанга чрезвычайно велик. Концы ледников достигают 3400 м, в то время как фирновые области залегают на высотах почти 7000 м. Основная площадь льда расположена на высотах 4000—6000 м. Ниже и выше указанных отметок сосредоточено соответственно только 2,5 и 1,1% общей площади оледенения.

В интервале высот 4000—5000 м площадь льда составляет 54,7%, а максимальная площадь на 200-метровый интервал приурочена к высотам 4800—5000 м, где сосредоточено 19,5% площади

оледенения. Наибольший диапазон высотного расположения ледников отмечается в бассейнах рек Язгулемдара, Хабарвивхац и в бассейне ледника Грумм-Гржимайло, где гребень Язгулемского хребта превышает 6000 м.

В бассейнах правобережных притоков рек Бартанга и Кудара высотный диапазон оледенения достигает 3570 м. В верховьях р. Танымас выше языка ледника Грумм-Гржимайло он также превышает 3000 м. Однако у многочисленных притоков р. Танымас он сокращается до 400—1200 м (см. табл. 11). Здесь в переходной зоне от западнопамирского типа рельефа к восточнопамирскому ледники расположены на высотах 4200—5600 м.

В бассейне р. Кокуйбеля на отрогах хр. Зулумарт ледники располагаются на высотах 4400—5600 м, в то время как на северном склоне хр. Музкол и его отрогах, превышающих 6000 м, диапазон оледенения увеличивается почти вдвое — с 3800 до 6200 м. На северном склоне Рушанского хребта ледники залегают на высотах от 3400 до 6000 м.

Распределение площади оледенения по высоте для всего района в целом неравномерное (рис. 8). Максимум площади (75,3%) сконцентрирован в 1000-метровом интервале от 4400 до 5400 м. Выше климатической снеговой линии, расположенной, по А. И. Хону [табл. V/№ 16], на высоте 5040 м, сосредоточено только 39% площади оледенения.

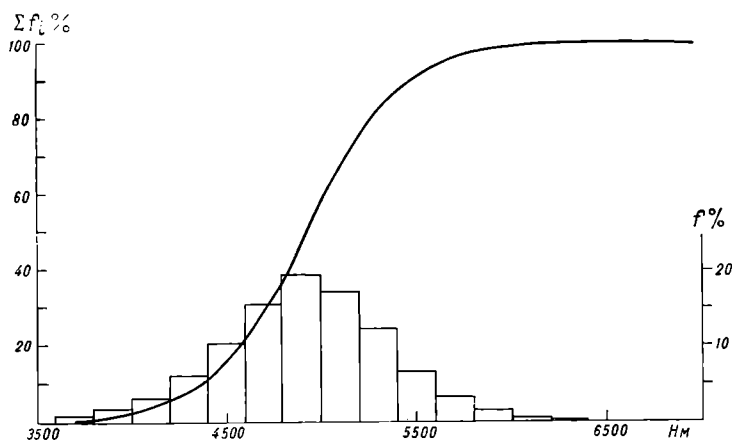


Рис. 8. Распределение площади оледенения по высоте (сплошная линия — интегральная кривая).

Средняя высота фирновой линии группы ледников, определенная по способу О. П. Щегловой, соответствует средней высоте зоны с максимальной площадью льда. Такой зоной, как указывалось выше, является диапазон 4800—5000 м. Следовательно, средняя высота фирновой линии равна 4900 м. Если рассматривать распределение площади оледенения по 100-метровым высотным интервалам, то высота фирновой линии, найденная по способу О. П. Щегловой, будет равна 4900 ± 50 м, т. е. точность способа О. П. Щегловой при 200-метровом интервале составляет ± 50 м. Весьма показательным является тот факт, что 50% площади оледенения района расположено выше 4930 м. Учитывая точность способа О. П. Щегловой, последнюю отметку с успехом можно принять за среднюю высоту фирновой линии ледников бассейна р. Бартанга.

В этом случае положительная разность оледенения в целом по району составляет 2040 м, а отрицательная — 1530 м.

Депрессия средней высоты фирмовой линии по отношению к высоте климатической снеговой линии равна 110 м.

Фирновая линия. В бассейнах частных притоков высота фирмовой линии на отдельных ледниках изменяется в чрезвычайно широких пределах. Ее средние значения для групп ледников в бассейнах притоков, подсчитанные как средние взвешенные по площади, приводятся в табл. 11.

Высота фирмовой линии на ледниках определена способом Курковского. По П. А. Шумскому табл. [V/№ 17], для ледников системы ледника Грумм-Гржимайло этот способ дает результаты, совпадающие с непосредственными измерениями, произведенными на большинстве этих ледников.

Высотное положение фирмовой линии в районе подвержено пространственным закономерностям, свойственным горным странам: при продвижении в глубь бассейна р. Бартанга с юго-запада на северо-восток высота фирмовой линии возрастает, что объясняется усилением эффекта массивности гор. В западной оконечности Язгулемского хребта средняя высота фирмовой линии (взвешенная по площади ледников) в бассейнах притоков р. Бартанга равна 4400—4600 м, в то время как в восточной части хребта она повышается до 4700—4800 м, достигая 5060 м у ледников бассейна р. Танымас выше языка ледника Грумм-Гржимайло. На южном склоне хр. Северный Танымас она выше 5000 м. На ледниках многочисленных притоков, стекающих с безымянного отрога в междуречье Танымаса и Кокуйбеля, средняя высота фирмовой линии изменяется в пределах 4950—5100 м.

В восточной части хр. Музкол и на склонах его отрогов фирмовая линия превышает 5000 м, достигая максимальных значений 5340 м в бассейне р. Музджилга. На ледниках западной оконечности этого хребта она опускается до 4850 м, а на северном склоне Рушанского хребта — еще ниже, до 4300—4400 м, достигая минимальных отметок во всем рассматриваемом районе.

В среднем для всего района средняя взвешенная по площади высота фирмовой линии равна 4860 м, что несколько ниже вычисленной по способу Щегловой. У конкретных ледников высота фирмовой линии изменяется от 3850 до 6550 м, причем ледники с отметками фирмовой линии ниже 4000 м и выше 6000 м единичны.

Положение фирмовой линии в отдельных бассейнах рек района приведено в табл. 7.

Мореный покров отмечен на 76 ледниках. Общая площадь льда, закрытого мореной, составляет 54,5 км², т. е. немногим более 5% общей площади оледенения. При выделении участков льда, закрытого мореной, обращалось внимание на характер сопряжения их с чистым льдом и наличие признаков движения льда под мореной.

Колебания ледников. Наблюдения за колебаниями ледников района немногочисленны и носят несистематический характер. Почти вся имеющаяся информация относится к пяти ледникам

Таблица 7

Бассейн реки	Средняя высота фирновой линии, м
Правобережные притоки р. Бартанга	4610
Правобережные притоки р. Кудара .	4570
Танымас	5000
Кокуйбель	5130
Левобережные притоки р. Кудара .	4900
Левобережные притоки р. Бартанга .	4760
В целом по району	4860

танымасской группы — Грумм-Гржимайло, Танымас-2, Танымас-3, Танымас-5 и Северный Танымас. Эти ледники составляют менее 1% числа всех ледников района. Учитывая выдающиеся размеры их площади, данные об их колебаниях, естественно, не могут экстраполироваться на другие ледники района.

Крупнейший ледник бассейна ледник Грумм-Гржимайло был снят фототеодолитной съемкой Р. Финстервальдером в 1928 г. и И. Г. Дорофеевым в 1933 г. За период между этими годами правый (восточный) край ледника наступил на 375 м, а левый — на 150—190 м. При этом поверхность ледника повысилась на 10—15 м [табл. V/№ 4]. Позже съемки ледника не производились, и только в 1959 г. они были возобновлены гляциологами ИМ АН УзССР в связи с проведением МГГ. Сопоставление аэрофотоснимков 1958 г. с планом ледника 1933 г. показало, что концевая часть ледника Грумм-Гржимайло не изменила существенно своего положения [табл. V/№ 10]. В 1959—1961 гг. произошло сокращение языка на 100 м. Испытав в 1962—1963 гг. подвижку на 150 м [табл. V/№ 9], язык ледника в 1964 г. практически оставался на том же месте [табл. V/№ 12], а в 1965 г. продвинул еще на 60 м [табл. V/№ 11].

По материалам аэрофотосъемки, ледник Танымас-2 с 1946 по 1958 г. продвинулся на 150 м. Однако съемки 1959—1965 гг. отмечали его постепенное сокращение. Одновременно регрессировал и ледник Танымас-5, но в 1965 г. съемка отметила его стационарность [табл. V/№ 11].

Ледник Танымас-3 в период с 1946 по 1958 г. отступил примерно на 200 м. В 1959/60 г. он у левого борта продвинулся вперед на 69 м, а в среднем по фронту языка — на 38 м [табл. V/№ 10]. С 1960 по 1963 г. ледник оставался практически стационарным [табл. V/№ 8], а в 1964 г. перешел к регрессивной фазе, сократив длину на 20 м [табл. V/№ 12], а в 1965 г. еще на 18 м [табл. V/№ 11].

Ледник Северный Танымас за 1928—1946 гг. сократился более чем на 900 м. Однако в последующие годы (1946—1958) наступил на 1500 м [табл. V/№ 15]. Позже ледник также сохранял активность: с 1959 по 1960 г. он продвинулся вперед еще на 290 м, причем наступление было отмечено как катастрофическое [табл. V/№ 10]. В 1960—1963 гг. скорость наступления несколько уменьшилась: за три года ледник продвинулся вперед на 150 м

[табл. V/№ 9], за 1963—1965 гг.—всего на 34 м [табл. V/№ 11]. Таким образом, за 1946—1965 гг. ледник Северный Танымас наступил приблизительно на 2 км.

Различные осцилляции концов танымасских ледников привели В. Ф. Суслова к выводу, что механизм развития оледенения, расположенного в одном географическом районе, характеризующемся общностью природных условий, чрезвычайно сложен и не находится в прямой зависимости от развития климата. Изменения в положении конца ледника Северный Танымас являются следствием усложняющего влияния местных орографических условий на изменения климата [табл. V/№ 15]. По Р. Д. Забирову, «ледник Северный Танымас возник путем перехвата области питания ледника Наливкина в результате отступания стенок карового ледника, лежавшего на южном склоне хр. Арак. Современный конец ледника Северный Танымас располагается на 600 м ниже, чем конец ледника Наливкина. Кроме того, ледник на 200 м нависает над долиной р. Танымас, вследствие чего углубление долины ледника будет происходить гораздо быстрее, чем углубление долины ледника Наливкина. Это приведет к дальнейшему расширению области питания ледника Северный Танымас за счет разгрузки фирна в сторону большего падения из совместной области питания переметных ледников» [табл. V/№ 5, с. 112]. Действительно, на аэрофотоснимках 1966 г. площадь фирмовой области значительно увеличилась по сравнению с ее положением на крупномасштабной карте, построенной по материалам аэрофотосъемки 1964 г.: пер. Арак, расположенный между ледниками Наливкина и Северный Танымас, сместился на запад на 3,2 км. Очевидно, смещение перевальной точки за счет усиленного оттока льда из ледораздельной части в сторону ледника Северный Танымас, если учесть, что за 1946—1965 гг. ледник наступил почти на 2 км.

Основываясь на данных В. Ф. Суслова, Ю. Н. Лесника и др. [табл. V/№ 10, 15] о быстрых и больших подвижках ледника Северный Танымас, Л. Д. Долгушин и Г. Б. Осипова отнесли его, также как и ледник Грумм-Гржимайло, к пульсирующим ледникам [табл. V/№ 2, 3], отличающимся от других ледников своеобразным характером движения и рядом морфологических особенностей.

Среди других ледников бассейна наблюдения за колебаниями языка имеются на леднике Язгулемдара, расположенным в верховьях одноименного правобережного притока р. Бартанга и стекающем с южного склона Язгулемского хребта. За 1946—1966 гг. он сократил свою длину на 2050 м, потеряв при этом 0,7 км² площади [табл. V/№ 13].

Ледниковые коэффициенты, рассчитанные для всех ледников района по высоте фирмовой линии, вычисленной способом Куровского, позволяют приближенно оценить активность ледников района. Ледниковые коэффициенты изменяются от 0,48 до 2,15, причем преобладающее число ледников имеет значение коэффициента, близкое к 1,0 (рис. 9). По наблюдениям на других среднеазиатских ледниках установлено, что стационарным в последнее десятилетие ледникам соответствуют ледниковые

коэффициенты от 0,9 до 1,1. Если принять эти цифры и для ледников бассейна р. Бартанга, то число регрессирующих, стационарных и активных ледников приближенно можно оценить в 27, 47 и 26% количества всех ледников [табл. V/№ 19].

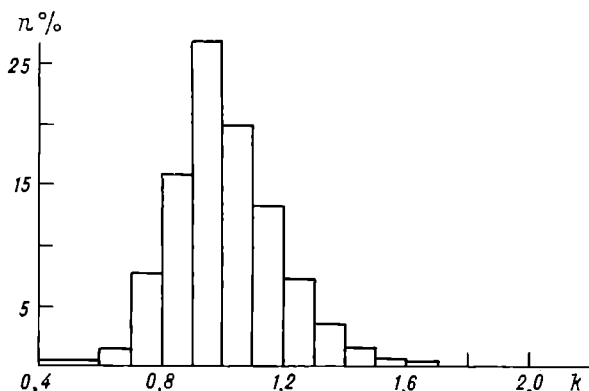


Рис. 9. Относительное распределение числа ледников ($n\%$) с различными значениями ледникового коэффициента k .

Гидрологическая роль ледников. Несмотря на очень большую высоту климатической снеговой линии, гребни хребтов почти повсюду выдаются за нее и несут на своих склонах, помимо ледников, большие площади снежников. Это обусловливает характер питания рек района, в котором преобладает сток за счет таяния высокогорных снегов и ледников. Поэтому реки здесь отличаются поздним сосредоточением стока: сток за июль — сентябрь значительно превышает сток за март — июнь, максимальных значений расходы воды достигают в июле — августе, а годовые минимумы наблюдаются в феврале — апреле. В связи с этим, по классификации В. Л. Шульца [табл. V/№ 18], реки района относятся к рекам ледниково-снегового питания.

Для приближенной оценки стока с ледников был применен метод вертикального расчленения гидрографа среднего по водности года со срезкой базисного стока, отнесенного к подземному питанию рек. При этом величины месячного стока рек были определены решением баланса между измеренным стоком в устьях рек Мургаба (пост Барчадив), Кудара (устье) и Бартанга (пост Шуджанд). Сток непосредственно рассматриваемого района равен разности стоков рек Бартанга и Мургаба, а сток притоков р. Бартанга ниже слияния рек Кудара и Мургаба вычислен как разность стока района и стока р. Кудара.

Разделение полученного таким образом стока притоков р. Бартанга, р. Кудара и в целом для всего района на снеговую и ледниковую составляющую выполнено вертикальным расчленением гидрографа после срезки базисного стока. Сток за август — январь отнесен к ледниковому питанию рек. В июле основная площадь оледенения еще закрыта сезонным снегом, который формирует снеговую сток. Ледниковый же сток формируется и истощается в более поздние месяцы. Доля снегового питания определена как дополнение к базисному и ледниковому стокам до 100%. Дождевое питание

ничтожно и вряд ли превышает 1% годового стока, так как незначительный слой летних осадков в основном испаряется.

Величина ледникового питания, как показали расчеты, для р. Бартанга в пределах выделенного района составляет 39% годового стока, для притоков Бартанга, стекающих с южного склона Язгулемского хребта и северного склона Рушанского хребта, — 43% (табл. 8). Вполне понятно, что полученные таким образом оценки средней многолетней доли ледникового питания в годовом стоке рек носят грубо приближенный характер.

Таблица 8
Соотношение источников питания в годовом стоке рек, %

Бассейн реки	Доля питания		
	подземного	снегового	ледникового
Левобережные и правобережные притоки р. Бартанга . . .	25	32	43
Кудара	29	31	40
Бартанг	27	34	39

Интересно отметить, что величина рассчитанного нами ледникового питания р. Кудара всего на 2% больше результата С. Коримова [табл. V/№ 17], использовавшего для расчетов:

- высотное положение средних концов ледников (по данным Р. Д. Забирова),
- изменение во времени высоты изотермы заметного таяния (4°C) на средних концах ледников (способ Н. Г. Дмитриевой),
- совмещенные графики хода расходов воды и высоты изотермы заметного таяния для установления дат перехода от снегового питания рек к ледниковому. Начиная с этой даты проводилась плавная типовая кривая спада снегового стока.

Как видно, усложнение методики расчета незначительно улучшает результат.

Расчеты стока с ледниками бассейна р. Бартанга выполнены и другими способами. По В. Г. Ходакову¹, средний слой осадков на высоте фирмовой линии — линии нулевого баланса осадков — равен слою стока с ледниками. Расчеты сводятся к вычислению этого слоя осадков на высоте фирмовой линии по суммам средних летних (за июнь — август) температур. Средние многолетние температуры воздуха в рассматриваемом районе за лето на высоте границы питания ледников определены по карте А. Н. Кренке². Объем стока с ледниками района получен умножением площади среднего ледника на число всех ледников и на слой осадков на высоте фирмовой линии. В результате такого подсчета оказалось, что объем стока с ледниками всего района составляет, как и при расчленении гидрографа, 39% годового стока, а для бассейна р. Кудара — 34%.

¹ Ходаков В. Г., Моисеева Г. П. Ледники как индикаторы водности. — «Метеорология и гидрология», 1972, № 6, с. 83—86.

² Кренке А. Н. Климатические условия существования современного оледенения Средней Азии. — «Изв. АН СССР. Сер. геогр.», 1973, № 1, с. 19—33.

Оценки ледовой составляющей в годовом стоке, т. е. того объема воды, который образуется от таяния многолетнего льда, выполнены двумя способами. В одном из них были использованы зависимости сумм положительных средних суточных температур воздуха, дат схода и установления сезонного снежного покрова от высоты местности для среднего года в бассейне р. Амудары, любезно предоставленные авторам В. Л. Шульцем.

По датам схода и установления сезонного снежного покрова были определены суммы положительных средних суточных температур, идущие на таяние многолетнего льда, в высотном диапазоне от минимальной отметки концов ледников до средней высоты фирновой линии по интервалам высот, равным 200 м. Затем умножением этой суммы на коэффициент таяния льда (7 мм/ $^{\circ}$ С) получен слой ставшего льда в каждом высотном интервале. Произведение слоя ставшего льда на площадь дает объем ледового стока в каждой из высотных зон. Суммированием получен полный объем ледового стока, который составил 13% годового стока р. Бартанга.

Основываясь на данных о средних месячных температурах метеостанции Ирхт (3440 м) и приняв градиент изменения температуры с высотой равным $0,7^{\circ}\text{C}/100$ м, были построены интегральные кривые накопления сумм положительных температур воздуха в различных высотных зонах гляциальной области бассейна р. Бартанга с интервалом в 200 м.

Так как суммы температур по средним месячным ее значениям определяются в весенние и осенние месяцы с некоторой ошибкой, в расчеты были введены поправки, установленные Г. Е. Глазыриным¹, а также учтен ледниковый скачок температуры по формуле В. Г. Ходакова. Даты начала и конца таяния льда определялись по графику В. Л. Шульца. В дальнейшем расчет объемов воды за счет таяния многолетнего льда производился так же, как и в предыдущем способе.

В результате расчетов получено, что доля ледового стока в годовом стоке р. Бартанга составляет 27%, р. Кудара — 23%, что в два раза выше величин, полученных по зависимостям В. Л. Шульца.

Так как в стоке с ледников объединены сезонная снеговая и ледовая составляющая, то доля стока за счет таяния сезонного снега на ледниках составляет 12% годового стока рек района и около 15% стока р. Кудара.

В ледниках бассейна р. Бартанга аккумулировано около 80 km^3 пресной, биологически чистой воды. Эта вода в условиях аридного климата и орошаемого земледелия Средней Азии является бесценным богатством, если учесть, что объем воды в ледниках равен приблизительно 30-ти годовым стокам с поверхности рассматриваемого района.

¹ Глазырин Г. Е. К вопросу о расчете снеготаяния по суммам средней суточной положительной температуры воздуха. — «Гляциоклиматология горных стран». 1973, № 25, с. 147—151.

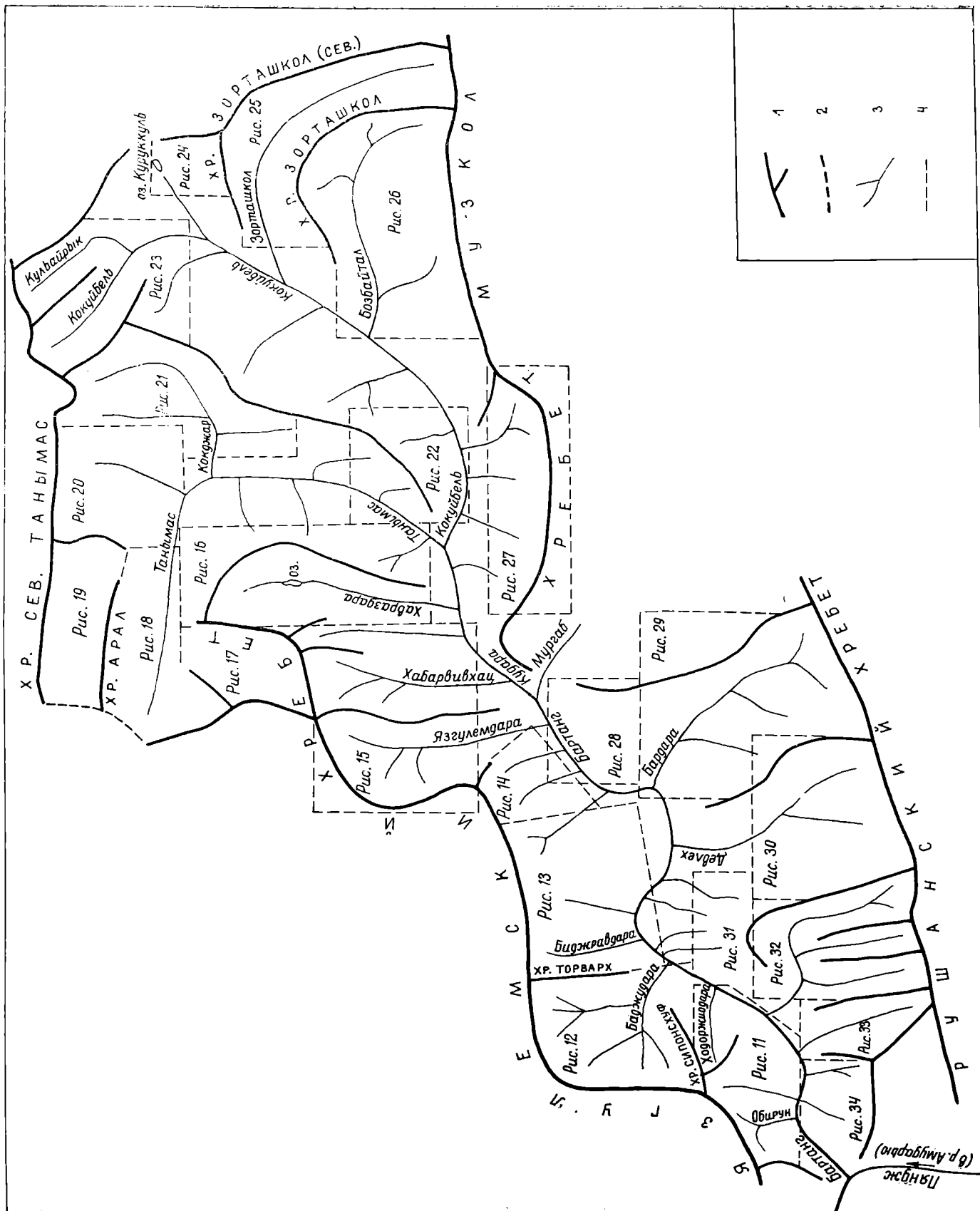


Рис. 16. Общая схема расположения бассейнов, в пределах которых размещаются ледники, показанные на рис. 11—34.

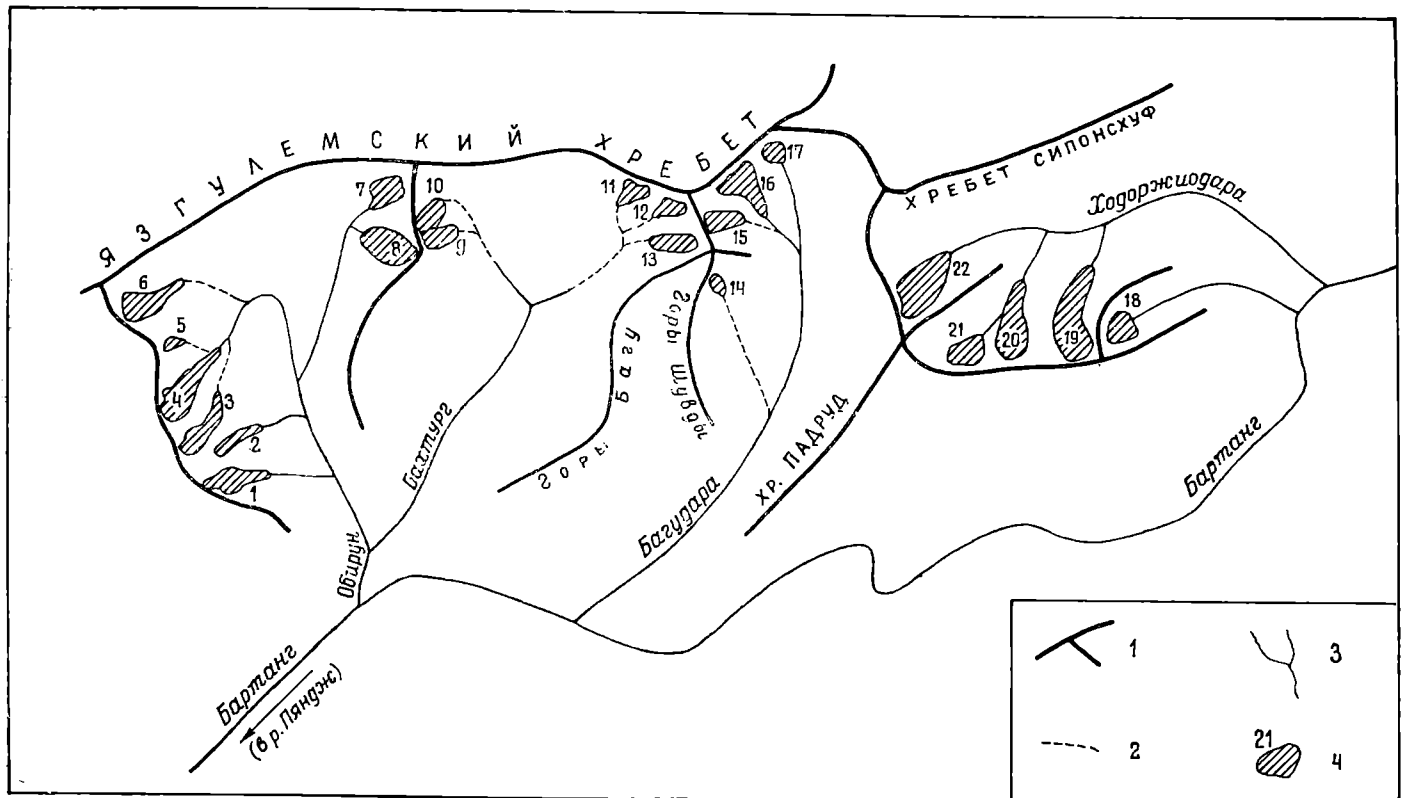


Рис. 11. Схема расположения ледников в бассейнах рек Обиуна, Багудара и Ходоржиодара.
1 – водораздел, 2 – ледораздел, 3 – река, 4 – ледник и его номер по табл. I.

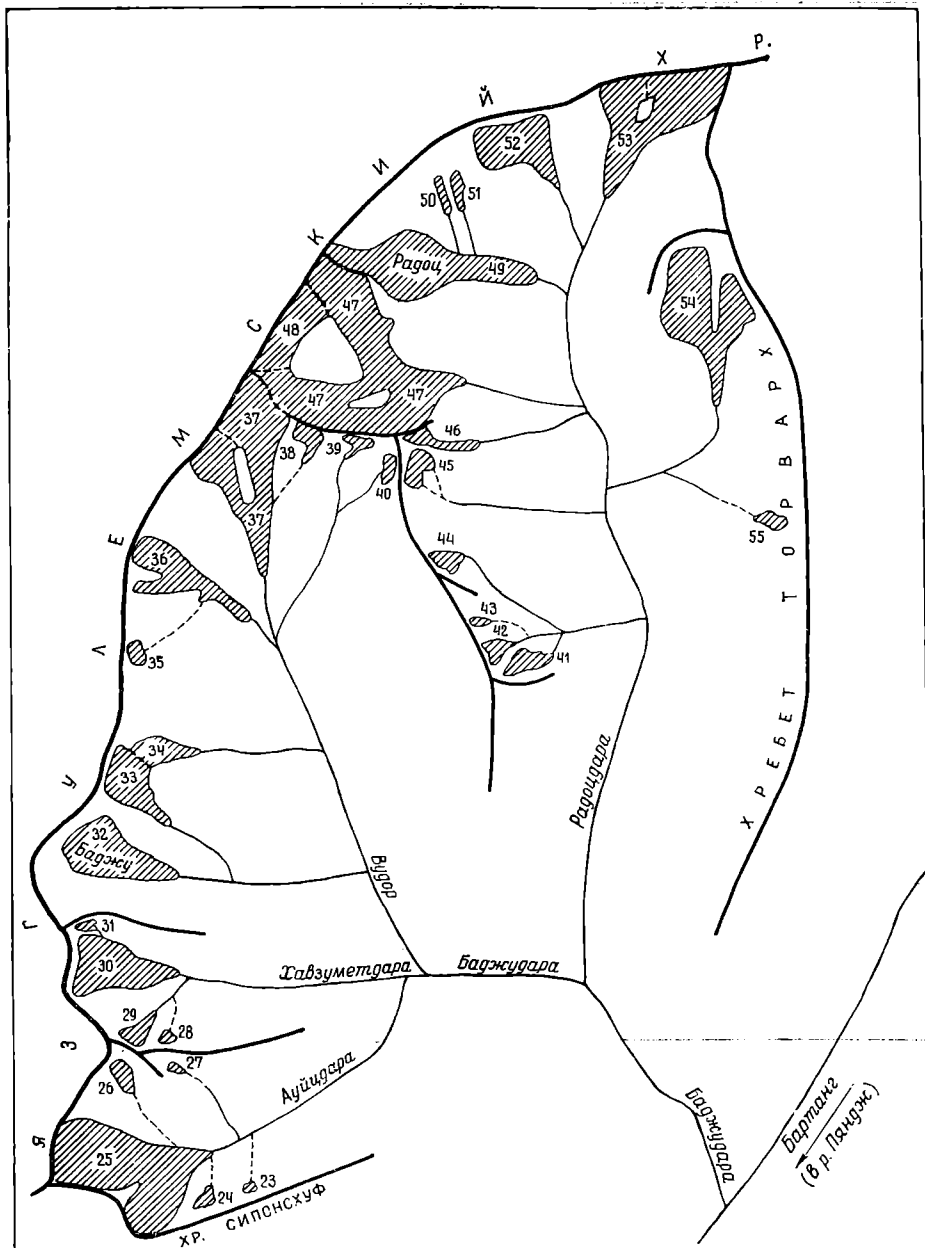


Рис. 12. Схема расположения ледников в бассейне р. Баджудара.
Усл. обозначения см. на рис. 11.

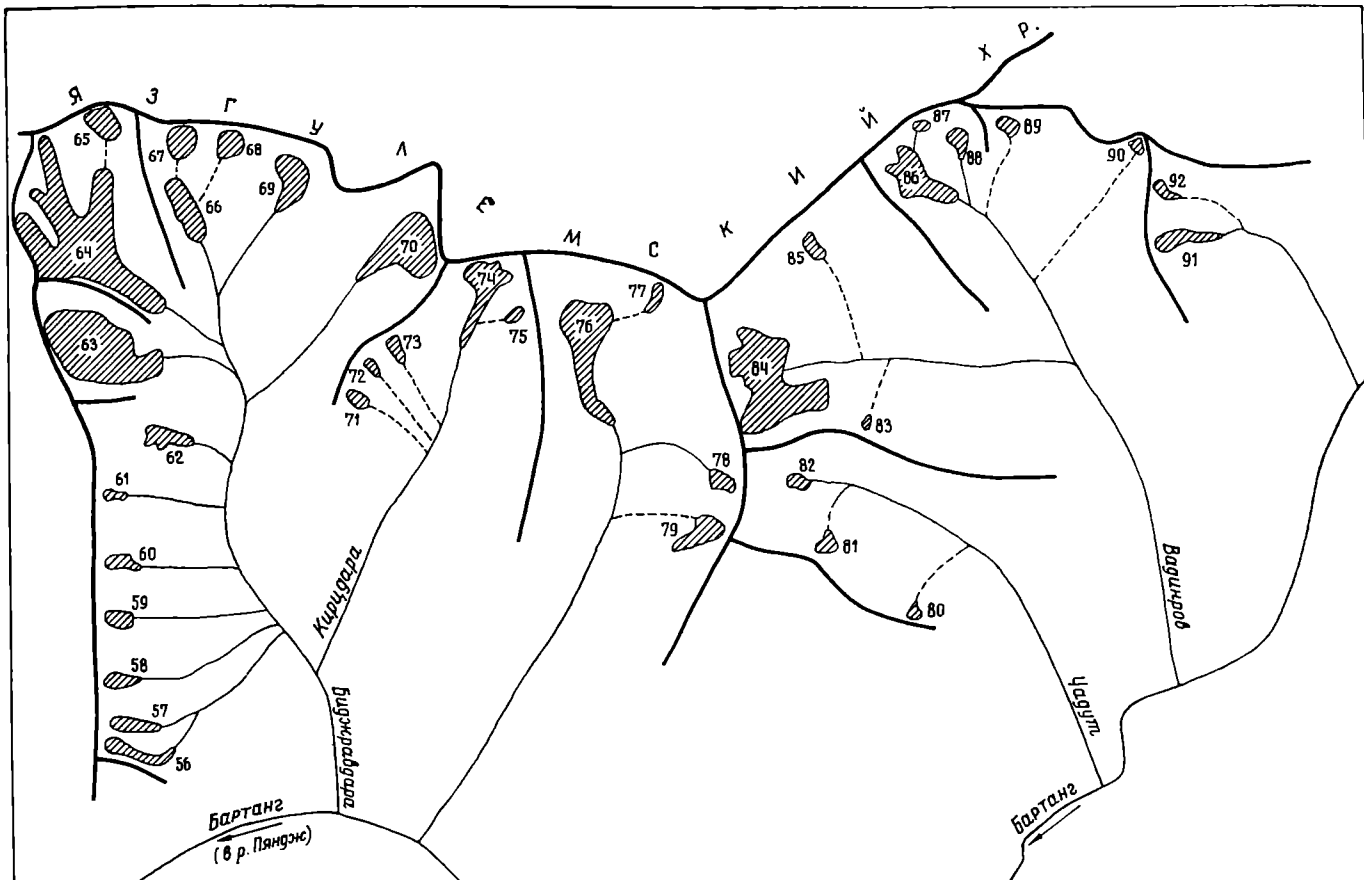


Рис. 13. Схема расположения ледников в бассейнах рек Биджравдара, Чадут, Вадинров и безымянных притоков р. Бартанга.
Усл. обозначения см. на рис. 11.

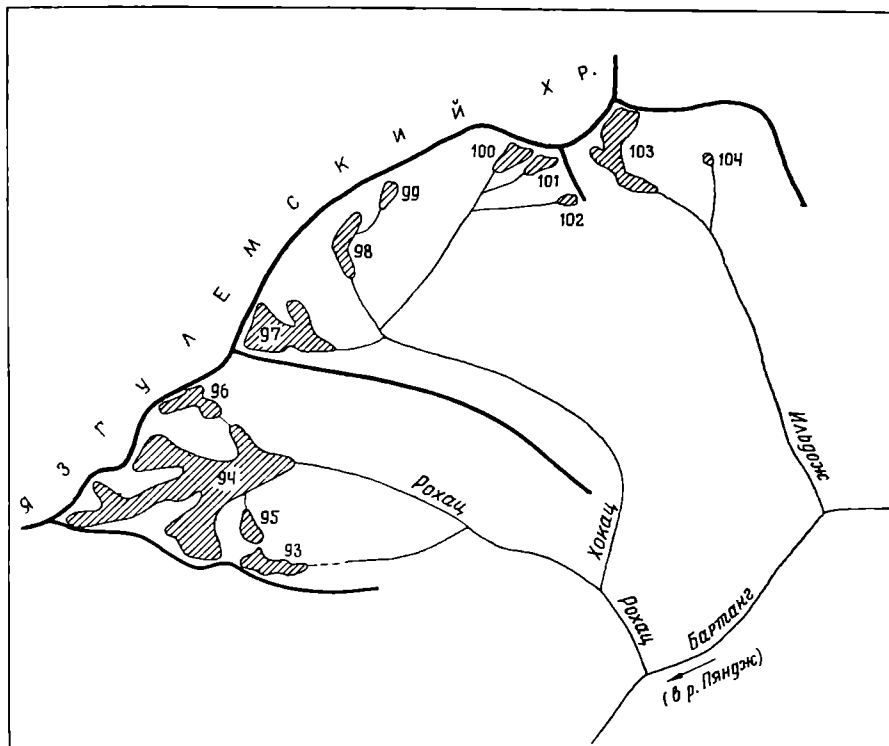


Рис. 14. Схема расположения ледников в бассейнах рек Рохац и Ильдож.
Усл. обозначения см. на рис. 11.

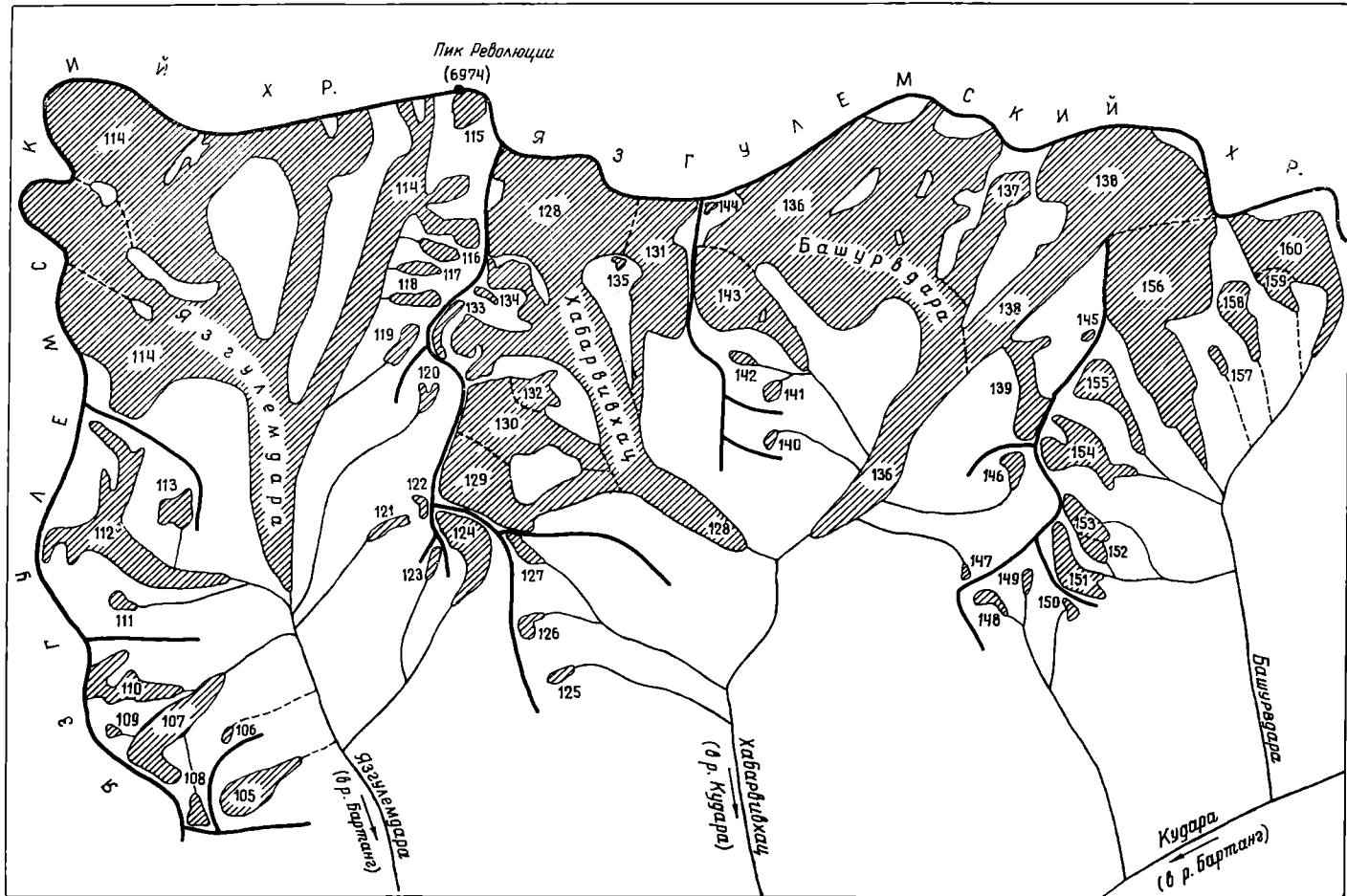


Рис. 15. Схема расположения ледников в верховьях рек Язгулемдара, Хабарвивхац и Башурвдара.
Усл. обозначения см. на рис. 11.

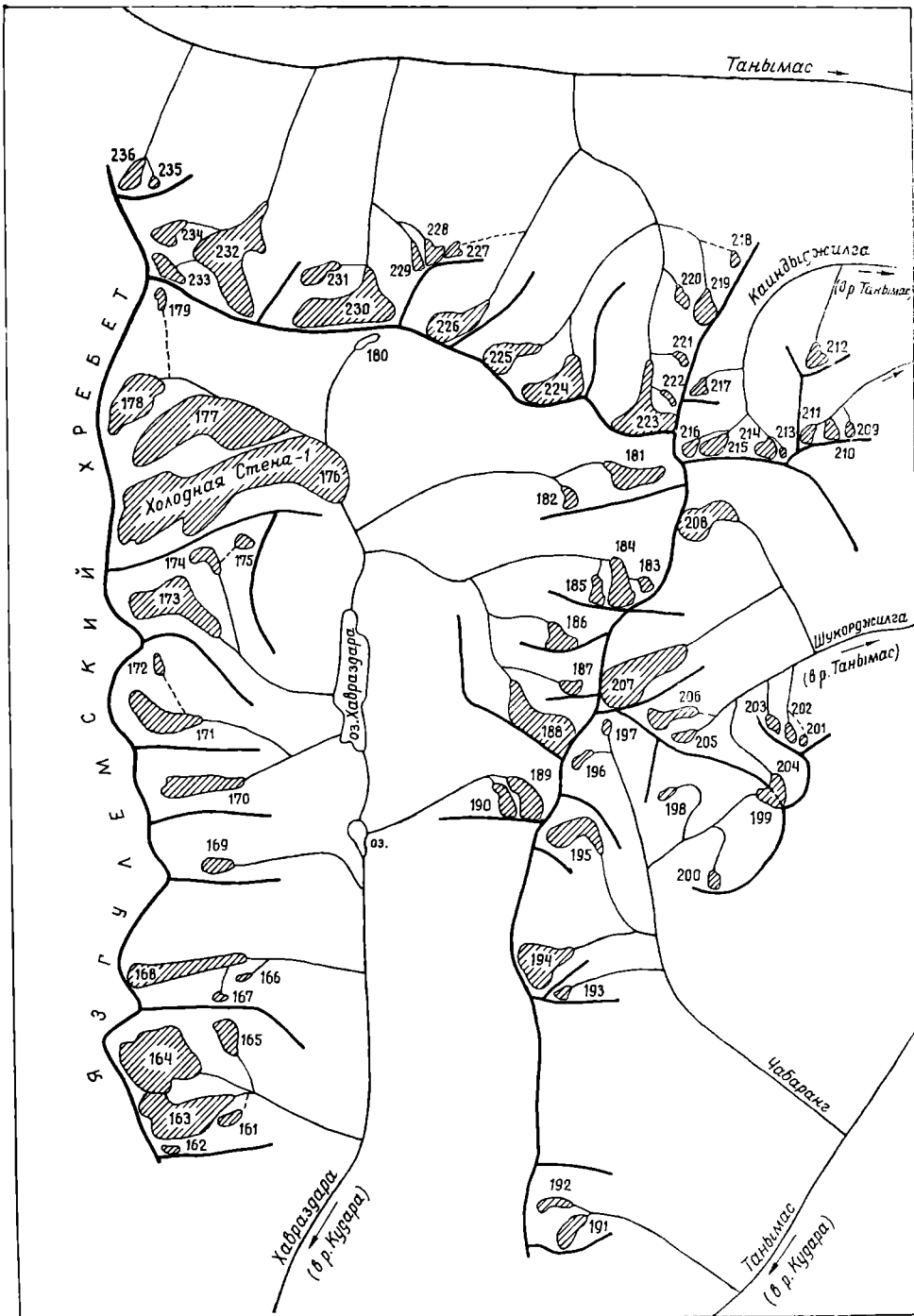


Рис. 16. Схема расположения ледников в бассейнах рек Хавраздара, Чабаранг, Шукорджилга, Каиндыжилга и правых безымянных притоков р. Танымас.
Усл. обозначения см. на рис. 11.

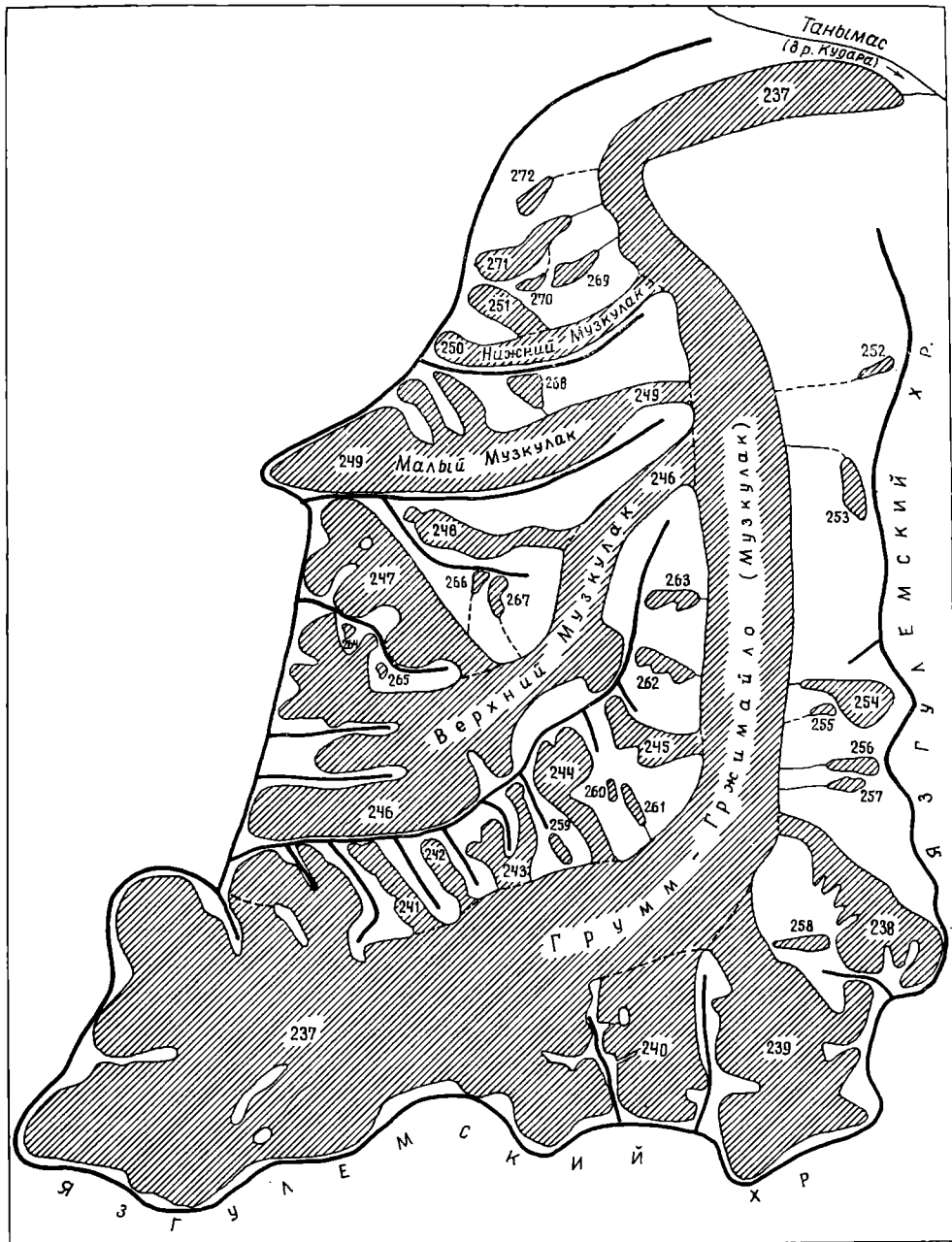


Рис. 17. Схема расположения ледников в бассейне системы ледника Грумм-Гржимайло.
Усл. обозначения см. на рис. 11.

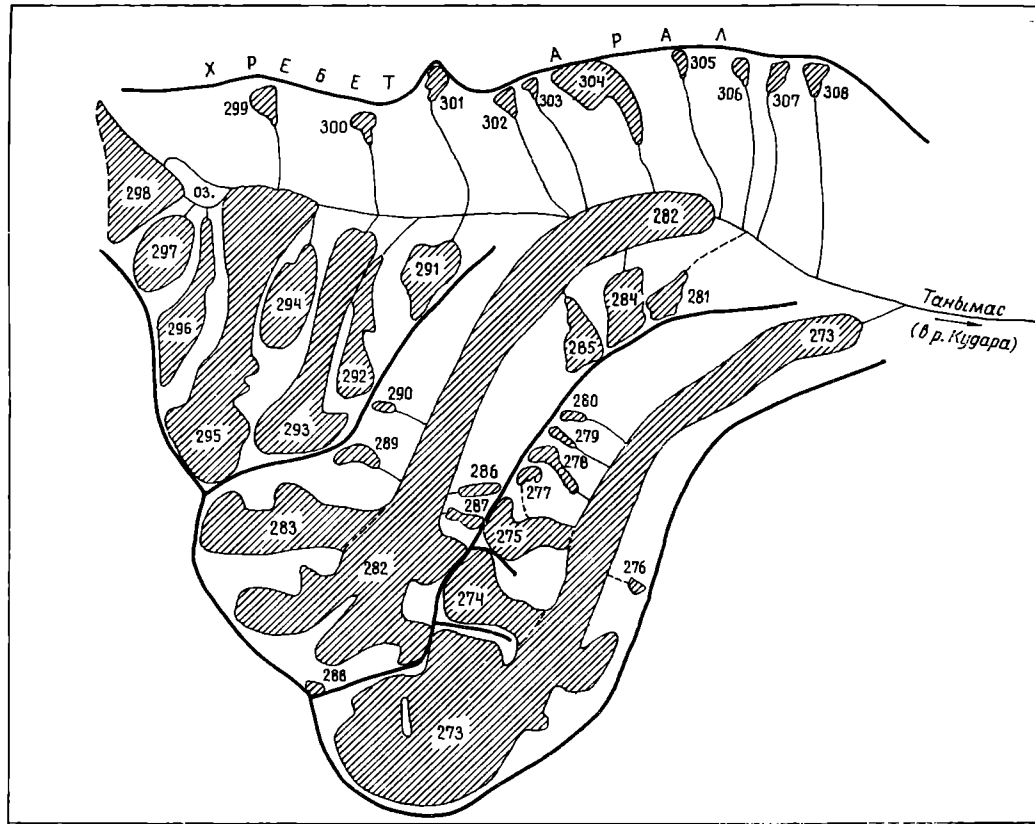


Рис. 18. Схема расположения ледников в верховьях р. Танымас.
Усл. обозначения см. на рис. 11.

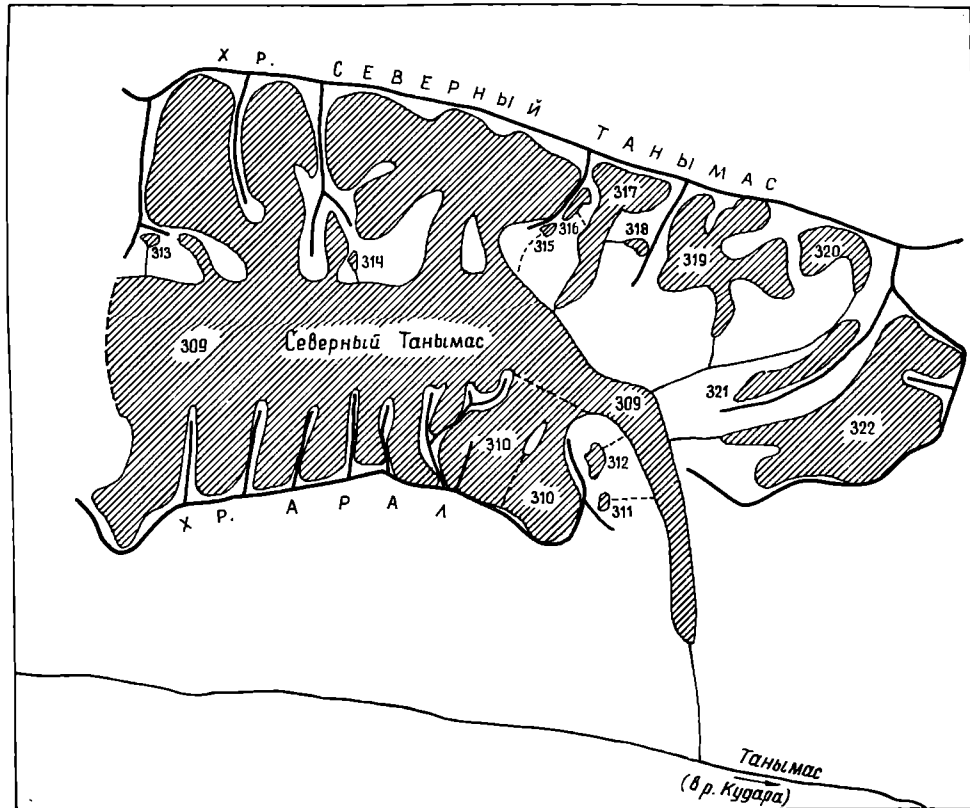


Рис. 19. Схема расположения ледников в бассейне системы ледника Северный Танымас.
Усл. обозначения см. на рис. 11.

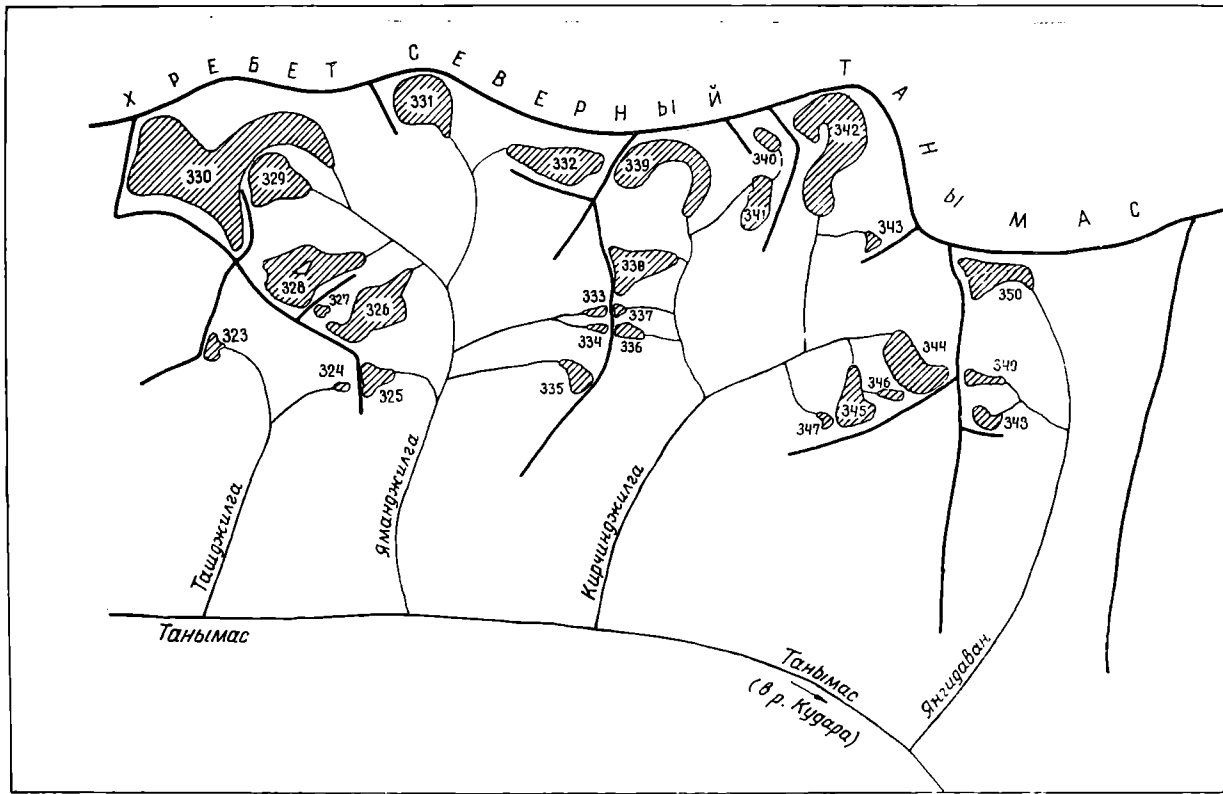


Рис. 20. Схема расположения ледников в бассейнах рек Ташджилга, Яманджилга, Кирчинджилга и Янгидаван.
Усл. обозначения см. на рис. 11.

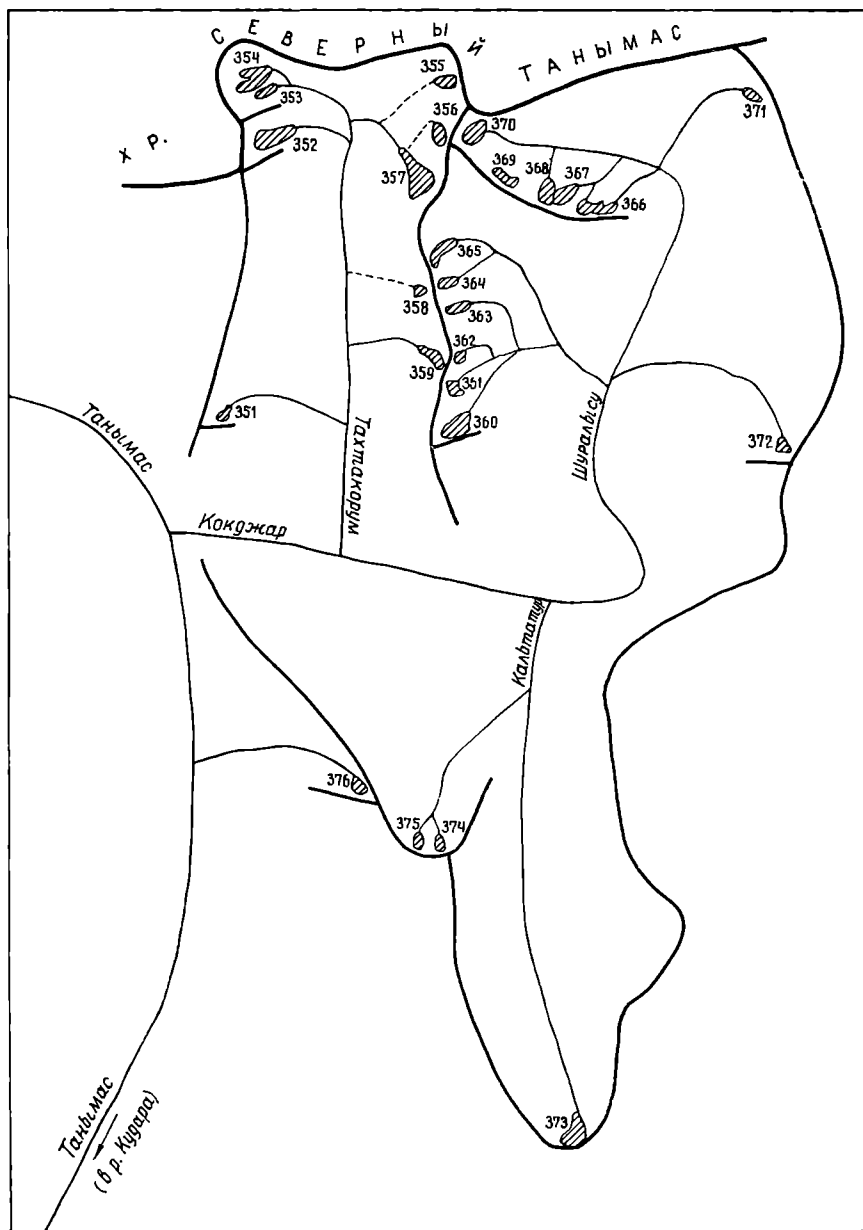


Рис. 21. Схема расположения ледников в бассейне р. Кокджар.
Усл. обозначения см. на рис. 11.

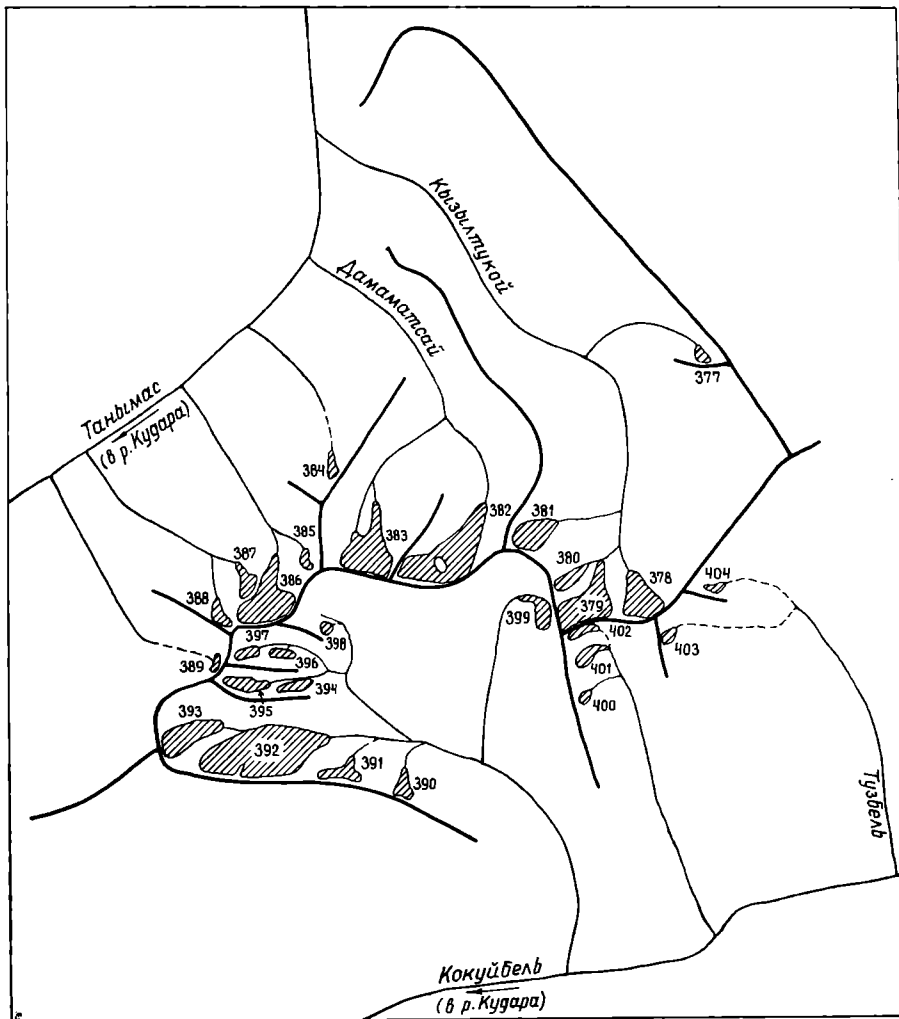


Рис. 22. Схема расположения ледников в бассейнах рек Кызылтукой, Дамаматсай, Тузбель и безымянных притоков рек Танымас и Кудара.

Условные обозначения см. на рис. 11.

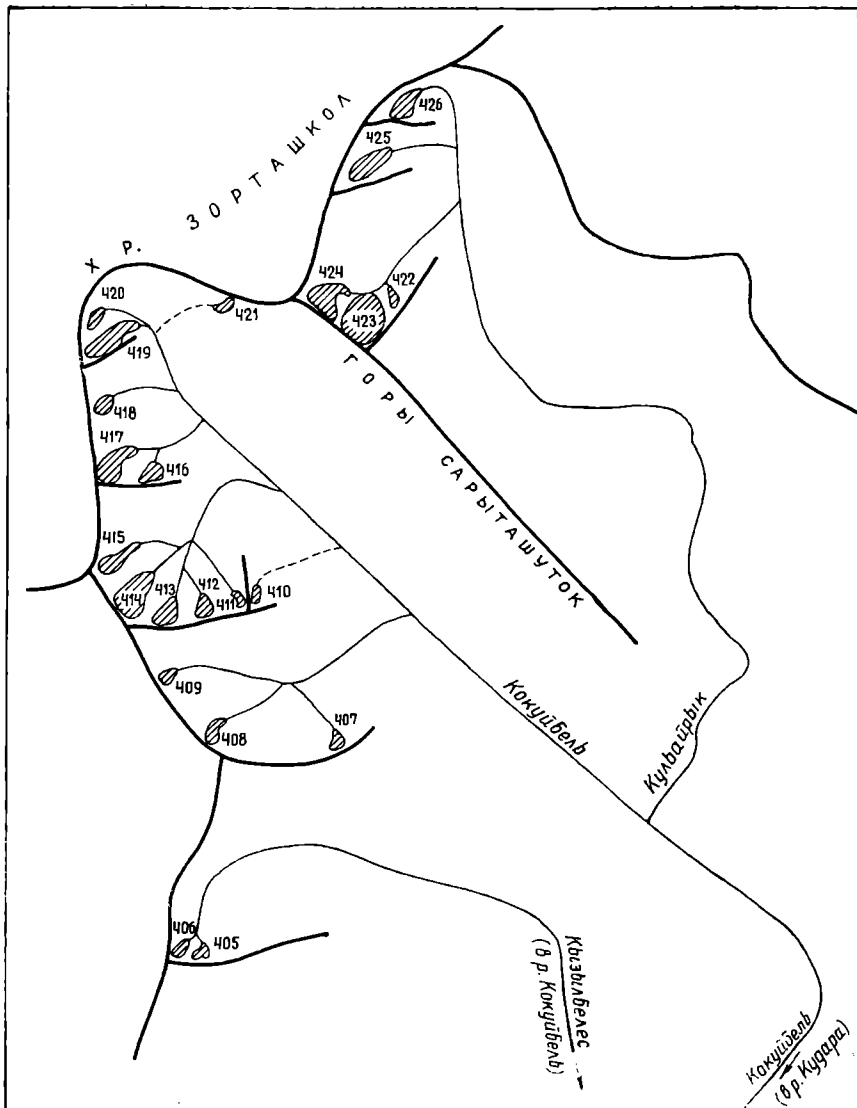


Рис. 23. Схема расположения ледников в верховьях рек Кызылбелес,
Кокубель и Кульайрык.
Усл. обозначения см. на рис. 11.

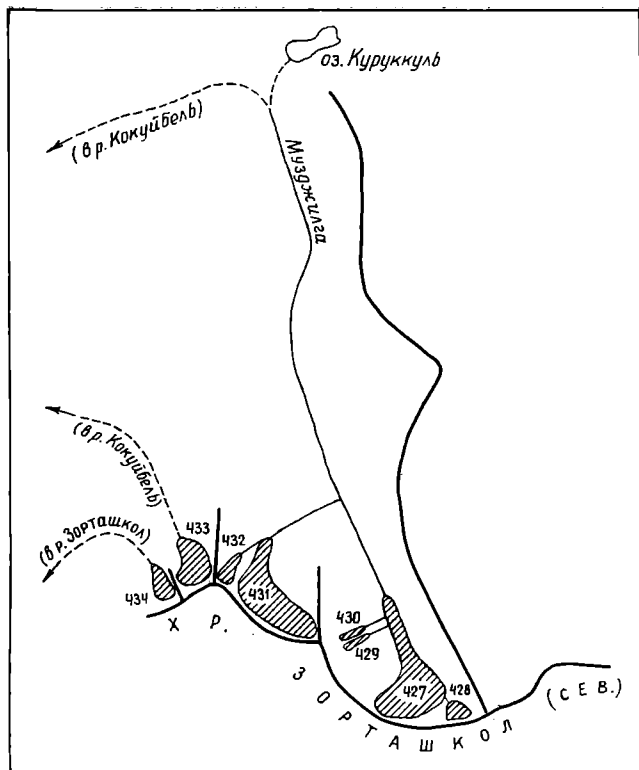


Рис. 24. Схема расположения ледников в бассейне
р. Музджилга.

Усл. обозначения см. на рис. 11.



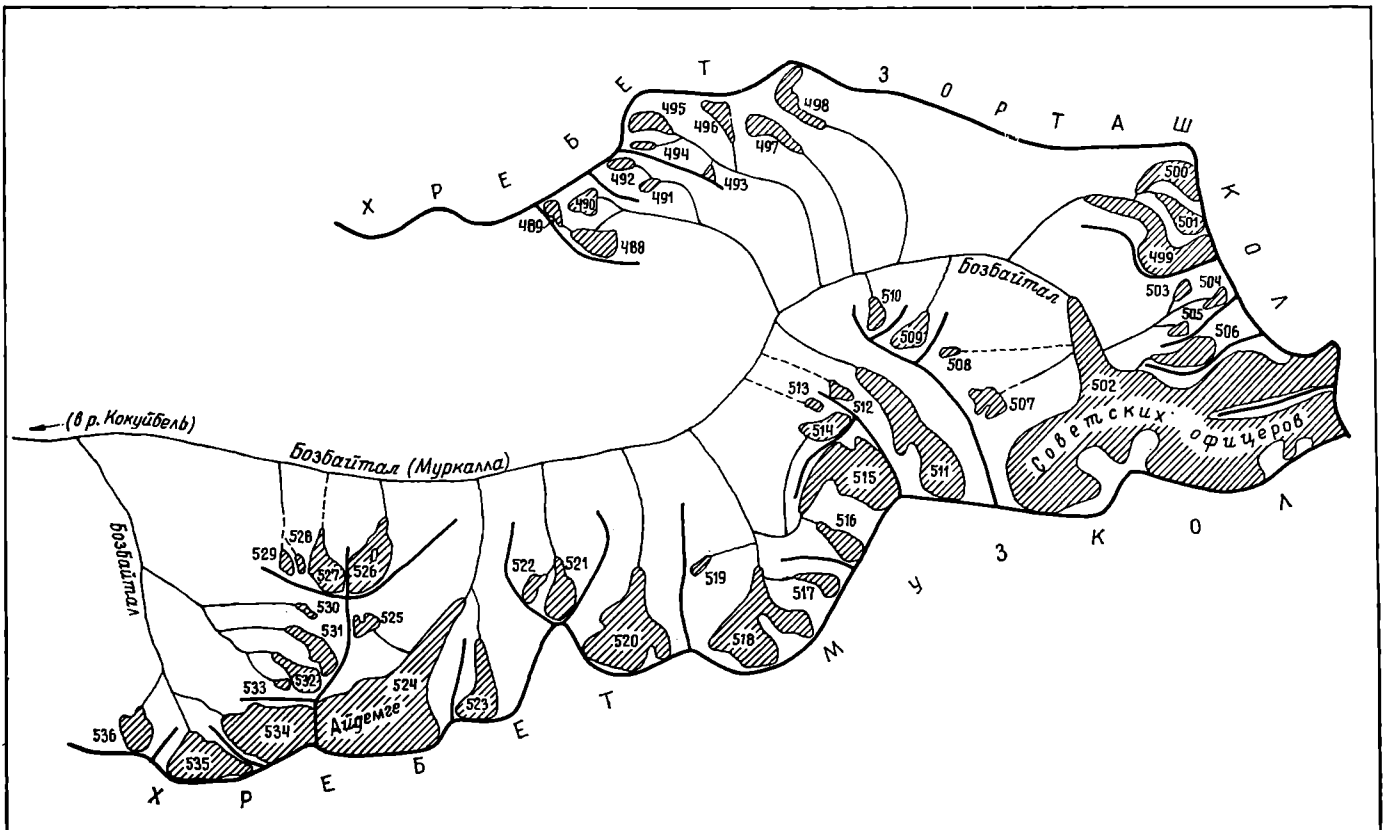


Рис. 26. Схема расположения ледников в бассейне р. Бозбайтал.
Усл. обозначения см. на рис. 11.

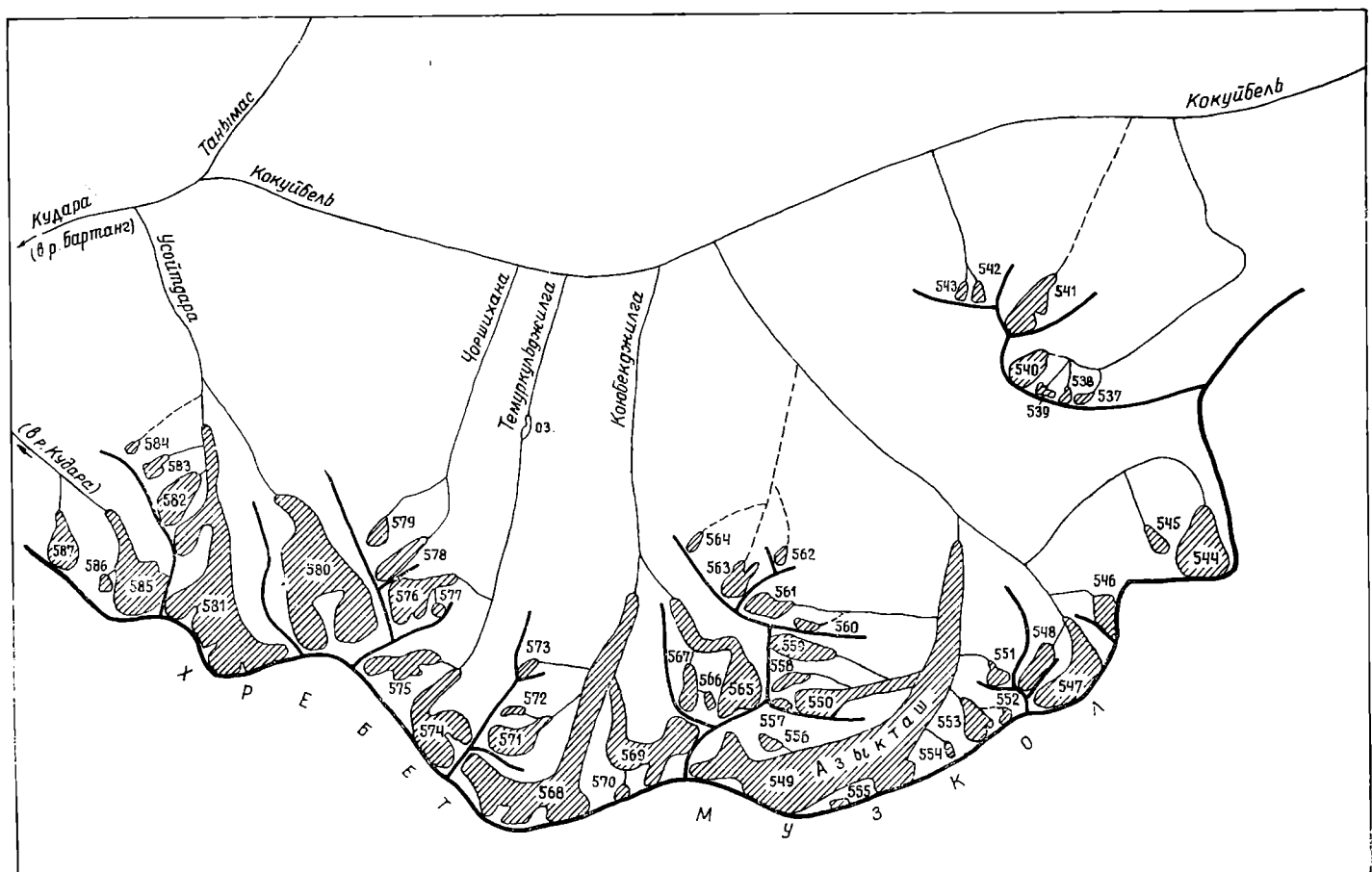


Рис. 27. Схема расположения ледников в бассейнах правых притоков рек Кокуйбель и Кудара.
Усл. обозначения см. на рис. 11.



Рис. 28. Схема расположения ледников в бассейнах правых притоков р. Бартанга.
Усл. обозначения см. на рис. 11.



Рис. 29. Схема расположения ледников в бассейне р. Бардара.
Усл. обозначения см. на рис. 11.



Рис. 30. Схема расположения ледников в бассейне р. Девлех.
Усл. обозначения см. на рис. 11.

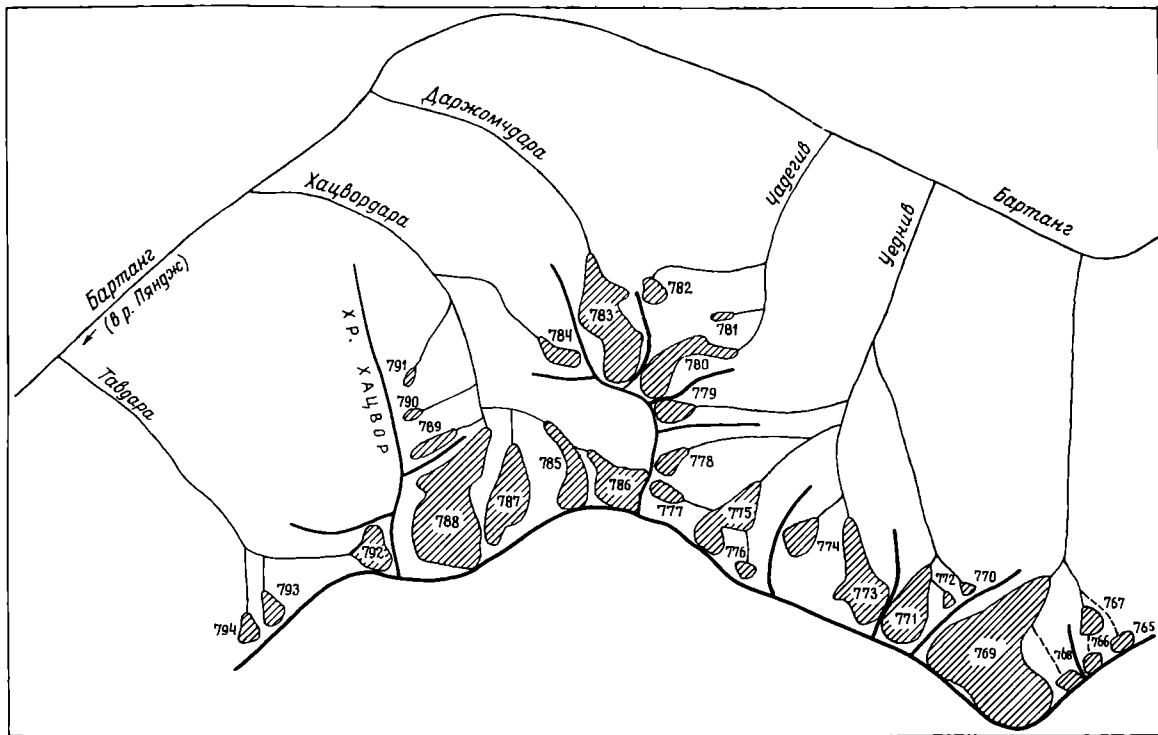


Рис. 31. Схема расположения ледников в бассейнах рек Уеднив, Чадегив, Даржомчдара, Хацвордара и Тавдара.

Усл. обозначения см. на рис. 11.

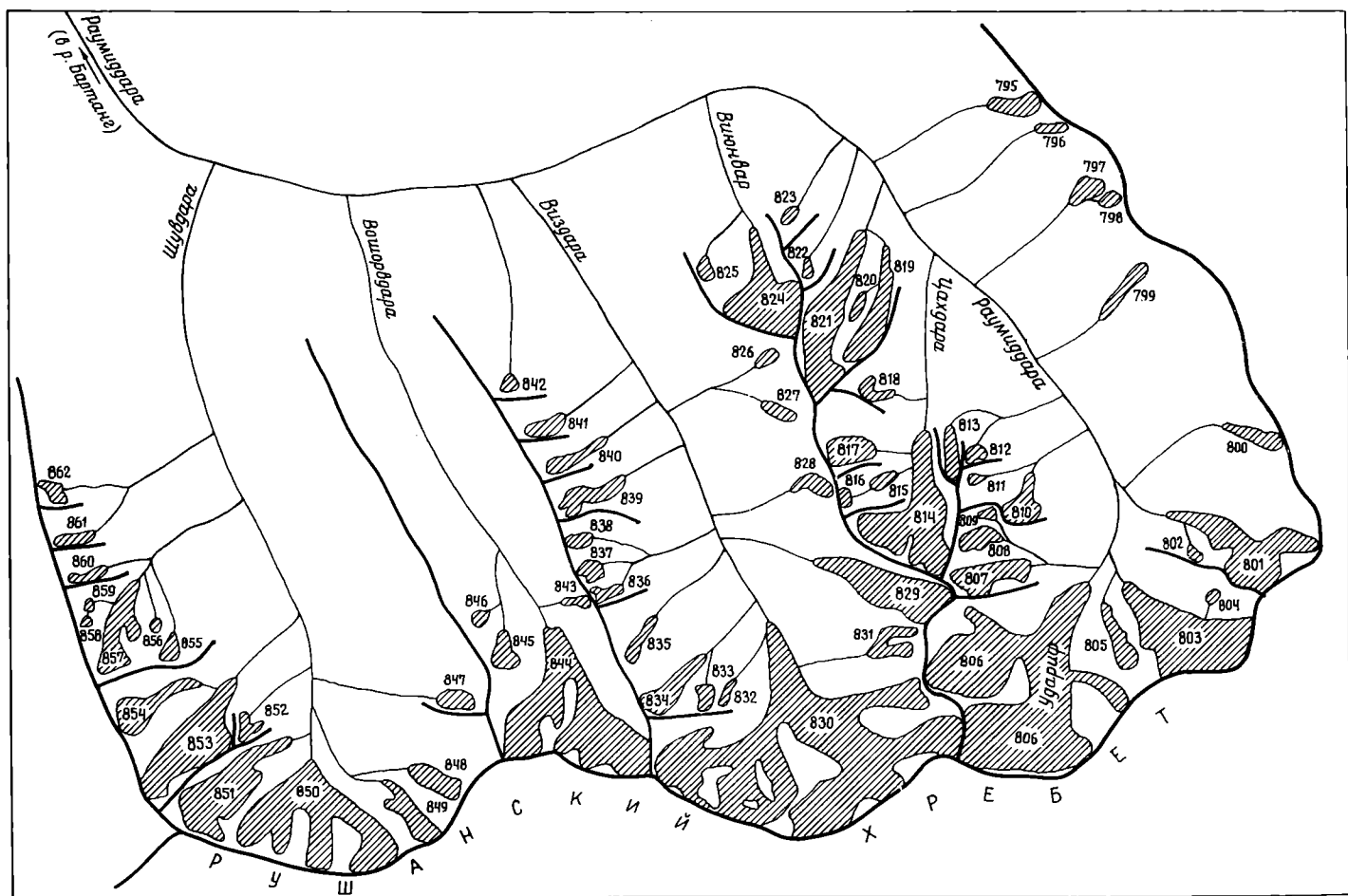


Рис. 32. Схема расположения ледниковых в бассейне р. Раумиддара.
Усл. обозначения см. на рис. 11.

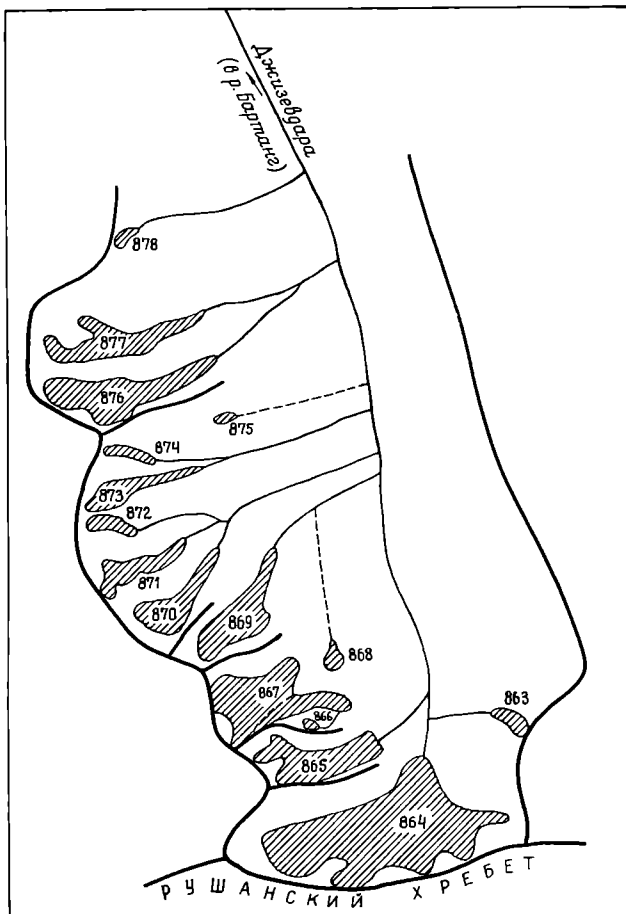


Рис. 33. Схема расположения ледников в бассейне р. Джизевдара.
Усл. обозначения см. на рис. 11.

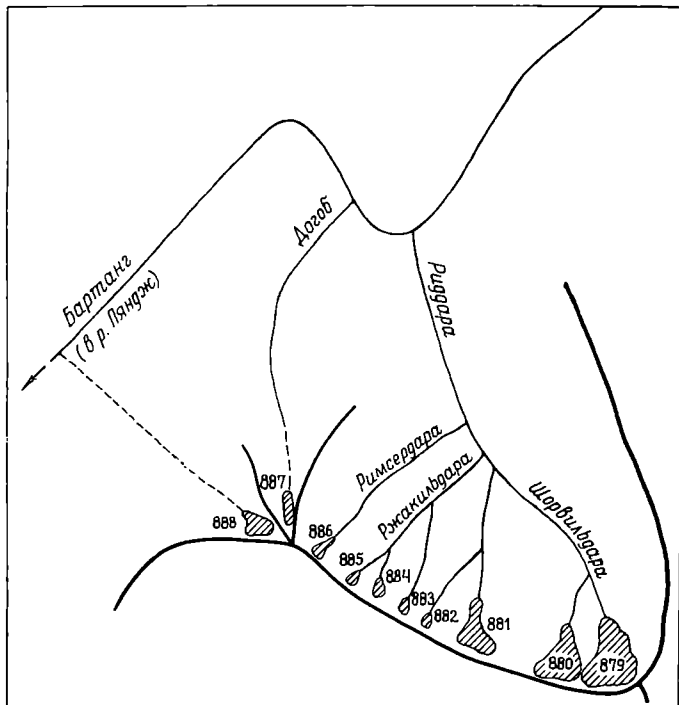


Рис. 34. Схема расположения ледников в бассейнах рек Риддара и Догоб.
Усл. обозначения см. на рис. 11,

ОСНОВНЫЕ ТАБЛИЦЫ КАТАЛОГА ЛЕДНИКОВ

ОСНОВНЫЕ СВЕДЕ

№ по схеме	Название	Название реки, вытекающей из ледника	Морфологический тип	Общая экспозиция	Наибольшая длина, км	
					всего ледника	в том числе открытой части
1	2	3	4	5	6	7

Бассейн р. Обиурун (реки Бартанг,

Северо-восточный склон южного отрога и южный склон

1*	Рун-1	пр. р. Обиурун	вис. дол.	B	2,4	2,4
2*	Рун-2	пр. р. Обиурун	вис. дол.	CB	1,7	1,7
3*	Рун-3	пр. р. Обиурун	вис. дол.	C, C	2,2	2,2
4*	Рун-4	Обиурун	дол.	CB	2,4	2,4
5*	Рун-5		вис.	B	0,5	0,5
6*	Рун-6	пр. р. Обиурун	кар.-дол.	CB	1,9	1,9
7*	Емцакба-1	пр. р. Обиурун	кар.	ЮЗ	0,9	0,9
8*	Емцакба-2	пр. р. Обиурун	кар.	C3	1,6	1,6
9*	Бахтург-1	пр. р. Бахтург	кар.	CB	0,9	0,9
10*	Бахтург-2	Бахтург	кар.	CB	0,9	0,9
11*	Бахтург-3	пр. р. Бахтург	кар.	ЮЗ	0,8	0,8
12*	Бахтург-4	пр. р. Бахтург	кар.	ЮЗ	0,8	0,8
13*	Бахтург-5	пр. р. Бахтург	дол.	3	1,3	1,3
	13 ледников					

Бассейн р. Багудара (реки Бартанг,

Восточный склон гор Шувды,

14*	Багу-1	пр. р. Багудара	кар.	ЮВ	0,7	0,7
15*	Багу-2	пр. р. Багудара	кар.	В	0,9	0,9
16*	Багу-3	пр. р. Багудара	вис. дол.	ЮВ	1,8	1,8
17*	Багу-4	Багудара	кар.	ЮВ	0,6	0,6
	4 ледника					

Бассейн правого безымянного притока р. Бартанга между устьями рек Багудара

Северный склон отрога

18	№ 18	пр. р. Бартанга	кар.	CB	0,8	0,8
----	------	-----------------	------	----	-----	-----

Бассейн р. Ходоржиодара (реки Бартанг,

Северный склон отрога

19*	Ходоржио-1	пр. р. Ходоржиодара	дол.	C, CB	2,4	2,4
20*	Ходоржио-2	пр. р. Ходоржиодара	кар.-дол.	C, CB	2,0	2,0
21*	Ходоржио-3		кар.	CB	0,8	0,8
22*	Ходоржио-4	Ходоржиодара	кар.-дол.	CB	1,9	1,9
	4 ледника					

Бассейн р. Баджудара (реки Бартанг,

Северный склон гор Сипонсхуф, юго-восточный склон

23*	Ауйц-1	пр. р. Ауйцдара	кар.-вис.	C	0,3	0,3
24*	Ауйц-2	пр. р. Ауйцдара	кар.-вис.	C	0,8	0,8
25*	Ауйц-3	Ауйцдара	кар.-дол.	B	3,5	3,5
26*	Ауйц-4		кар.	ЮВ	1,1	1,1
27*	Ауйц-5	пр. р. Ауйцдара	кар.	ЮВ	0,7	0,7
28*	№ 28	пр. р. Хавзуметдара	кар.	CB	0,5	0,5
29	№ 29	пр. р. Хавзуметдара	кар.-вис.	CB	1,5	1,5
30*	Хавзуметдара	Хавзуметдара	кар.-дол.	ЮВ	3,6	3,6
31	№ 31		вис.	ЮВ	0,8	0,8
32*	Баджу	пр. р. Вудор	дол.	ЮВ	3,1	3,1
33*	Вудор-1	пр. р. Вудор	кар.-дол.	ЮВ	2,7	2,7
34*	Вудор-2	пр. р. Вудор	кар.-дол.	B	1,8	1,8
35*	Вудор-3		вис.	CB	0,5	0,5
36*	Вудор-4	пр. р. Вудор	дол.	ЮВ	4,2	4,2
37*	Вудор-5	Вудор	сл. дол.	ЮВ, Ю	4,0	2,7
38*	Вудор-6		кар.-дол.	Ю, ЮЗ	1,4	1,4
39*	Вудор-7	пр. р. Вудор	кар.-дол.	ЮЗ	1,1	1,1

НИЯ О ЛЕДНИКАХ

Площадь, км ²		Высота, м			Фирновая линия		Площадь области аблации, км ³		Объем льда, км ³		Ссылки на последующие таблицы (иллюстрации) № таблиц и иллюстраций порядковые № сведений в таблицах
всего ледника	в том числе открытой части	нижней точки конца ледника	нижней точки открытой части ледника	высшей точки ледника	высота, м	способ определения и дата	общая	в том числе открытой части	17	18	
8	9	10	11	12	13	14	15	16			

Пяндж, Амударья, Аральское море)

Язгулемского хребта, северный склон гор Багу

0,7	0,7	3400	3400	4800	4020	Кур.	0,3	0,3	0,0158	
0,3	0,3	3650	3650	4380	4040	Кур.	0,2	0,2	0,0044	
0,6	0,6	4180	4180	4660	4410	Кур.	0,3	0,3	0,0125	
0,9	0,9	4120	4120	4940	4540	Кур.	0,5	0,5	0,0231	
0,1	0,1	4500	4500	4700	4590	Кур.	—	—	0,0009	
0,8	0,8	4300	4300	5000	4680	Кур.	0,4	0,4	0,0193	
0,5	0,5	4250	4250	4700	4430	Кур.	0,3	0,3	0,0095	
1,0	1,0	4180	4180	4920	4490	Кур.	0,6	0,6	0,0270	
0,4	0,4	4200	4200	4750	4440	Кур.	0,2	0,2	0,0068	
0,4	0,4	4380	4380	4600	4460	Кур.	0,2	0,2	0,0068	
0,3	0,3	4600	4600	5000	4760	Кур.	0,2	0,2	0,0044	
0,3	0,3	4580	4580	4900	4730	Кур.	0,1	0,1	0,0044	
0,4	0,4	4300	4300	4800	4500	Кур.	0,2	0,2	0,0068	
6,7	6,7						3,5	3,5	0,1417	

Пяндж, Амударья, Аральское море)

южный склон Язгулемского хребта

0,2	0,2	4000	4000	4300	4160	Кур.	0,1	0,1	0,0024	
0,4	0,4	4300	4300	4800	4530	Кур.	0,2	0,2	0,0068	
0,8	0,8	3900	3900	4800	4460	Кур.	0,3	0,3	0,0193	
0,3	0,3	4300	4300	4600	4420	Кур.	0,2	0,2	0,0044	
1,7	1,7						0,8	0,8	0,0329	

и Ходоржиодара (реки Бартанг, Пяндж, Амударья, Аральское море)

Язгулемского хребта

0,5	0,5	4300	4300	4820	4620	Кур.	0,2	0,2	0,0095	
-----	-----	------	------	------	------	------	-----	-----	--------	--

Пяндж, Амударья, Аральское море)

Язгулемского хребта

1,2	1,2	3830	3830	4840	4270	Кур.	0,6	0,6	0,0355	
1,0	1,0	3910	3910	4500	4200	Кур.	0,5	0,5	0,0270	
0,4	0,4	4300	4300	4750	4500	Кур.	0,2	0,2	0,0068	
1,2	1,2	3970	3970	4850	4330	Кур.	0,7	0,7	0,0355	
3,8	3,8						2,0	2,0	0,1048	

Пяндж, Амударья, Аральское море)

Язгулемского хребта, западный склон хр. Торварх

0,1	0,1	4300	4300	4600	4430	Кур.	—	—	0,0009	
0,3	0,3	4100	4100	4600	4360	Кур.	0,2	0,2	0,0044	
4,6	4,6	4030	4030	5100	4520	Кур.	2,2	2,2	0,2664	
0,4	0,4	4340	4340	4800	4530	Кур.	0,2	0,2	0,0068	
0,2	0,2	4200	4200	4500	4380	Кур.	0,1	0,1	0,0024	
0,2	0,2	4400	4400	4800	4590	Кур.	0,1	0,1	0,0024	
0,6	0,6	4100	4100	5400	4820	Кур.	0,3	0,3	0,0125	
2,9	2,9	3700	3700	5100	4450	Кур.	1,4	1,4	0,1333	
0,2	0,2	4900	4900	5300	5040	Кур.	0,1	0,1	0,0024	
2,8	2,8	4000	4000	5150	4450	Кур.	1,5	1,5	0,1265	
1,6	1,6	4220	4220	5200	4640	Кур.	0,8	0,8	0,0546	
0,8	0,8	4160	4160	5200	4630	Кур.	0,4	0,4	0,0193	
0,3	0,3	4900	4900	5300	5080	Кур.	0,1	0,1	0,0044	
2,1	2,1	3560	3560	5400	4340	Кур.	1,1	1,1	0,0822	
3,0	2,6	3860	4300	6120	5190	Кур.	1,2	0,8	0,1403	
0,5	0,5	4500	4500	5450	5060	Кур.	0,2	0,2	0,0095	
0,3	0,3	4800	4800	5420	5230	Кур.	0,1	0,1	0,0044	

№ по схеме	Название	Название реки, вытекающей из ледника	Морфологический тип	Общая экспозиция	Наибольшая длина, км	
					всего ледника	в том числе в открытой части
1	2	3	4	5	6	7
40*	Вудор-8	пр. р. Вудор	асимм. кар.	ЮЗ	1,2	1,2
41	№ 41	пр. р. Радоцдара	кар.-вис.	С	1,2	1,2
42	№ 42	пр. р. Радоцдара	кар.-вис.	СВ	1,2	1,2
43	№ 43	пр. р. Радоцдара	кар.-вис.	В	0,6	0,6
44	№ 44	пр. р. Радоцдара	кар.-вис.	СВ	0,8	0,8
45	№ 45	пр. р. Радоцдара	кар.-вис.	ЮВ	0,8	0,8
46	№ 46	пр. р. Радоцдара	кул.	ЮВ, В	2,7	2,7
47*	№ 47	пр. р. Радоцдара	сл. дол.	ЮВ, В	4,9	4,9
48*	№ 48		вис.	ЮВ	0,9	0,9
49*	Радоц	Радоцдара	дол.	СВ, В	5,2	5,2
50	№ 50		кул.	ЮВ	1,2	1,2
51	№ 51		кул.	ЮВ	1,3	1,3
52	№ 52	Радоцдара	кар.-дол.	В, ЮВ	2,6	2,6
53	№ 53	Радоцдара	дол.	ЮЗ	4,2	3,0
54	№ 54	пр. р. Радоцдара	кар.-дол.	Ю	3,2	3,2
55	№ 55	пр. р. Радоцдара	асимм. дол.	СЗ	1,0	1,0
	33 ледника					

Кроме того, в бассейне р. Баджудара

Итого 34 ледника

Бассейн р. Биджравдара (реки Бартанг, Восточный склон хр. Торварх,

56	№ 56	пр. р. Биджравдара	дол.	В, СВ	2,5	2,5
57	№ 57	пр. р. Биджравдара	кар.-вис.	В	1,5	1,5
58	№ 58	пр. р. Биджравдара	кар.-вис.	В	1,1	1,1
59	№ 59	пр. р. Биджравдара	кар.-вис.	В	1,0	1,0
60	№ 60	пр. р. Биджравдара	кар.-вис.	В	1,1	1,1
61	№ 61	пр. р. Биджравдара	кар.-вис.	В	1,0	1,0
62	№ 62	пр. р. Биджравдара	кар.-дол.	В	1,8	1,8
63*	Рахзев-1	пр. р. Рахзовдара	кар.-дол.	ЮВ, В	3,7	3,7
64*	Рахзев-2	Рахзовдара	сл. дол.	ЮВ	5,8	5,8
65*	Рахзев-3		вис.	ЮВ	1,3	1,3
66*	Рахзев-4	пр. р. Рахзовдара	дол.	ЮВ	2,2	2,2
67*	Рахзев-5		кар.-вис.	Ю	1,1	1,1
68*	Рахзев-6		кар.-вис.	Ю	0,9	0,9
69*	Рахзев-7	пр. р. Рахзовдара	кар.-дол.	Ю, ЮЗ	2,1	2,1
70	Биджрав	Биджравдара	кар.-дол.	ЮЗ	3,1	3,1
71	№ 71	пр. р. Кирцдара	кар.	ЮВ	0,6	0,6
72	№ 72	пр. р. Кирцдара	кар.	ЮВ	0,7	0,7
73	№ 73	пр. р. Кирцдара	кар.	ЮВ	1,3	1,3
74*	Кирц	Кирцдара	дол.	ЮЗ	3,1	3,1
75	№ 75		кар.	ЮЗ	0,7	0,7
	20 ледников					

Кроме того, в бассейне р. Биджравдара

Итого 21 ледник

Бассейн правого безымянного притока р. Бартанга между устьями рек Южный склон Язгулемского хребта,

76	№ 76	пр. р. Бартанга	дол.	Ю, ЮВ	4,3	2,9
77	№ 77		вис.	ЮЗ	1,1	1,1
78	№ 78	пр. р. Бартанга	вис.	СЗ	0,8	0,8
79	№ 79	пр. р. Бартанга	вис.	СЗ	1,1	1,1
	4 ледника					

Кроме того, в бассейне правого безымянного притока

Итого 5 ледников

Площадь, км ²		Высота, м				Фирновая линия		Площадь области аблации, км ²		Ссылки на последующие таблицы (иллюстрации) № таблиц и иллюстраций порядковые № сведений в таблицах
всего ледника	в том числе открытой части	нижней точки конца ледника	нижней точки открытой части ледника	высшей точки ледника	высота, м	способ определения и дата	общая	в том числе открытой части	Объем льда, км ³	
8	9	10	11	12	13	14	15	16	17	
0,3	0,3	4700	4700	5200	4890	Кур.	0,2	0,2	0,0044	
0,5	0,5	4200	4200	4800	4400	Кур.	0,3	0,3	0,0095	
0,4	0,4	4220	4220	4900	4580	Кур.	0,2	0,2	0,0068	
0,1	0,1	4380	4380	4700	4520	Кур.	—	—	0,0009	
0,2	0,2	4600	4600	5000	4840	Кур.	0,1	0,1	0,0024	
0,6	0,6	4700	4700	5250	5000	Кур.	0,3	0,3	0,0125	
0,7	0,7	3960	3960	5400	4660	Кур.	0,3	0,3	0,0158	
5,7	5,7	3560	3560	6000	4600	Кур.	3,0	3,0	0,3674	
1,0	1,0	4900	4900	5900	5280	Кур.	0,5	0,5	0,0270	
3,7	3,7	3740	3740	5600	4350	Кур.	2,0	2,0	0,1922	
0,3	0,3	4200	4200	5000	4610	Кур.	0,1	0,1	0,0044	
0,3	0,3	4200	4200	5100	4680	Кур.	0,2	0,2	0,0044	
1,6	1,6	4000	4000	5300	4640	Кур.	0,7	0,7	0,0546	
2,9	2,4	4040	4360	5600	4780	Кур.	1,4	0,9	0,1333	
2,2	2,2	4200	4200	5100	4630	Кур.	1,0	1,0	0,0881	
0,3	0,3	4160	4160	4800	4470	Кур.	0,2	0,2	0,0044	
41,7	40,8						20,5	19,6	1,8008	

имеется 1 ледник площадью 0,08 км²

41,8									
------	--	--	--	--	--	--	--	--	--

Пяндж, Амударья, Аральское море)

южный склон Язгумеского хребта

0,4	0,4	3700	3700	4660	4290	Кур.	0,2	0,2	0,0068
0,4	0,4	4200	4200	4700	4420	Кур.	0,2	0,2	0,0068
0,2	0,2	3900	3900	4500	4180	Кур.	0,1	0,1	0,0024
0,3	0,3	4300	4300	4550	4420	Кур.	0,1	0,1	0,0044
0,3	0,3	4150	4150	4500	4350	Кур.	0,1	0,1	0,0044
0,2	0,2	4200	4200	4700	4470	Кур.	0,1	0,1	0,0024
0,5	0,5	4030	4030	4800	4320	Кур.	0,3	0,3	0,0095
2,8	2,8	4080	4080	5060	4490	Кур.	1,4	1,4	0,1265
5,1	5,1	4080	4080	5700	4570	Кур.	3,0	3,0	0,3110
0,5	0,5	4700	4700	5700	5200	Кур.	0,3	0,3	0,0095
1,0	1,0	4160	4160	4440	4310	Кур.	0,5	0,5	0,0270
0,6	0,6	4480	4480	5050	4730	Кур.	0,3	0,3	0,0125
0,5	0,5	4750	4750	5400	5140	Кур.	0,2	0,2	0,0095
0,8	0,8	4080	4080	4700	4340	Кур.	0,4	0,4	0,0193
1,6	1,6	4450	4450	5630	4880	Кур.	0,8	0,8	0,0546
0,2	0,2	4040	4040	4300	4140	Кур.	0,1	0,1	0,0024
0,1	0,1	4100	4100	4600	4320	Кур.	—	—	0,0009
0,3	0,3	3900	3900	4400	4110	Кур.	0,2	0,2	0,0044
0,9	0,9	3700	3700	5000	4630	Кур.	0,3	0,3	0,0231
0,1	0,1	4340	4340	4750	4590	Кур.	—	—	0,0009
16,8	16,8						8,6	8,6	0,6383

имеется 1 ледник площадью 0,06 км²

16,9									
------	--	--	--	--	--	--	--	--	--

Биджравдара и Чадут (реки Бартанг, Пяндж, Амударья, Аральское море)

западный склон его отрога

2,5	1,8	3480	3800	4180	3850	Кур.	1,0	0,3	0,1067
0,2	0,2	4440	4440	5000	4690	Кур.	0,1	0,1	0,0024
0,3	0,3	5220	5220	5700	5460	Кур.	0,1	0,1	0,0044
0,7	0,7	4300	4300	5000	4660	Кур.	0,4	0,4	0,0158
3,7	3,0						1,6	0,9	0,1293

р. Бартанга имеется 1 ледник площадью 0,05 км²

3,8									
-----	--	--	--	--	--	--	--	--	--

№ по схеме	Название	Название реки, вытекающей из ледника	Морфологический тип	Общая экспозиция	Наибольшая длина, км	
					всего ледника	в том числе открытой части
1	2	3	4	5	6	7

Бассейн р. Чадут (реки Бартанг, Восточный склон отрога

80	№ 80	пр. р. Чадут	вис.	C	0,5	0,5
81	№ 81	Чадут	кар.	C	1,0	1,0
82*	Чадут	Чадут	кар.	ЮВ	0,9	0,9
	3 ледника					

Бассейн р. Вадинров (реки Бартанг, Южный склон

83	№ 83	пр. р. Вадинров	вис.	СВ	0,5	0,5
84	№ 84	пр. р. Вадинров	прискл. кар.	СВ	1,5	1,5
85	№ 85	пр. р. Вадинров	вис. дол.	ЮВ	1,6	1,6
86*	Вадинров	Вадинров	кар.-дол.	ЮВ	2,4	2,4
87	№ 87		вис.	В	0,4	0,4
88	№ 88	пр. р. Вадинров	кар.	Ю	1,0	1,0
89	№ 89	пр. р. Вадинров	кар.	Ю	0,7	0,7
90	№ 90	пр. р. Вадинров	вис.	ЮЗ	0,3	0,3
	8 ледников					

**Бассейн правого безымянного притока р. Бартанга между устьями рек Вадинров
Восточный склон отрога**

91	№ 91	пр. р. Бартанга	дол.	В	2,2	2,2
92	№ 92	пр. р. Бартанга	вис.	ЮВ	0,8	0,8
	2 ледника					

Бассейн р. Рохац (реки Бартанг, Южный склон

93	№ 93	пр. р. Рохац	кар.-дол.	В	2,2	2,2
94*	Рохац	Рохац	сл. дол.	СВ	4,3	4,3
95	№ 95		кар.	С	0,9	0,9
96	№ 96		вис.	ЮВ	1,7	1,7
97*	Хокац-1	пр. р. Хокац	сл. дол.	ЮВ	3,1	1,7
98*	Хокац-2	Хокац	дол.	ЮЗ, Ю, ЮВ	3,3	1,4
99	№ 99		вис.	ЮЗ	1,3	1,3
100	№ 100	пр. р. Хокац	вис.	ЮЗ	1,8	1,8
101	№ 101	пр. р. Хокац	кар.-вис.	ЮЗ	1,1	1,1
102	№ 102	пр. р. Хокац	вис.	З	0,5	0,5
	10 ледников					

Кроме того, в бассейне р. Рохац имеется 2 ледника

Итого 12 ледников						
-------------------	--	--	--	--	--	--

Бассейн р. Ильдож (реки Бартанг, Южный склон

103*	Ильдож	Ильдож	вис. дол.	Ю, ЮВ	3,1	3,1
104	№ 104	пр. р. Ильдож	кар.	ЮВ	0,7	0,7
	2 ледника					

Кроме того, в бассейне р. Ильдож имеется

Итого 3 ледника						
-----------------	--	--	--	--	--	--

Бассейн р. Язгулемдара (реки Бартанг, Восточный и южный склоны

105	№ 105	пр. р. Язгулемдара	кар.-дол.	СВ	2,9	1,5
106	№ 106	пр. р. Язгулемдара	кар.	СВ	0,9	0,9

Площадь, км ²		Высота, м			Фирновая линия		Площадь области аблации, км ²		Ссылки на последующие таблицы (иллюстрации) № таблиц и иллюстраций порядковые № сведений в таблицах	
всего ледника	в том числе открытой части	низшей точки конца ледника	низшей точки открытой части ледника	высшей точки ледника	высота, м	способ определения и дата	общая	в том числе открытой части		
8	9	10	11	12	13	14	15	16	17	18

Пяндж, Амударья, Аральское море)

Язгулемского хребта

0,1	0,1	4400	4400	4700	4580	Кур.	—	—	0,0009	
0,4	0,4	4180	4180	4700	4460	Кур.	0,2	0,2	0,0068	
0,2	0,2	4100	4100	4340	4280	Кур.	0,1	0,1	0,0024	
0,7	0,7						0,3	0,3	0,0101	

Пяндж, Амударья, Аральское море)

Язгулемского хребта

0,1	0,1	4300	4300	4700	4550	Кур.	—	—	0,0009	
3,4	3,4	4000	4000	4940	4350	Кур.	1,9	1,9	0,1693	
0,3	0,3	4100	4100	4850	4420	Кур.	0,2	0,2	0,0044	
1,2	1,2	4100	4100	4700	4380	Кур.	0,5	0,5	0,0355	
0,1	0,1	4700	4700	5100	4900	Кур.	—	—	0,0009	
0,3	0,3	4200	4200	4500	4370	Кур.	0,2	0,2	0,0044	
0,2	0,2	4500	4500	4800	4670	Кур.	0,1	0,1	0,0024	
0,1	0,1	5300	5300	5420	5370	Кур.	—	—	0,0009	
5,7	5,7						2,9	2,9	0,2187	

и Рохац (реки Бартанг, Пяндж, Амударья, Аральское море)

Язгулемского хребта

0,6	0,6	3700	3700	4700	4110	Кур.	0,3	0,3	0,0125	
0,2	0,2	4700	4700	5200	5000	Кур.	0,1	0,1	0,0024	
0,8	0,8						0,4	0,4	0,0149	

Пяндж, Амударья, Аральское море)

Язгулемского хребта

0,6	0,6	4280	4280	5420	4910	Кур.	0,3	0,3	0,0125	
4,8	4,8	3820	3820	5450	4520	Кур.	2,5	2,5	0,2839	
0,2	0,2	4400	4400	5150	4820	Кур.	0,1	0,1	0,0024	
0,5	0,5	4370	4370	5330	4850	Кур.	0,2	0,2	0,0095	
1,8	1,2	4040	4400	5000	4500	Кур.	0,9	0,3	0,0652	
1,0	0,4	3940	4260	4800	4280	Кур.	0,6	—	0,0270	
0,3	0,3	4700	4700	5300	5020	Кур.	0,1	0,1	0,0044	
0,5	0,5	4500	4500	5400	4920	Кур.	0,3	0,3	0,0095	
0,3	0,3	4800	4800	5400	5180	Кур.	0,1	0,1	0,0044	
0,1	0,1	5100	5100	5500	5360	Кур.	—	—	0,0009	
10,1	8,9						5,1	3,9	0,4197	

размерами менее 0,1 км² каждый, общей площадью 0,14 км²

10,2										
------	--	--	--	--	--	--	--	--	--	--

Пяндж, Амударья, Аральское море)

Язгулемского хребта

1,5	1,5	3950	3950	5900	4980	Кур.	0,8	0,8	0,0496	
0,1	0,1	3760	3760	4000	3900	Кур.	—	—	0,0009	
1,6	1,6						0,8	0,8	0,0505	

1 ледник площадью 0,04 км²

1,6										
-----	--	--	--	--	--	--	--	--	--	--

Пяндж, Амударья, Аральское море)

Язгулемского хребта

2,0	1,1	3680	3920	4340	3960	Кур.	1,1	0,2	0,0764	
0,2	0,2	4600	4600	5200	4920	Кур.	0,1	0,1	0,0024	

№ по схеме	Название	Название реки, вытекающей из ледника	Морфологический тип	Общая экспозиция	Наибольшая длина, км	
					всего ледника	в том числе открытой части
1	2	3	4	5	6	7
107	№ 107	пр. р. Язгулемдара	кар.-дол.	СЗ, С, СВ	5,5	4,4
108	№ 108		вис.	С	1,4	1,4
109	№ 109		вис.	ЮВ	0,5	0,5
110	№ 110		кар.-дол.	ЮЗ, Ю, В	3,5	2,3
111	№ 111	пр. р. Язгулемдара	кар.	ЮВ	1,2	1,2
112	№ 112	пр. р. Язгулемдара	дол.	Ю, ЮВ, В	6,4	3,2
113	№ 113		вис.	ЮЗ	1,0	1,0
114*	Язгулемдара	Язгулемдара	сл. дол.	ЮВ, Ю, ЮВ	12,9	11,5
115	№ 115		вис. кар.	ЮЗ	1,2	1,2
116	№ 116		кар.-вис.	СЗ	1,3	1,3
117	№ 117		кар.-вис.	З	1,4	1,4
118	№ 118		кар.-вис.	З	1,9	1,9
119	№ 119		кар.-вис.	ЮЗ	1,8	1,8
120	№ 120	пр. р. Язгулемдара	кар.-вис.	ЮЗ	1,4	1,0
121	№ 121	пр. р. Язгулемдара	дол.	ЮЗ	1,9	1,9
122	№ 122		вис.	З	0,8	0,8
123	№ 123	пр. р. Язгулемдара	кар.-вис.	ЮЗ	1,2	1,2
124	№ 124	пр. р. Язгулемдара	вис. дол.	ЮВ, Ю, ЮЗ	4,0	4,0
20 ледников						
Кроме того, в бассейне р. Язгулемдара имеется 3 ледника						
Итого 23 ледника						

Бассейн р. Хабарвивхац (реки Кудара, Бартанг,

Восточный склон отрога

125	№ 125	пр. р. Хабарвивхац	кар.	СВ	1,0	1,0
126	№ 126	пр. р. Хабарвивхац	кар.-вис.	С, СВ	1,0	1,0
127	№ 127	пр. р. Хабарвивхац	вис.	ЮВ	1,2	1,2
128*	Хабарвивхац	Хабарвивхац	сл. дол.	Ю, ЮВ	11,5	9,6
129*	№ 129		кар.-дол.	ЮВ, В, СВ	5,4	5,4
130*	№ 130		перем.	ЮВ, В	4,0	4,0
131*	№ 131		вис. дол.	Ю	3,7	3,7
132*	№ 132		кар.-дол.	СВ	0,9	0,9
133	№ 133		вис.	В	1,0	1,0
134	№ 134		вис.	ЮВ	1,0	1,0
135	№ 135		вис.	Ю	0,5	0,5
136*	Башурвдара	Хабарвивхац	сл. дол.	ЮВ, Ю, ЮЗ	13,3	8,7
137*	№ 137		вис. дол.	З, ЮЗ	3,1	3,1
138*	№ 138		кар.-дол.	ЮЗ	7,1	7,1
139*	№ 139		кар.-дол.	С, СЗ	2,9	2,9
140	№ 140		вис.	СВ	0,6	0,6
141	№ 141		вис.	СВ	0,6	0,6
142	№ 142		вис.	ЮВ	1,0	1,0
143*	№ 143		кар.-дол.	ЮВ	3,7	3,7
142	№ 144		вис.	ЮВ	0,5	0,5
145	№ 145		вис.	ЮЗ	0,5	0,5
146	№ 146		кар.-дол.	ЮВ, Ю	2,0	2,0
147	№ 147		кар.	С	0,6	0,6
23 ледника						

Кроме того, в бассейне р. Хабарвивхац имеется 2 ледника

Итого 25 ледников

Бассейн правого безымянного притока р. Кудара между устьями рек Хабарвивхац

Южный склон отрога

148	№ 148	пр. р. Кудара	кар.-вис.	В, ЮВ	1,4	1,4
149	№ 149	пр. р. Кудара	вис.	Ю	1,3	1,3
150	№ 150	пр. р. Кудара	кар.-вис.	ЮЗ	0,9	0,9
3 ледника						

Площадь, км ²		Высота, м			Фирновая линия		Площадь области аблации, км ²		Ссылки на последующие таблицы (иллюстрации) № таблиц и иллюстраций порядковые № сведений в таблицах	
всего ледника	в том числе открытой части	нижней точки конца ледника	нижней точки открытоей части ледника	высшей точки ледника	высота, м	способ определения и дата	общая	в том числе открытой части	Объем льда, км ³	
8	9	10	11	12	13	14	15	16	17	18
3,4	2,7	3960	4180	5400	4410	Кур.	2,3	1,6	0,1693	
0,6	0,6	5340	5340	5980	5610	Кур.	0,3	0,3	0,0125	
0,2	0,2	4500	4500	4800	4690	Кур.	0,1	0,1	0,0024	
1,5	1,0	4240	4400	5300	4620	Кур.	0,9	0,4	0,0496	
0,4	0,4	4400	4400	4500	4450	Кур.	0,2	0,2	0,0068	
3,9	2,1	4160	4420	5500	4580	Кур.	2,4	0,6	0,2080	
0,7	0,7	4600	4600	5290	4940	Кур.	0,3	0,3	0,0158	
33,8	27,4	3920	4480	6500	5000	Кур.	17,1	10,7	5,3057	V/13; рис. 36
1,0	1,0	5960	5960	6970	6560	Кур.	0,5	0,5	0,0270	
0,4	0,4	5000	5000	5600	5220	Кур.	0,2	0,2	0,0068	
0,4	0,4	4700	4700	5600	5120	Кур.	0,2	0,2	0,0068	
0,5	0,5	4900	4900	6000	5440	Кур.	0,2	0,2	0,0095	
0,6	0,6	4960	4960	5900	5350	Кур.	0,3	0,3	0,0125	
0,4	0,3	4640	4660	5200	4840	Кур.	0,2	0,1	0,0068	
0,4	0,4	4000	4500	4800	4390	Кур.	0,2	0,2	0,0068	
0,2	0,2	4800	4800	5500	5250	Кур.	0,1	0,1	0,0024	
0,3	0,3	4700	4700	5300	5010	Кур.	0,1	0,1	0,0044	
2,0	2,0	4280	4280	5600	5010	Кур.	0,9	0,9	0,0764	
52,9	42,5						27,7	17,3	6,0083	

размерами менее 0,1 км² каждый, общей площадью 0,22 км²

53,1										
------	--	--	--	--	--	--	--	--	--	--

Пяндж, Амударья, Аральское море)

и южный склон Язгулемского хребта

0,2	0,2	3800	3800	4100	3990	Кур.	0,1	0,1	0,0024	
0,3	0,3	4320	4320	4800	4560	Кур.	0,2	0,2	0,0044	
0,4	0,4	4700	4700	5100	4870	Кур.	0,2	0,2	0,0068	
15,0	11,7	3500	3760	6800	5070	Кур.	7,9	4,6	1,5686	
3,3	3,3	4000	4000	5500	4800	Кур.	1,3	1,3	0,1619	
3,1	3,1	4000	4000	5600	4920	Кур.	1,3	1,3	0,1474	
2,2	2,2	4160	4160	6400	5450	Кур.	1,2	1,2	0,0881	
0,6	0,6	4500	4500	5000	4780	Кур.	0,3	0,3	0,0125	
0,4	0,4	5500	5500	6200	5890	Кур.	0,1	0,1	0,0068	
0,2	0,2	5300	5300	6000	5640	Кур.	0,1	0,1	0,0024	
0,2	0,2	5400	5400	5800	5640	Кур.	0,1	0,1	0,0024	
14,1	10,8	3540	4020	6000	4770	Кур.	5,4	2,1	1,4295	
1,2	1,2	4340	4340	5640	5020	Кур.	0,6	0,6	0,0355	
6,4	6,3	4230	4230	5900	5240	Кур.	2,1	2,0	0,4372	
1,1	1,1	4500	4500	5400	4940	Кур.	0,6	0,6	0,0311	
0,1	0,1	4500	4500	4800	4640	Кур.	—	—	0,0009	
0,2	0,2	4000	4000	4500	4240	Кур.	0,1	0,1	0,0024	
0,2	0,2	4500	4500	4840	4690	Кур.	0,1	0,1	0,0024	
2,8	2,8	4380	4380	5700	5000	Кур.	1,0	1,0	0,1265	
0,1	0,1	5700	5700	6100	5900	Кур.	—	—	0,0009	
0,1	0,1	5200	5200	5500	5370	Кур.	—	—	0,0009	
0,6	0,6	4820	4820	5300	5040	Кур.	0,3	0,3	0,0125	
0,2	0,2	4300	4300	4600	4440	Кур.	0,1	0,1	0,0024	
53,0	46,3						23,1	16,4	4,0859	

размерами менее 0,1 км² каждый, общей площадью 0,1 км²

53,1										
------	--	--	--	--	--	--	--	--	--	--

и Башурвдара (реки Кудара, Бартанг, Пяндж, Амударья, Аральское море)

Язгулемского хребта

0,3	0,3	4540	4540	5100	4770	Кур.	0,2	0,2	0,0044	
0,3	0,3	4600	4600	5000	4810	Кур.	0,1	0,1	0,0044	
0,2	0,2	4520	4520	4900	4680	Кур.	0,1	0,1	0,0024	
0,8	0,8						0,4	0,4	0,0112	

№ по схеме	Название	Название реки, вытекающей из ледника	Морфологический тип	Общая экспозиция	Наибольшая длина, км	
					всего ледника	в том числе открытой части
1	2	3	4	5	6	7
151	№ 151	пр. р. Башурвдара	вис. дол.	Ю, ЮВ	3,1	3,1
152*	№ 152	пр. р. Башурвдара	вис.	ЮВ	1,1	1,1
153*	№ 153	пр. р. Башурвдара	вис.	ЮВ	1,7	1,7
154	№ 154	пр. р. Башурвдара	кар.-дол.	ЮВ	3,2	3,2
155	№ 155	пр. р. Башурвдара	кар.-дол.	ЮВ	2,8	2,8
156*	№ 156	Башурвдара	кар.-дол.	Ю, ЮВ	5,7	5,7
157	№ 157	пр. р. Башурвдара	кар.	ЮВ	1,1	1,1
158	№ 158	пр. р. Башурвдара	вис. дол.	ЮВ	2,1	2,1
159*	№ 159	пр. р. Башурвдара	вис.	ЮВ	1,5	1,5
160*	№ 160	пр. р. Башурвдара	кар.-дол.	ЮВ, Ю, ЮЗ	4,7	4,7
10 ледников						

Бассейн р. Башурвдара (реки Кудара,

Южный склон

151	№ 151	пр. р. Башурвдара	вис. дол.	Ю, ЮВ	3,1	3,1
152*	№ 152	пр. р. Башурвдара	вис.	ЮВ	1,1	1,1
153*	№ 153	пр. р. Башурвдара	вис.	ЮВ	1,7	1,7
154	№ 154	пр. р. Башурвдара	кар.-дол.	ЮВ	3,2	3,2
155	№ 155	пр. р. Башурвдара	кар.-дол.	ЮВ	2,8	2,8
156*	№ 156	Башурвдара	кар.-дол.	Ю, ЮВ	5,7	5,7
157	№ 157	пр. р. Башурвдара	кар.	ЮВ	1,1	1,1
158	№ 158	пр. р. Башурвдара	вис. дол.	ЮВ	2,1	2,1
159*	№ 159	пр. р. Башурвдара	вис.	ЮВ	1,5	1,5
160*	№ 160	пр. р. Башурвдара	кар.-дол.	ЮВ, Ю, ЮЗ	4,7	4,7
10 ледников						

Бассейн р. Хавраздара (реки Кудара, Бартанг,

Восточный склон

161*	№ 161	пр. р. Хавраздара	прискл.	СВ	1,0	0,9
162	№ 162		вис.	С	0,2	0,2
163*	№ 163	пр. р. Хавраздара	кар.	В, СВ	3,5	3,5
164*	№ 164	пр. р. Хавраздара	кар.	ЮВ	2,6	2,4
165	№ 165	пр. р. Хавраздара	кар.	ЮВ	0,9	0,9
166	№ 166	пр. р. Хавраздара	прискл.	СВ	0,5	0,5
167	№ 167		вис.	С	0,6	0,6
168	№ 168	пр. р. Хавраздара	дол.	СВ	3,8	3,2
169	№ 169	пр. р. Хавраздара	кар.	В	0,8	0,8
170	№ 170	пр. оз. Хавраздара	кар.-дол.	В	2,3	1,8
171	№ 171	пр. оз. Хавраздара	кар.	ЮВ, В	2,1	1,5
172	№ 172		кар.	Ю	0,7	0,7
173	№ 173	пр. оз. Хавраздара	дол.	В, ЮВ	2,4	1,3
174	№ 174	пр. оз. Хавраздара	кар.	СВ, В, ЮВ	0,8	0,8
175	№ 175		вис.	ЮЗ	0,7	0,7
176*	Холодная Стена-1	Хавраздара	кар.-дол.	СВ, ЮВ	5,6	4,0
177*	Холодная Стена-2		кар.-дол.	СВ, В	4,2	4,2
178*	Холодная Стена-3		прискл.	СВ	1,6	1,6
179	№ 179		вис. кар.	Ю	0,6	0,6
180	№ 180		кар.	З, ЮЗ	1,1	1,1
181	№ 181	пр. р. Хавраздара	кар.	С3	1,0	1,0
182	№ 182	пр. р. Хавраздара	кар.	С, С3	0,8	0,8
183	№ 183		вис.	С3	0,5	0,5
184	№ 184	пр. р. Хавраздара	вис. кар.	С, С3	1,5	1,5
185	№ 185	пр. р. Хавраздара	вис. кар.	С	1,0	1,0
186	№ 186	пр. р. Хавраздара	кар.	С3	1,0	1,0
187	№ 187	пр. р. Хавраздара	вис.	С	0,3	0,3
188	№ 188	пр. р. Хавраздара	кар.-дол.	С3	2,8	2,8
189	№ 189	пр. р. Хавраздара	кар.-дол.	С3	1,6	1,6
190	№ 190	пр. р. Хавраздара	вис. кар.	С3	1,1	1,1
30 ледников						

Кроме того, в бассейне р. Хавраздара имеется 5 ледников

Итого 35 ледников						
-------------------	--	--	--	--	--	--

Бассейн правого безымянного притока р. Танымас между устьями рек Хавраздара

Восточный склон безымянного хребта

191	№ 191	пр. р. Танымас	прискл.	СВ	1,4	1,4
192	№ 192	пр. р. Танымас	прискл.	СВ, В	1,0	1,0
2 ледника						

Площадь, км ²		Высота, м			Фирновая линия		Площадь области аблации, км ²		Ссылки на последующие таблицы (иллюстрации) № таблиц и иллюстраций порядковые № сведений в таблицах	
всего ледника	в том числе открытой части	найменшая точка конца ледника	найменшая точка открытой части ледника	высшая точка ледника	высота, м	способ определения и дата	общая	в том числе открытой части		Объем льда, км ³
8	9	10	11	12	13	14	15	16	17	18

Бартанг, Пяндж, Амударья, Аральское море)

Язгулемского хребта

1,7	1,7	4240	4240	5200	4720	Кур.	0,8	0,8	0,0598	
0,2	0,2	4600	4600	4900	4750	Кур.	0,1	0,1	0,0024	
0,6	0,6	4800	4800	5400	5030	Кур.	0,3	0,3	0,0125	
1,7	1,7	4000	4000	5200	4070	Кур.	0,9	0,9	0,0598	
1,0	1,0	4140	4140	5400	4910	Кур.	0,4	0,4	0,0270	
4,6	4,6	3760	3760	5840	5120	Кур.	1,8	1,8	0,2664	
0,2	0,2	4600	4600	5200	4910	Кур.	0,1	0,1	0,0024	
0,9	0,9	4500	4500	5500	5130	Кур.	0,4	0,4	0,0231	
0,4	0,4	4460	4460	5150	4820	Кур.	0,2	0,2	0,0068	
2,5	2,5	4120	4120	6120	5040	Кур.	1,4	1,4	0,1067	
13,8	13,8						6,4	6,4	0,5660	

Пяндж, Амударья, Аральское море)

Язгулемского хребта

0,2	0,2	4200	4260	4500	4370	Кур.	0,1	0,1	0,0024	
0,1	0,1	5000	5000	5300	5140	Кур.	—	—	0,0009	
2,3	2,1	4300	4300	5000	4640	Кур.	1,1	0,9	0,0942	
2,7	2,6	4540	4580	5100	4820	Кур.	1,3	1,2	0,1198	
0,4	0,4	4700	4700	5100	4930	Кур.	0,2	0,2	0,0068	
0,1	0,1	4300	4300	4500	4400	Кур.	—	—	0,0009	
0,1	0,1	5080	5080	5330	5220	Кур.	—	—	0,0009	
1,6	1,4	4240	4400	5400	4830	Кур.	0,8	0,6	0,0546	
0,2	0,2	4260	4260	4600	4410	Кур.	0,1	0,1	0,0024	
0,7	0,6	4260	4320	4900	4570	Кур.	0,4	0,3	0,0158	
0,8	0,7	4400	4480	4900	4620	Кур.	0,4	0,3	0,0193	
0,1	0,1	4880	4880	5100	4960	Кур.	—	—	0,0009	
1,0	0,7	4300	4640	5400	4820	Кур.	0,4	0,1	0,0270	
0,2	0,2	4560	4560	4800	4640	Кур.	0,1	0,1	0,0024	
0,2	0,2	4540	4540	4760	4670	Кур.	0,1	0,1	0,0024	
5,2	3,4	4140	4320	5400	4480	Кур.	3,5	1,7	0,3202	
3,1	3,1	4260	4260	5000	4540	Кур.	1,7	1,7	0,1474	
0,8	0,8	4680	4680	5360	4920	Кур.	0,4	0,4	0,0193	
0,2	0,2	5260	5260	5630	5460	Кур.	0,1	0,1	0,0024	
0,2	0,2	4640	4640	5000	4820	Кур.	0,1	0,1	0,0024	
0,6	0,6	4660	4660	5100	4890	Кур.	0,3	0,3	0,0125	
0,2	0,2	4540	4540	4900	4710	Кур.	0,1	0,1	0,0024	
0,1	0,1	4840	4840	5100	4980	Кур.	—	—	0,0009	
0,5	0,5	4640	4640	5200	4940	Кур.	0,2	0,2	0,0095	
0,2	0,2	4600	4600	5200	4900	Кур.	0,1	0,1	0,0024	
0,3	0,3	4600	4600	5000	4820	Кур.	0,2	0,2	0,0044	
0,2	0,2	4620	4620	4850	4750	Кур.	0,1	0,1	0,0024	
1,4	1,4	4560	4560	5240	4840	Кур.	0,8	0,8	0,0447	
0,7	0,7	4540	4540	5100	4740	Кур.	0,4	0,4	0,0158	
0,3	0,3	4500	4500	5100	4770	Кур.	0,1	0,1	0,0044	
24,7	21,9						13,1	10,3	0,9418	

размерами менее 0,1 км² каждый, общей площадью 0,4 км²

25,1										
------	--	--	--	--	--	--	--	--	--	--

и Чабаранг (реки Танымас, Кудара, Бартанг, Пяндж, Амударья, Аральское море)

в междуречье Хавраздары и Танымаса.

0,5	0,5	4300	4300	5100	4700	Кур.	0,3	0,3	0,0095	
0,2	0,2	4460	4460	4900	4680	Кур.	0,1	0,1	0,0024	
0,7	0,7						0,4	0,4	0,0119	

№ по схеме	Название	Название реки, вытекающей из ледника	Морфологический тип	Общая экспозиция	Наибольшая длина, км	
					всего ледника	в том числе в открытой части
1	2	3	4	5	6	7

Бассейн р. Чабаранг (реки Танымас, Кудара,

Восточный склон безымянного хребта

193	№ 193	пр. р. Чабаранг	вис.	СВ	0,5	0,5
194	№ 194	Чабаранг	кар.	СВ	1,8	1,4
195	№ 195	Чабаранг	кар.	СВ, В, ЮВ	1,7	0,9
196*	№ 196	пр. р. Чабаранг	кар.	СВ, В	1,0	0,7
197	№ 197	пр. р. Чабаранг	кар.	Ю	0,6	0,6
198	№ 198	пр. р. Чабаранг	склон.	СВ	0,5	0,5
199*	№ 199	пр. р. Чабаранг	склон.	СЗ	1,0	1,0
200	№ 200	пр. р. Чабаранг	склон.	С	0,6	0,6
	8 ледников					

Кроме того, в бассейне р. Чабаранг имеется 3 ледника

Итого 11 ледников

Бассейн р. Шукорджилга (реки Танымас, Кудара,

Северо-восточный склон безымянного хребта

201	№ 201	пр. р. Шукорджилга	вис.	С	0,3	0,3
202	№ 202	пр. р. Шукорджилга	вис.	С	0,8	0,8
203	№ 203	пр. р. Шукорджилга	вис.	СЗ	1,0	1,0
204*	№ 204	пр. р. Шукорджилга	вис.	СЗ	0,6	0,6
205	№ 205	пр. р. Шукорджилга	склон.	СВ	0,9	0,9
206	№ 206	Шукорджилга	кар.-дол.	СВ, В	1,4	0,6
207	№ 207	пр. р. Шукорджилга	кар.-дол.	С, СВ	2,8	2,5
208	№ 208	пр. р. Шукорджилга	кар.	СВ, В	1,8	1,8
	8 ледников					

Кроме того, в бассейне р. Шукорджилга имеется 2 ледника

Итого 10 ледников

Бассейн правого безымянного притока р. Танымас между устьями рек Шукорджилга

Северный и восточный склоны безымянного хребта

209	№ 209	пр. р. Танымас	вис.	С	0,5	0,5
210	№ 210	пр. р. Танымас	вис.	С	0,9	0,9
211	№ 211	пр. р. Танымас	кар.-вис.	СВ	0,9	0,9
	3 ледника					

Бассейн р. Каиндыджилга (реки Танымас, Кудара,

Северный и восточный склоны безымянного хребта

212	№ 212	пр. р. Каиндыджилга	вис.	С	0,8	0,8
213	№ 213	пр. р. Каиндыджилга	вис.	С	0,6	0,6
214	№ 214	пр. р. Каиндыджилга	вис.	С	0,9	0,9
215	№ 215	Каиндыджилга	асимм. кар.	СВ	0,9	0,9
216	№ 216	пр. р. Каиндыджилга	асимм. кар.	СВ	1,0	1,0
217	№ 217	пр. р. Каиндыджилга	кар.-вис.	СВ	1,0	1,0
	6 ледников					

Кроме того, в бассейне р. Каиндыджилга

Итого 7 ледников

Бассейны правых безымянных притоков р. Танымас между устьем р. Каиндыджилга и долиной

Западный и северный склоны безымянного хребта

218	№ 218	пр. р. Танымас	вис.	С	0,8	0,8
219	№ 219	пр. р. Танымас	вис. кар.	С	1,3	1,3
220	№ 220	пр. р. Танымас	вис.	СЗ	0,9	0,9
221	№ 221	пр. р. Танымас	асимм. кар.	СЗ	0,9	0,9

Площадь, км ²		Высота, м				Фирновая линия		Площадь области аблации, км ²		Объем льда, км ³ Ссылки на последующие таблицы (иллюстрации) № таблиц и иллюстраций порядковые № следений в таблицах
всего ледника	в том числе открытой части	низшей точки конца ледника	низшей точки открытым ледника	высшей точки ледника	высота, м	способ определения и дата	общая	в том числе открытой части	в том числе открытой части	
8	9	10	11	12	13	14	15	16	17	18

Бартанг, Пяндж, Амударья, Аральское море)

в междуречье Хавраздары и Танымаса.

0,1	0,1	4400	4400	4700	4570	Кур.	—	—	0,0009	
1,2	0,9	4300	4400	5050	4630	Кур.	0,7	0,4	0,0355	
0,6	0,4	4540	4680	5000	4750	Кур.	0,4	0,2	0,0125	
0,2	0,2	4500	4600	4900	4730	Кур.	0,1	0,1	0,0024	
0,1	0,1	4620	4620	4900	4710	Кур.	—	—	0,0009	
0,1	0,1	4680	4680	4900	4780	Кур.	—	—	0,0009	
0,3	0,3	4620	4620	5000	4770	Кур.	0,1	0,1	0,0044	
0,2	0,2	4620	4620	5000	4810	Кур.	0,1	0,1	0,0024	
2,8	2,3						1,4	0,9	0,0599	

размерами менее 0,1 км² каждый, общей площадью 0,2 км²

3,0										
-----	--	--	--	--	--	--	--	--	--	--

Бартанг, Пяндж, Амударья, Аральское море)

в междуречье Хавраздары и Танымаса.

0,1	0,1	4700	4700	4900	4780	Кур.	—	—	0,0009	
0,2	0,2	4540	4540	4900	4700	Кур.	0,1	0,1	0,0024	
0,3	0,3	4400	4400	4900	4680	Кур.	0,1	0,1	0,0044	
0,3	0,3	4500	4500	4800	4660	Кур.	0,1	0,1	0,0044	
0,3	0,3	4540	4540	5000	4740	Кур.	0,1	0,1	0,0044	
0,5	0,3	4600	4700	5200	4870	Кур.	0,3	0,1	0,0095	
2,0	1,7	4380	4420	5200	4700	Кур.	1,1	0,8	0,0764	
0,8	0,8	4700	4700	5300	5000	Кур.	0,5	0,5	0,0193	
4,5	4,0						2,3	1,8	0,1217	

размерами менее 0,1 км², каждый общей площадью 0,13 км²

4,6										
-----	--	--	--	--	--	--	--	--	--	--

и Каиндыджилга (реки Танымас, Кудара, Бартанг, Пяндж, Амударья, Аральское море)

в междуречье Хавраздары и Танымаса.

0,1	0,1	4460	4460	4700	4570	Кур.	—	—	0,0009	
0,4	0,4	4400	4400	4930	4690	Кур.	0,2	0,2	0,0068	
0,3	0,3	4660	4660	4980	4860	Кур.	0,1	0,1	0,0044	
0,8	0,8						0,3	0,3	0,0121	

Бартанг, Пяндж, Амударья, Аральское море)

в междуречье Хавраздары и Танымаса.

0,4	0,4	4400	4400	5060	4800	Кур.	0,2	0,2	0,0068	
0,1	0,1	4620	4620	4900	4780	Кур.	—	—	0,0009	
0,4	0,4	4540	4540	5000	4760	Кур.	0,2	0,2	0,0068	
0,4	0,4	4680	4680	5100	4880	Кур.	0,2	0,2	0,0068	
0,3	0,3	4820	4820	5400	5060	Кур.	0,2	0,2	0,0044	
0,3	0,3	4600	4600	5190	4820	Кур.	0,2	0,2	0,0044	
1,9	1,9						1,0	1,0	0,0301	

имеется 1 ледник площадью 0,08 км²

2,0										
-----	--	--	--	--	--	--	--	--	--	--

ледника Грумм-Гржимайло (реки Танымас, Кудара, Бартанг, Пяндж, Амударья, Аральское море)

в междуречье Хавраздары и Танымаса.

0,2	0,2	4600	4600	5000	4800	Кур.	0,1	0,1	0,0024	
0,5	0,5	4600	4600	5100	4810	Кур.	0,2	0,2	0,0095	
0,2	0,2	4600	4600	5000	4830	Кур.	0,1	0,1	0,0024	
0,2	0,2	4640	4640	5000	4790	Кур.	0,1	0,1	0,0024	

№ по схеме	Название	Название реки, вытекающей из ледника	Морфологический тип	Общая экспозиция	Наибольшая длина, км	
					всего ледника	в том числе открытой части
1	2	3	4	5	6	7
222	№ 222		кул.	C3	0,7	0,7
223	№ 223	пр. р. Танымас	кар.-дол.	C	2,6	2,6
224	№ 224	пр. р. Танымас	кар.-дол.	CB, C	1,9	1,9
225	№ 225	пр. р. Танымас	кар.-дол.	CB, B	1,7	1,7
226	№ 226	пр. р. Танымас	кар.-дол.	CB, C	2,0	2,0
227	№ 227	пр. р. Танымас	вис.	CB	0,8	0,8
228	№ 228	пр. р. Танымас	вис.	C	1,0	1,0
229	№ 229	пр. р. Танымас	вис.	C3	1,0	1,0
230	№ 230	пр. р. Танымас	кар.-дол.	CB, C	3,2	3,2
231	№ 231	пр. р. Танымас	вис. кар.	CB, B	1,4	1,4
232	№ 232	пр. р. Танымас	кар.-дол.	C, CB	3,7	2,8
233	№ 233		вис.	CB	0,4	0,4
234	№ 234		кар.	CB	0,9	0,9
235	№ 235	пр. р. Танымас	вис.	C	0,4	0,4
236	№ 236	пр. р. Танымас	кар.	CB	1,1	1,1
19 ледников						

Кроме того, в бассейнах правых безымянных притоков р. Танымас имеется

Итого 22 ледника

Бассейн верховьев р. Танымас от долины ледника Грумм-Гржимайло

Западный и северо-западный склоны Язгулемского хребта, восточные склоны горного массива ледникового узла

Бассейн системы ледника

237	Грумм-Гржимайло (Музкулак)	пр. р. Танымас	дендр.	CB, C, C3, B	37,0	37,0
238	№ 238		дол.	C3	5,1	5,1
239	№ 239		дол.	CB, C, C3	6,5	6,5
240	№ 240		кар.-дол.	C	4,4	4,4
241	№ 241		дол.	ЮВ	2,5	2,5
242	№ 242		дол.	ЮВ	1,5	1,5
243	№ 243		сл. дол.	Ю	2,3	2,3
244	№ 244		дол.	Ю, ЮВ	3,3	3,3
245	№ 245		дол.	ЮВ, В	2,8	2,8
246	Верхний Музкулак		сл. дол.	CB	13,4	13,4
247	№ 247		дол.	ЮВ	5,3	5,3
248	№ 248		дол.	B	3,8	3,2
249	Малый Музкулак		дол.	B	9,2	9,2
250	Нижний Музкулак		сл. дол.	B, CB	5,7	4,2
251	№ 251		дол.	ЮВ	2,0	2,0

Общая площадь дендритового ледника Грумм-Гржимайло с притоками

252	№ 252		вис.	3	0,8	0,8
253	№ 253		вис.	C	1,4	1,4
254	№ 254		кар.-дол.	C3, 3	1,8	1,8
255	№ 255		вис.	3	0,6	0,6
256	№ 256		вис.	3	1,0	1,0
257	№ 257		вис.	3	0,7	0,7
258	№ 258		кул.	3	1,4	1,4
259	№ 259		вис. дол.	ЮВ	1,2	1,2
260	№ 260		вис.	Ю	0,7	0,7
261	№ 261		вис. дол.	ЮВ	1,5	1,5
262	№ 262		вис. дол.	ЮВ	1,8	1,8
263	№ 263		кар.	B	1,5	1,5
264	№ 264		вис.	ЮЗ	0,5	0,5
265	№ 265		вис.	Ю	0,5	0,5
266	№ 266		вис.	ЮЗ	0,7	0,7
267	№ 267		вис. кар.	Ю	1,1	1,1
268	№ 268		вис. кар.	ЮВ	1,5	1,5
269	№ 269		кар.-вис.	CB	1,7	1,7

Площадь, км ²		Высота, м			Фирновая линия		Площадь области аблации, км ²		Ссылки на последующие таблицы (илюстрации) № таблиц и иллюстраций порядковые № сведений в таблицах
всего ледника	в том числе открытой части	нижней точки конца ледника	нижней точки открытой части ледника	высшей точки ледника	высота, м	способ определения и дата	общая	в том числе открытой части	
8	9	10	11	12	13	14	15	16	
0,1	0,1	4600	4600	5100	4850	Кур.	—	—	0,0009
1,9	1,9	4380	4380	5240	4840	Кур.	0,9	0,9	0,0707
1,4	1,4	4550	4550	5200	4840	Кур.	0,7	0,7	0,0447
0,9	0,9	4560	4560	5100	4820	Кур.	0,4	0,4	0,0231
1,1	1,1	4440	4440	5100	4720	Кур.	0,6	0,6	0,0311
0,2	0,2	4740	4740	5100	4940	Кур.	0,1	0,1	0,0024
0,3	0,3	4600	4600	5100	4850	Кур.	0,2	0,2	0,0044
0,2	0,2	4600	4600	5100	4850	Кур.	0,1	0,1	0,0024
2,5	2,5	4360	4360	5070	4690	Кур.	1,3	1,3	0,1067
0,5	0,5	4500	4500	4900	4720	Кур.	0,2	0,2	0,0095
2,0	1,9	4200	4480	5100	4730	Кур.	0,9	0,8	0,0764
0,4	0,4	5300	5300	5630	5470	Кур.	0,2	0,2	0,0068
0,4	0,4	4800	4800	5400	5120	Кур.	0,2	0,2	0,0068
0,1	0,1	5000	5000	5300	5150	Кур.	—	—	0,0009
0,7	0,7	4860	4860	5600	5260	Кур.	0,3	0,3	0,0158
13,8	13,7						6,6	6,5	0,4193

3 ледника размерами менее 0,1 км² каждый, общей площадью 0,23 км²

14,0									
------	--	--	--	--	--	--	--	--	--

и выше (реки Кудара, Бартанг, Пяндж, Амударья, Аральское море)

Федченко и хр. Высокая Стена, южный и северный склоны хр. Араб, южный склон хр. Северный Танымас

Грумм-Гржимайло

81,9	78,2	3610	3610	6900	5080	Кур.	38,2	34,5	19,8000	IV/1—6, 9, V/3, 4, 8—12, 17, 20; рис. 5
3,7	3,7	4740	4740	6000	5340	Кур.	1,8	1,8	0,1922	
11,1	11,1	4800	4800	6100	5360	Кур.	5,1	5,1	0,9985	
5,2	5,2	4890	4890	6000	5330	Кур.	2,8	2,8	0,3202	
0,9	0,9	5180	5180	6000	5400	Кур.	0,6	0,6	0,0231	
0,4	0,4	5100	5100	5500	5300	Кур.	0,2	0,2	0,0068	
1,2	1,2	5000	5000	5700	5250	Кур.	0,7	0,7	0,0355	
1,4	1,4	4880	4880	5600	5150	Кур.	0,8	0,8	0,0447	
1,3	1,3	4660	4660	5300	4880	Кур.	0,6	0,6	0,0400	
17,8	16,2	4400	4400	6300	5170	Кур.	8,3	6,7	2,0277	
5,3	5,3	4920	4920	5900	5330	Кур.	3,0	3,0	0,3294	
1,4	1,3	4630	4690	5500	4980	Кур.	0,8	0,7	0,0447	
8,3	8,0	4400	4400	6200	5260	Кур.	4,2	3,9	0,6456	
2,2	1,7	4320	4500	5700	4960	Кур.	1,0	0,5	0,0881	
0,8	0,8	5000	5000	5800	5440	Кур.	0,4	0,4	0,0193	

равна 142,9 км², из них 6,2 км² закрыто моренами

0,2	0,2	5140	5140	5500	5340	Кур.	0,1	0,1	0,0024	
0,5	0,5	4600	4600	5300	4910	Кур.	0,2	0,2	0,0095	
0,9	0,9	4600	4600	5770	5360	Кур.	0,4	0,4	0,0231	
0,1	0,1	4900	4900	5300	5110	Кур.	—	—	0,0009	
0,3	0,3	5000	5000	5500	5230	Кур.	0,1	0,1	0,0044	
0,1	0,1	5700	5700	6000	5850	Кур.	—	—	0,0009	
0,3	0,3	5000	5000	5700	5380	Кур.	0,1	0,1	0,0044	
0,3	0,3	5000	5000	5700	5360	Кур.	0,1	0,1	0,0044	
0,1	0,1	5400	5400	5800	5600	Кур.	—	—	0,0009	
0,4	0,4	4960	4960	5800	5410	Кур.	0,2	0,2	0,0068	
0,4	0,4	4800	4800	5300	5050	Кур.	0,2	0,2	0,0068	
0,5	0,5	4560	4560	5300	4920	Кур.	0,2	0,2	0,0095	
0,1	0,1	5600	5600	6000	5850	Кур.	—	—	0,0009	
0,1	0,1	5700	5700	5900	5800	Кур.	—	—	0,0009	
0,2	0,2	5300	5300	5800	5600	Кур.	0,1	0,1	0,0024	
0,3	0,3	5200	5200	5800	5480	Кур.	0,2	0,2	0,0044	
0,6	0,6	5100	5100	5900	5490	Кур.	0,3	0,3	0,0125	
0,6	0,6	4500	4500	5600	5060	Кур.	0,3	0,3	0,0125	

№ по схеме	Название	Название реки, вытекающей из ледника	Морфологический тип	Общая экспозиция	Наибольшая длина, км	
					всего ледника	в том числе открытой части
1	2	3	4	5	6	7
270	№ 270				0,6	0,6
271	№ 271				2,4	2,4
272	№ 272				1,1	1,1
	36 ледников					
	Кроме того, в бассейне системы ледника Грумм-Гржимайло имеется					
	Итого 40 ледников					
273*	Танымас-2	пр. р. Танымас	сл. дол.	СВ, В	15,6	15,6
274*	№ 274		дол.	Ю, ЮВ	2,2	2,2
275*	№ 275		дол.	Ю, В, ЮВ	2,0	2,0
276	№ 276		вис.	СЗ	0,5	0,5
277	№ 277		вис.	Ю	0,6	0,6
278	№ 278		кул.	ЮВ	1,4	1,4
279	№ 279		кул.	ЮВ	0,8	0,8
280	№ 280		кул.	В	0,6	0,6
281	№ 281		кар.	С, СВ	1,5	1,5
282*	Танымас-3	пр. р. Танымас	сл. дол.	СВ, В	13,2	12,8
283*	№ 283	пр. р. Танымас	дол.	В	3,2	3,2
284	№ 284		вис. кар.	С	2,6	2,6
285	№ 285		кар.-дол.	СЗ	2,1	2,1
286	№ 286		кул.	З	1,1	1,1
287	№ 287		кул.	СЗ	0,9	0,9
288	№ 288		вис.	С	0,3	0,3
289	№ 289		кар.-вис.	ЮВ	1,0	1,0
290	№ 290		вис.	ЮВ	0,5	0,5
291	№ 291		кар.	С	1,5	1,5
292	№ 292		дол.	С	2,6	2,6
293*	Астрономический		дол.	СВ	4,3	4,3
294	№ 294		кар.-дол.	С	2,0	2,0
295*	Танымас — 5	пр. р. Танымас	вис. дол.	СВ	5,1	5,1
296	№ 296		дол.	СВ, С	3,0	3,0
297	№ 297		склон.	С	1,5	1,5
298*	Танымасский Лоскут	Танымас	перем.	В	2,4	2,4
299	№ 299		кар.-вис.	Ю	1,0	1,0
300	№ 300		кар.-вис.	Ю	1,1	1,1
301	№ 301		кар.-вис.	Ю	0,7	0,7
302	№ 302		кар.-вис.	Ю	0,5	0,5
303	№ 303		вис.	ЮВ	0,3	0,3
304	№ 304		кар.-дол.	В, ЮВ	2,0	2,0
305	№ 305		вис.	ЮВ	0,5	0,5
306	№ 306		вис.	ЮВ	0,4	0,4
307	№ 307		вис.	Ю	0,7	0,7
308	№ 308		вис.	Ю	0,7	0,7
	36 ледников					
	Кроме того, в бассейне верховьев р. Танымас выше языка ледника Грумм-Гржимайло					
	Итого 44 ледника					
	Бассейн ледника					
309*	Северный Танымас	пр. р. Танымас	дендр.	В, ЮВ, Ю	18,0	16,8
310*	№ 310		сл. дол.	СВ, В	3,8	3,8
311	№ 311		кар.	В	0,4	0,4
312	№ 312		кар.	СВ	0,7	0,7
313	№ 313		вис.	Ю	0,4	0,4
314	№ 314		вис.	ЮВ	0,7	0,7
315	№ 315		вис.	ЮЗ	0,5	0,5
316	№ 316		вис.	ЮВ	0,4	0,4
317	№ 317		кар.-дол.	ЮЗ	3,3	3,3
318	№ 318		вис.	СЗ	0,8	0,8
319	№ 319		вис. кар.	Ю	3,3	3,3

Площадь, км ²		Высота, м			Фирновая линия		Площадь области аблации, км ²		Ссылки на последующие таблицы (иллюстрации) № таблиц и иллюстраций порядковые № сведений в таблицах
всего ледника	в том числе открытой части	низшей точки конца ледника	низшей точки открытой части ледника	высшей точки ледника	высота, м	способ определения и дата	общая	в том числе открытой части	
8	9	10	11	12	13	14	15	16	
0,2	0,2	5300	5300	5700	5560	Кур.	0,1	0,1	0,0024
1,0	1,0	4500	4500	5600	5060	Кур.	0,5	0,5	0,0270
0,4	0,4	4600	4600	5200	4910	Кур.	0,2	0,2	0,0068
150,5	144,3						71,8	65,6	24,7596

4 ледника размерами менее 0,1 км² каждый, общей площадью 0,28 км²

150,8									
16,6	16,6	3900	3900	6200	5140	Кур.	7,0	7,0	1,8261
1,6	1,6	5100	5100	5800	5400	Кур.	0,8	0,8	0,0546
1,0	1,0	4890	4890	5700	5160	Кур.	0,6	0,6	0,0270
0,1	0,1	5200	5200	5500	5380	Кур.	—	—	0,0009
0,2	0,2	5400	5400	5680	5540	Кур.	0,1	0,1	0,0024
0,4	0,4	4900	4900	5680	5330	Кур.	0,2	0,2	0,0068
0,1	0,1	4900	4900	5500	5170	Кур.	—	—	0,0009
0,1	0,1	4900	4900	5300	5100	Кур.	—	—	0,0009
0,6	0,6	4540	4540	5040	4760	Кур.	0,3	0,3	0,0125
12,8	11,7	4120	4160	5900	4780	Кур.	5,5	4,4	1,2365
2,0	2,0	4900	4900	5700	5200	Кур.	1,1	1,1	0,0764
1,5	1,5	4580	4580	5500	4910	Кур.	0,8	0,8	0,0496
0,8	0,8	4540	4540	5600	5040	Кур.	0,4	0,4	0,0193
0,2	0,2	4900	4900	5500	5210	Кур.	0,1	0,1	0,0024
0,3	0,3	4850	4850	5540	5210	Кур.	0,1	0,1	0,0044
0,1	0,1	6000	6000	6300	6130	Кур.	—	—	0,0009
0,3	0,3	4940	4940	5440	5210	Кур.	0,2	0,2	0,0044
0,1	0,1	5100	5100	5400	5240	Кур.	—	—	0,0009
0,7	0,7	4500	4500	5000	4640	Кур.	0,4	0,4	0,0158
0,6	0,6	4400	4400	5400	4840	Кур.	0,3	0,3	0,0125
2,6	2,6	4400	4400	5500	4880	Кур.	1,4	1,4	0,1132
1,0	1,0	4540	4540	5280	4800	Кур.	0,6	0,6	0,0270
4,6	4,6	4500	4500	5680	4860	Кур.	2,6	2,6	0,2664
0,9	0,9	4500	4500	5470	4990	Кур.	0,4	0,4	0,0231
1,0	1,0	4540	4540	5200	4780	Кур.	0,5	0,5	0,0270
3,4	3,4	4500	4500	4700	—	Кур.	—	—	0,1693
0,3	0,3	4800	4800	5300	5080	Кур.	0,2	0,2	0,0044
0,4	0,4	4740	4740	5300	5090	Кур.	0,2	0,2	0,0068
0,2	0,2	5100	5100	5560	5380	Кур.	0,1	0,1	0,0024
0,1	0,1	5100	5100	5500	5300	Кур.	—	—	0,0009
0,1	0,1	5200	5200	5470	5360	Кур.	—	—	0,0009
1,1	1,1	4500	4500	5475	5040	Кур.	0,6	0,6	0,0311
0,1	0,1	5040	5040	5300	5160	Кур.	—	—	0,0009
0,1	0,1	5200	5200	5480	5400	Кур.	—	—	0,0009
0,2	0,2	5100	5100	5600	5380	Кур.	0,1	0,1	0,0024
0,2	0,2	5100	5100	5500	5360	Кур.	0,1	0,1	0,0024
56,4	55,3						24,7	23,6	4,0352

имеется 8 ледников размерами менее 0,1 км² каждый, общей площадью 0,37 км²

56,8									
------	--	--	--	--	--	--	--	--	--

Северный Танымас

49,5	48,3	3720	3790	5720	4900	Кур.	25,3	24,1	9,4031	IV/1, 4, 9; V/2, 3, 10—12 15, 20; рис. 6
5,5	5,5	4100	4100	5500	4970	Кур.	2,3	2,3	0,3483	
0,1	0,1	4900	4900	5100	4990	Кур.	—	—	0,0009	
0,3	0,3	4600	4600	5140	4900	Кур.	0,1	0,1	0,0044	
0,1	0,1	5120	5120	5400	5290	Кур.	—	—	0,0009	
0,4	0,4	4900	4900	5340	5180	Кур.	0,2	0,2	0,0068	
0,1	0,1	5040	5040	5320	5200	Кур.	—	—	0,0009	
0,2	0,2	5200	5200	5440	5380	Кур.	0,1	0,1	0,0024	
1,6	1,6	4540	4540	5400	4970	Кур.	0,7	0,7	0,0546	
0,2	0,2	4680	4680	5160	4920	Кур.	0,1	0,1	0,0024	
3,5	3,5	4600	4600	5300	4960	Кур.	1,9	1,9	0,1768	

№ по схеме	Название	Название реки, вытекающей из ледника	Морфологический тип	Общая экспозиция	Наибольшая длина, км	
					всего ледника	в том числе откатной части
1	2	3	4	5	6	7
320	№ 320				2,2	2,2
321	№ 321				0,7	0,7
322	№ 322				4,4	4,4
	14 ледников					

Кроме того, в бассейне ледника Северный Танымас имеется 2 ледника

Итого 16 ледников

Всего в бассейне верховьев р. Танымас от долины ледника Грумм-Гржимайло и выше имеется 100 ледников общей

Бассейн р. Ташджилга (реки Танымас, Кудара,

Западный склон отрога и южный

323	№ 323		вис.	B	0,5	0,5
324	№ 324		вис.	3	0,6	0,6
	2 ледника					

Бассейн р. Яманджилга (реки Танымас, Кудара,

Восточный склон отрога и южный склон

325	№ 325	пр. р. Яманджилга	склон.	СВ	1,0	1,0
326	№ 326		вис. кар.	СВ	2,3	2,3
327	№ 327	пр. р. Яманджилга	вис.	СВ	0,3	0,3
328	№ 328	пр. р. Яманджилга	вис. кар.	СВ	2,5	2,5
329	№ 329	пр. р. Яманджилга	кар.	СВ	1,3	1,3
330*	Яманджилга	Яманджилга	кар.-дол.	ЮВ, СВ, В, ЮВ	5,1	5,1
331	№ 331	пр. р. Яманджилга	вис. кар.	В, ЮВ	1,5	1,5
332	№ 332	пр. р. Яманджилга	кар.	3	1,8	1,8
333	№ 333	пр. р. Яманджилга	кул.	3	0,8	0,8
334	№ 334	пр. р. Яманджилга	кул.	3	0,5	0,5
335	№ 335	пр. р. Яманджилга	склон.	СЗ	1,2	1,2
	11 ледников					

Бассейн р. Кирчинджилга (реки Танымас, Кудара,

Восточный склон отрога и южный склон

336	№ 336	пр. р. Кирчинджилга	ассим. кар.	B	0,9	0,9
337	№ 337	пр. р. Кирчинджилга	вис.	B	0,4	0,4
338	№ 338	пр. р. Кирчинджилга	кар.	B	1,4	1,4
339	№ 339	пр. р. Кирчинджилга	кар.-дол.	СВ, В, ЮВ, Ю	3,1	3,1
340	№ 340		котл.	ЮВ	0,9	0,9
341	№ 341	пр. р. Кирчинджилга	вис.	3	0,8	0,8
342	№ 342	Кирчинджилга	кар.-дол.	СВ, ЮВ, ЮЗ, Ю	3,2	3,2
343	№ 343	пр. р. Кирчинджилга	ассимм. кар.	СЗ	0,5	0,5
344	№ 344	пр. р. Кирчинджилга	ассимм. кар.	СЗ	1,4	1,4
345	№ 345	пр. р. Кирчинджилга	кар.-дол.	С	1,6	1,6
346	№ 346		вис.	3	0,4	0,4
347	№ 347	пр. р. Кирчинджилга	вис.	СЗ	0,4	0,4
	12 ледников					

Бассейн р. Янгидаван (реки Танымас, Кудара,

Восточный склон отрога и южный

348	№ 348	пр. р. Янгидаван	прискл. кар.	СВ	0,8	0,8
349	№ 349	Янгидаван	кул.	В	0,9	0,9
350	№ 350	пр. р. Янгидаван	кар.-дол.	СВ, В, ЮВ	0,9	0,9
	3 ледника					

Площадь, км ²		Высота, м			Фирновая линия		Площадь области аблации, км ²		Объем льда, км ³ Ссылки на последующие таблицы (илюстрации) № таблиц и иллюстраций порядковые № сведений в таблицах	
всего ледника	в том числе открытой части	нижней точки конца ледника	нижней точки открытой части ледника	высшей точки ледника	высота, м	способ определения и дата	общая	в том числе открытой части		
8	9	10	11	12	13	14	15	16	17	18
1,4	1,4	4900	4900	5160	5030	Кур.	0,7	0,7	0,0447	
1,4	1,4	4700	4700	5160	4870	Кур.	0,8	0,8	0,0447	
7,2	7,2	4540	4540	5560	5020	Кур.	3,7	3,7	0,5216	
71,5	70,3						35,9	34,7	10,6125	

размерами менее 0,1 км² каждый, общей площадью 0,15 км²

площадью 279,2 км² (из них 8,5 км² закрыто мореной), в том числе 14 ледников размерами 0,1 км² каждый, общей площадью 0,8 км²

Бартанг, Пяндж, Амударья, Аральское море)

склон хр. Северный Танымас

0,2	0,2	5040	5040	5400	5190	Кур.	0,1	0,1	0,0024	
0,1	0,1	5000	5000	5300	5140	Кур.	—	—	0,0009	
0,3	0,3						0,1	0,1	0,0033	

Бартанг, Пяндж, Амударья, Аральское море)

хр. Северный Танымас, западный склон его отрога

0,5	0,5	4700	4700	5320	4980	Кур.	0,2	0,2	0,0095	
1,4	1,4	4400	4400	5400	4880	Кур.	0,8	0,8	0,0447	
0,1	0,1	5100	5100	5300	5210	Кур.	—	—	0,0009	
1,3	1,3	4500	4500	5500	4960	Кур.	0,7	0,7	0,0400	
0,9	0,9	4700	4700	5300	5040	Кур.	0,4	0,4	0,0231	
4,4	4,4	4560	4560	5500	5040	Кур.	1,7	1,7	0,2492	
1,1	1,1	4700	4700	5200	4970	Кур.	0,5	0,5	0,0311	
1,0	1,0	4750	4750	5300	5040	Кур.	0,5	0,5	0,0270	
0,1	0,1	5000	5000	5440	5200	Кур.	—	—	0,0009	
0,1	0,1	5200	5200	5400	5300	Кур.	—	—	0,0009	
0,4	0,4	4600	4600	5180	4960	Кур.	0,2	0,2	0,0068	
11,3	11,3						5,0	5,0	0,4341	

Бартанг, Пяндж, Амударья, Аральское море)

хр. Северный Танымас, западный склон его отрога

0,3	0,3	4840	4840	5400	5120	Кур.	0,1	0,1	0,0044	
0,1	0,1	5200	5200	5400	5310	Кур.	—	—	0,0009	
0,7	0,7	4700	4700	5440	5070	Кур.	0,4	0,4	0,0158	
1,4	1,4	4700	4700	5400	4980	Кур.	0,6	0,6	0,0447	
0,3	0,3	5100	5100	5200	5150	Кур.	0,2	0,2	0,0044	
0,6	0,6	4800	4800	5300	5090	Кур.	0,3	0,3	0,0125	
1,8	1,8	4800	4800	5300	5110	Кур.	0,8	0,8	0,0652	
0,1	0,1	5100	5100	5280	5180	Кур.	—	—	0,0009	
1,0	1,0	4800	4800	5260	5030	Кур.	0,5	0,5	0,0270	
0,6	0,6	4560	4560	5200	4950	Кур.	0,3	0,3	0,0125	
0,1	0,1	5040	5040	5260	5190	Кур.	—	—	0,0009	
0,1	0,1	4960	4960	5200	5090	Кур.	—	—	0,0009	
7,1	7,1						3,2	3,2	0,1901	

Бартанг, Пяндж, Амударья, Аральское море)

склон хр. Северный Танымас

0,3	0,3	4700	4700	5180	5010	Кур.	0,1	0,1	0,0044	
0,2	0,2	4700	4700	5300	5020	Кур.	0,1	0,1	0,0024	
0,7	0,7	4780	4780	5340	5080	Кур.	0,3	0,3	0,0158	
1,2	1,2						0,5	0,5	0,0226	

№ по схеме	Название	Название реки, вытекающей из ледника	Морфологический тип	Общая экспозиция	Наибольшая длина, км	
					всего ледника	в том числе открытой части
1	2	3	4	5	6	7

Бассейн р. Кокджар (реки Танымас, Кудара,

Южный склон

351	№ 351	пр. р. Тахтакорум	прискл. кар.	СВ	0,6	0,6
352	№ 352	пр. р. Тахтакорум	кар.	СВ	1,1	1,1
353	№ 353	Тахтакорум	кар.	СВ	0,6	0,6
354	№ 354	Тахтакорум	асимм. кар.	СВ	1,0	1,0
355	№ 355	пр. р. Тахтакорум	вис.	3	0,5	0,5
356	№ 356		вис.	С3	0,6	0,6
357	№ 357	пр. р. Тахтакорум	кар.-дол.	С3	1,3	1,3
358	№ 358	пр. р. Тахтакорум	вис.	С3	0,3	0,3
359	№ 359	пр. р. Тахтакорум	кар.	СВ	1,0	1,0
360	№ 360	пр. р. Шуралысу	кар.	СВ	1,1	1,1
361	№ 361	пр. р. Шуралысу	вис.	СВ	0,6	0,6
362	№ 362	пр. р. Шуралысу	вис.	СВ	0,3	0,3
363	№ 363	пр. р. Шуралысу	кар.	СВ	0,7	0,7
364	№ 364	пр. р. Шуралысу	склон.	СВ	0,5	0,5
365	№ 365	пр. р. Шуралысу	кар.	СВ	0,9	0,9
366	№ 366	пр. р. Шуралысу	вис.	СВ	0,6	0,6
367	№ 367	пр. р. Шуралысу	кар.	СВ	0,9	0,9
368	№ 368	пр. р. Шуралысу	кар.	С	0,9	0,9
369	№ 369	пр. р. Шуралысу	вис.	СВ	0,3	0,3
370	№ 370	Шуралысу	кар.	ЮВ	0,6	0,6
371	№ 371	пр. р. Шуралысу	кар.	С3	0,7	0,7
372	№ 372	пр. р. Шуралысу	кар.	С	0,5	0,5
373	№ 373	Кальтатур	кар.	С	0,8	0,8
374	№ 374	пр. р. Кальтатур	вис.	С	0,4	0,4
375	№ 375	пр. р. Кальтатур	вис.	С	0,4	0,4
	25 ледников					

Кроме того, в бассейне р. Кокджар имеется 4 ледника

Итого 29 ледников

Бассейн левого безымянного притока р. Танымас между устьями рек Кокджар

Западный склон гор

376	№ 376	пр. р. Танымас	вис.	С3	0,5	0,5
-----	-------	----------------	------	----	-----	-----

Бассейн р. Кызылтукой (реки Танымас, Кудара,

Северо-восточный и северный склоны хребта

377	№ 377	пр. р. Кызылтукой	кул.	С	0,6	0,6
378	№ 378	пр. р. Кызылтукой	кар.	С3	1,5	1,5
379	№ 379	Кызылтукой	кар.-дол.	СВ, С	2,4	2,4
380	№ 380	Кызылтукой	кар.	СВ	1,4	1,4
381	№ 381	пр. р. Кызылтукой	кар.	СВ	1,1	1,1
	5 ледников					

Бассейн р. Дамаматсай (реки Танымас, Кудара,

Северный склон хребта в междуречье

382	№ 382	Дамаматсай	кар.-дол.	СВ	2,7	2,5
383	№ 383	пр. р. Дамаматсай	кар.-дол.	С	1,5	1,5
	2 ледника					

Кроме того, в бассейне р. Дамаматсай имеются 2 ледника

Итого 4 ледника

Площадь, км ²		Высота, м			Фирновая линия		Площадь области аблации, км ²		Объем льда, км ³ Ссылки на последующие таблицы (илюстрации) № таблиц и иллюстраций порядковые № сведений в таблицах	
всего ледника	в том числе открытой части	найменшей точки конца ледника	найменшей точки открытой части ледника	наибольшей точки ледника	высота, м	способ определения и дата	общая	в том числе открытой части		
8	9	10	11	12	13	14	15	16	17	18

Бартанг, Пяндж, Амударья, Аральское море)

хр. Северный Танымас

0,2	0,2	4500	4500	4800	4670	Кур.	0,1	0,1	0,0024	
0,4	0,4	4660	4660	5140	4860	Кур.	0,2	0,2	0,0068	
0,1	0,1	4640	4640	5000	4830	Кур.	—	—	0,0009	
0,3	0,3	4660	4660	5400	4970	Кур.	0,1	0,1	0,0044	
0,1	0,1	5100	5100	5400	5240	Кур.	—	—	0,0009	
0,2	0,2	5000	5000	5420	5210	Кур.	0,1	0,1	0,0024	
0,4	0,4	4620	4620	5200	4950	Кур.	0,2	0,2	0,0068	
0,1	0,1	5000	5000	5200	5130	Кур.	—	—	0,0009	
0,3	0,3	4800	4800	5300	5040	Кур.	0,1	0,1	0,0044	
0,4	0,4	4520	4520	5100	4750	Кур.	0,2	0,2	0,0068	
0,2	0,2	4800	4800	5100	4910	Кур.	0,1	0,1	0,0024	
0,1	0,1	5000	5000	5240	5160	Кур.	—	—	0,0009	
0,2	0,2	4840	4840	5200	5000	Кур.	0,1	0,1	0,0024	
0,1	0,1	4940	4940	5300	5120	Кур.	—	—	0,0009	
0,2	0,2	4800	4800	5200	4970	Кур.	0,1	0,1	0,0024	
0,4	0,4	4700	4700	5100	4890	Кур.	0,2	0,2	0,0068	
0,3	0,3	4660	4660	5190	4930	Кур.	0,1	0,1	0,0044	
0,4	0,4	4640	4640	5190	4930	Кур.	0,2	0,2	0,0068	
0,1	0,1	4920	4920	5200	5070	Кур.	—	—	0,0009	
0,2	0,2	4920	4920	5100	4970	Кур.	0,1	0,1	0,0024	
0,2	0,2	5020	5020	5320	5170	Кур.	0,1	0,1	0,0024	
0,2	0,2	4740	4740	5000	4880	Кур.	0,1	0,1	0,0024	
0,3	0,3	4720	4720	5100	4930	Кур.	0,1	0,1	0,0044	
0,1	0,1	4900	4900	5140	5030	Кур.	—	—	0,0009	
0,1	0,1	4750	4750	5000	4860	Кур.	—	—	0,0009	
5,6	5,6						2,2	2,2	0,0780	

размерами менее 0,1 км² каждый, общей площадью 0,25 км²

5,8										
-----	--	--	--	--	--	--	--	--	--	--

и Кызылтукой (реки Танымас, Кудара, Бартанг, Пяндж, Амударья, Аральское море)

в междуречье Кокджары и Танымаса.

0,1	0,1	4840	4840	5080	4970	Кур.	—	—	0,0009	
-----	-----	------	------	------	------	------	---	---	--------	--

Бартанг, Пяндж, Амударья, Аральское море)

в междуречье рек Танымас и Кокуйбель

0,1	0,1	4560	4560	4900	4710	Кур.	—	—	0,0009	
1,0	1,0	4700	4700	5230	4960	Кур.	0,5	0,5	0,0270	
1,1	1,1	4560	4560	5500	4890	Кур.	0,7	0,7	0,0311	
0,5	0,5	4700	4700	5300	4990	Кур.	0,2	0,2	0,0095	
0,8	0,8	4840	4840	5200	5020	Кур.	0,4	0,4	0,0193	
3,5	3,5						1,8	1,8	0,0878	

Бартанг, Пяндж, Амударья, Аральское море)

Танымаса и Кокуйбеля

2,2	2,1	4460	4500	5400	4990	Кур.	1,1	1,0	0,0881	
1,1	1,1	4700	4700	5400	5020	Кур.	0,6	0,6	0,0311	
3,3	3,2						1,7	1,6	0,1192	

размерами менее 0,1 км² каждый, общей площадью 0,09 км²

3,4										
-----	--	--	--	--	--	--	--	--	--	--

№ по схеме	Название	Название реки, вытекающей из ледника	Морфологический тип	Общая экспозиция	Наибольшая длина, км	
					всего ледника	в том числе открытой части
1	2	3	4	5	6	7

Бассейны левых безымянных притоков р. Танымас между устьями рек Дамаматсай

Северо-западный склон хребта

384	№ 384	пр. р. Танымас	кул.	C	1,0	1,0
385	№ 385	пр. р. Танымас	кар.	С	0,7	0,7
386	№ 386	пр. р. Танымас	кар.-дол.	С	1,7	1,7
387	№ 387	пр. р. Танымас	вис.-кар.	СЗ	0,9	0,9
388	№ 388	пр. р. Танымас	кар.	C	0,9	0,9
389	№ 389	пр. р. Танымас	вис.	3	0,2	0,2
6 ледников						

Бассейны правых безымянных притоков р. Кокуйбель между устьями рек Кокуйбель

Юго-восточный склон хребта в междуречье

390	№ 390	пр. р. Кокуйбель	прискл.	C	0,8	0,8
391	№ 391	пр. р. Кокуйбель	прискл.	С	0,6	0,6
392	№ 392	пр. р. Кокуйбель	кар.-дол.	СВ, В	2,8	2,3
393	№ 393		асимм. кар.	СВ	1,3	1,3
394	№ 394	пр. р. Кокуйбель	прискл.	СВ	0,8	0,8
395	№ 395	пр. р. Кокуйбель	асимм. кар.	СВ	1,2	1,2
396	№ 396	пр. р. Кокуйбель	прискл.	СВ	0,7	0,7
397	№ 397	пр. р. Кокуйбель	асимм. кар.	СВ	0,6	0,6
398	№ 398	пр. р. Кокуйбель	прискл.	СВ	0,3	0,3
399	№ 399	пр. р. Кокуйбель	вис. кар.	С, З	1,4	1,4
400	№ 400	пр. р. Кокуйбель	вис.	СВ	0,4	0,4
401	№ 401	пр. р. Кокуйбель	вис. кар.	СВ, В	1,0	1,0
402	№ 402	пр. р. Кокуйбель	вис. кар.	СВ, В	0,9	0,9
13 ледников						

Бассейн р. Тузбель (реки Кокуйбель, Кудара,

Юго-восточный склон хребта в междуречье

403	№ 403	пр. р. Тузбель	кар.-вис.	СВ	0,7	0,7
404	№ 404	пр. р. Тузбель	кар.-вис.	СВ	0,8	0,8
2 ледника						

Бассейн р. Кызылбелес (реки Кокуйбель, Кудара,

Восточный склон хребта в междуречье

405	№ 405	пр. р. Кызылбелес	кар.	C	0,6	0,6
406	№ 406	Кызылбелес	кар.	СВ	0,8	0,8
2 ледника						

Бассейн верховьев р. Кокуйбель (реки Кудара, Бартанг,

Восточный склон хребтов в междуречье Танымаса

407	№ 407	пр. р. Кокуйбель	вис.	C	0,6	0,6
408	№ 408	пр. р. Кокуйбель	кар.	СВ	0,9	0,9
409	№ 409	пр. р. Кокуйбель	вис.	СВ	0,5	0,5
410	№ 410	пр. р. Кокуйбель	вис.	C	0,6	0,6
411	№ 411	пр. р. Кокуйбель	вис.	СЗ	0,5	0,5
412	№ 412	пр. р. Кокуйбель	кар.	C	0,9	0,9
413	№ 413	пр. р. Кокуйбель	кар.	СВ	1,1	1,1
414	№ 414	пр. р. Кокуйбель	кар.	СВ	1,5	1,5
415	№ 415	пр. р. Кокуйбель	кар.	СВ	1,6	1,6
416	№ 416	пр. р. Кокуйбель	вис.	C	0,7	0,7
417	№ 417	пр. р. Кокуйбель	кар.	СВ, В	1,5	1,5
418	№ 418	пр. р. Кокуйбель	вис.	СВ	0,6	0,6

Площадь, км ²		Высота, м			Фирновая линия		Площадь области аблации, км ²		Ссылки на последующие таблицы (иллюстрации) № таблиц и иллюстраций порядковые № сведений в таблицах	Объем льда, км ³
всего ледника	в том числе открытой части	нижней точки конца ледника	нижней точки открытой части ледника	высшей точки ледника	высота, м	способ определения и дата	общая	в том числе открытой части		
8	9	10	11	12	13	14	15	16	17	18

и Кокуйбель (реки Танымас, Кудара, Бартанг, Пяндж, Амударья, Аральское море)

в междуречье Танымаса и Кокуйбеля

0,2	0,2	4800	4800	5120	5000	Кур.	—	—	0,0024	
0,1	0,1	4900	4900	5400	5160	Кур.	—	—	0,0009	
0,9	0,9	4700	4700	5440	5110	Кур.	0,4	0,4	0,0231	
0,2	0,2	4760	4760	5140	4960	Кур.	0,1	0,1	0,0024	
0,2	0,2	4700	4700	5400	5050	Кур.	0,1	0,1	0,0024	
0,1	0,1	5200	5200	5300	5250	Кур.	—	—	0,0009	
1,7	1,7						0,6	0,6	0,0321	

и Тузбель (реки Кокуйбель, Кудара, Бартанг, Пяндж, Амударья, Аральское море)

Танымаса и Кокуйбеля

0,2	0,2	4600	4600	5300	5060	Кур.	0,1	0,1	0,0024	
0,2	0,2	4700	4700	5200	5030	Кур.	0,1	0,1	0,0024	
2,3	1,9	4600	4820	5400	4900	Кур.	1,3	0,9	0,0942	
0,8	0,8	4840	4840	5400	5040	Кур.	0,4	0,4	0,0193	
0,2	0,2	4700	4700	5100	4890	Кур.	0,1	0,1	0,0024	
0,3	0,3	4900	4900	5400	5120	Кур.	0,2	0,2	0,0044	
0,2	0,2	4880	4880	5100	4990	Кур.	0,1	0,1	0,0024	
0,2	0,2	5000	5000	5500	5220	Кур.	0,1	0,1	0,0024	
0,1	0,1	4860	4860	5040	4940	Кур.	—	—	0,0009	
0,4	0,4	4900	4900	5520	5220	Кур.	0,2	0,2	0,0068	
0,1	0,1	5080	5080	5250	5170	Кур.	—	—	0,0009	
0,3	0,3	4760	4760	5200	5000	Кур.	0,1	0,1	0,0044	
0,2	0,2	4900	4900	5300	5110	Кур.	0,1	0,1	0,0024	
5,5	5,1						2,8	2,4	0,1453	

Бартанг, Пяндж, Амударья, Аральское море)

Танымаса и Кокуйбеля

0,2	0,2	4860	4860	5100	4960	Кур.	0,1	0,1	0,0024	
0,2	0,2	4700	4700	5000	4840	Кур.	0,1	0,1	0,0024	
0,4	0,4						0,2	0,2	0,0048	

Бартанг, Пяндж, Амударья, Аральское море)

Танымаса и Кокуйбеля

0,2	0,2	4700	4700	5000	4880	Кур.	0,1	0,1	0,0024	
0,2	0,2	4740	4740	5100	4900	Кур.	0,1	0,1	0,0024	
0,4	0,4						0,2	0,2	0,0048	

Пяндж, Амударья, Аральское море)

и Кокуйбеля, юго-восточный склон хр. Зорташкол

0,2	0,2	4800	4800	5000	4920	Кур.	0,1	0,1	0,0024	
0,3	0,3	4800	4800	5100	4900	Кур.	0,2	0,2	0,0044	
0,1	0,1	4800	4800	5000	4890	Кур.	—	—	0,0009	
0,1	0,1	4800	4800	5070	4930	Кур.	—	—	0,0009	
0,1	0,1	4700	4700	4900	4790	Кур.	—	—	0,0009	
0,3	0,3	4600	4600	5100	4830	Кур.	0,2	0,2	0,0044	
0,4	0,4	4600	4600	5100	4900	Кур.	0,2	0,2	0,0068	
0,9	0,9	4580	4580	5340	4940	Кур.	0,4	0,4	0,0231	
0,4	0,4	4640	4640	5200	4920	Кур.	0,2	0,2	0,0068	
0,3	0,3	4700	4700	5000	4830	Кур.	0,1	0,1	0,0044	
0,6	0,6	4620	4620	5300	4840	Кур.	0,3	0,3	0,0125	
0,2	0,2	4900	4900	5300	5090	Кур.	0,1	0,1	0,0024	

№ по схеме	Название	Название реки, вытекающей из ледника	Морфологический тип	Общая экспозиция	Наибольшая длина, км	
					всего ледника	в том числе открытой части
1	2	3	4	5	6	7
419	№ 419	Кокуйбель	кар.	СВ, В	1,7	1,7
420	№ 420	пр. р. Кокуйбель	склон.	СВ	0,6	0,6
421	№ 421	пр. р. Кокуйбель	вис.	ЮЗ, З	0,6	0,6
	15 ледников					

**Бассейн р. Кульайрык (реки Кокуйбель, Кудара,
Восточный склон отрога**

422	№ 422	пр. р. Кульайрык	вис.	C	0,8	0,8
423	№ 423	Кульайрык	кар.	C	1,6	1,6
424	№ 424	Кульайрык	кар.	CB	2,0	2,0
425	№ 425	пр. р. Кульайрык	вис. дол.	CB	2,2	2,2
426	№ 426	пр. р. Кульайрык	вис.	CB	1,5	1,5
	5 ледников					

**Бассейн р. Музджилга (реки Кокуйбель, Кудара,
Северный склон**

427	№ 427	Музджилга	кар.-дол.	C3	3,3	3,3
428	№ 428		вис.	C3	1,3	1,3
429	№ 429		кул.	CB	0,6	0,6
430	№ 430		кул.	CB	0,6	0,6
431	№ 431	пр. р. Музджилга	кар.-дол.	C	3,6	3,6
432	№ 432		вис.	C	0,7	0,7
	6 ледников					

**Бассейн левого безымянного притока р. Кокуйбель между устьями рек Музджилга
Северный склон**

433	№ 433	пр. р. Кокуйбель	кар.-вис.	C3	2,0	2,0
-----	-------	------------------	-----------	----	-----	-----

**Бассейн р. Зорташкол (реки Кокуйбель, Кудара,
Северный и юго-западный склоны хр. Зорташкол Северный, северный склон**

434	№ 434	пр. р. Зорташкол	кар.-вис.	C3	2,5	2,5
435	№ 435	пр. р. Зорташкол	кар.	CB	1,0	1,0
436	№ 436	пр. р. Зорташкол	кар.	C	0,4	0,4
437	№ 437	пр. р. Зорташкол	кар.-вис.	B, ЮВ	2,7	2,7
438	№ 438		вис. кар.	Ю	1,4	1,4
439	№ 439	пр. р. Зорташкол	кар.-вис.	Ю	1,0	1,0
440	№ 440	пр. р. Зорташкол	вис. дол.	Ю	2,0	2,0
441	№ 441	пр. р. Зорташкол	кар.-вис.	C3	1,8	1,8
442	№ 442	пр. р. Зорташкол	кар.	C3	0,8	0,8
443	№ 443	пр. р. Зорташкол	кар.	C3	0,5	0,5
444*	Зорташкол	Зорташкол	дол.	CB, C, C3	6,0	6,0
445	№ 445	пр. р. Зорташкол	вис. кар.	CB	1,1	1,1
446	№ 446	пр. р. Зорташкол	сл. дол.	CB, C	9,2	9,2
447	№ 447		кул.	C3	1,3	1,3
448	№ 448		вис.	CB	0,7	0,7
449	№ 449	пр. р. Зорташкол	сл. дол.	C	7,0	7,0
450	№ 450		кар.	CB	1,2	1,2
451	№ 451		вис.	B	0,6	0,6
452	№ 452		кар.	B	0,4	0,4
453	№ 453	пр. р. Зорташкол	сл. дол.	CB	8,2	6,0
454	№ 454		вис. кар.	B, ЮВ	1,9	1,9
455	№ 455		вис. кар.	B	2,3	2,3
456	№ 456	пр. р. Зорташкол	вис.	C	1,8	1,8
457	№ 457	пр. р. Зорташкол	кул.	B	1,1	1,1
458	№ 458	пр. р. Зорташкол	кар.-дол.	B, CB, C	3,3	3,3

Площадь, км ²		Высота, м				Фирновая линия		Площадь области абляции, км ²		Ссылки на последующие таблицы (иллюстрации) № таблиц и иллюстраций порядковые № сведений в таблицах
всего ледника	в том числе открытой части	низней точки конца ледника	нижней точки откры- той части ледника	высшей точки ледника	высота, м	способ опре- деления и дата	общая	в том числе открытой части	Объем льда, км ³	
8	9	10	11	12	13	14	15	16	17	
0,7	0,7	4760	4760	5400	5030	Кур.	0,4	0,4	0,0158	
0,2	0,2	5100	5100	5400	5240	Кур.	0,1	0,1	0,0024	
0,1	0,1	5200	5200	5420	5310	Кур.	—	—	0,0009	
4,9	4,9						2,3	2,3	0,0890	

Бартанг, Пяндж, Амударья, Аральское море)

и северный склон гор Сарыташуток

0,2	0,2	4700	4700	5060	4920	Кур.	0,1	0,1	0,0024	рис. 39
1,4	1,4	4540	4540	5200	4830	Кур.	0,7	0,7	0,0447	
0,7	0,7	4650	4650	5550	5080	Кур.	0,4	0,4	0,0158	
0,7	0,7	4760	4760	5300	5030	Кур.	0,4	0,4	0,0158	
0,5	0,5	4900	4900	5400	5130	Кур.	0,2	0,2	0,0095	
3,5	3,5						1,8	1,8	0,0882	

Бартанг, Пяндж, Амударья, Аральское море)

хр. Зорташкол Северный

2,2	2,2	5000	5000	5800	5330	Кур.	1,1	1,1	0,0881	рис. 39
0,3	0,3	5500	5500	5700	5570	Кур.	0,2	0,2	0,0044	
0,1	0,1	5340	5340	5700	5500	Кур.	—	—	0,0009	
0,1	0,1	5340	5340	5720	5520	Кур.	—	—	0,0009	
2,1	2,1	4800	4800	5800	5290	Кур.	1,0	1,0	0,0822	
0,3	0,3	5180	5180	5700	5430	Кур.	0,1	0,1	0,0044	
5,1	5,1						2,4	2,4	0,1809	

и Зорташкол (реки Кокуйбель, Кудара, Бартанг, Пяндж, Амударья, Аральское море)

хр. Зорташкол Северный

1,3	1,3	4960	4960	5750	5290	Кур.	0,7	0,7	0,0400	рис. 40

Бартанг, Пяндж, Амударья, Аральское море)

хр. Музкол, северо-восточный и северный склоны хр. Зорташкол

0,9	0,9	4800	4800	5700	5250	Кур.	0,5	0,5	0,0231	рис. 40
0,2	0,2	4700	4700	5500	5130	Кур.	0,1	0,1	0,0024	
0,1	0,1	5400	5400	5900	5670	Кур.	—	—	0,0009	
1,7	1,7	4800	4800	5900	5240	Кур.	1,0	1,0	0,0598	
1,0	1,0	5300	5300	6100	5620	Кур.	0,6	0,6	0,0270	
0,6	0,6	5200	5200	5700	5460	Кур.	0,2	0,2	0,0125	
0,7	0,7	5200	5200	5740	5490	Кур.	0,4	0,4	0,0158	
0,5	0,5	4840	4840	5520	5220	Кур.	0,3	0,3	0,0095	
0,2	0,2	5100	5100	5600	5370	Кур.	0,1	0,1	0,0024	
0,1	0,1	5300	5300	5600	5470	Кур.	—	—	0,0009	
8,2	8,2	4640	4640	5700	5080	Кур.	4,3	4,3	0,6340	
0,8	0,8	4740	4740	5400	5000	Кур.	0,5	0,5	0,0193	
9,2	9,2	4500	4500	5900	5150	Кур.	4,3	4,3	0,7534	
0,4	0,4	4800	4800	5500	5240	Кур.	0,2	0,2	0,0068	
0,2	0,2	5400	5400	5800	5630	Кур.	0,1	0,1	0,0024	
8,2	8,2	4480	4480	6070	5270	Кур.	3,9	3,9	0,6340	
0,3	0,3	5000	5000	5620	5390	Кур.	0,1	0,1	0,0044	
0,2	0,2	5400	5400	5800	5600	Кур.	0,1	0,1	0,0024	
0,1	0,1	5300	5300	5600	5480	Кур.	—	—	0,0009	
9,7	8,1	4420	4740	6140	5270	Кур.	5,2	3,6	0,8157	
0,8	0,8	5000	5000	5670	5360	Кур.	0,4	0,4	0,0193	
1,4	1,4	4900	4900	5500	5150	Кур.	0,8	0,8	0,0447	
0,9	0,9	4960	4960	5500	5190	Кур.	0,4	0,4	0,0231	
0,3	0,3	5140	5140	5600	5330	Кур.	0,1	0,1	0,0044	
1,8	1,8	4600	4600	5500	4950	Кур.	0,9	0,9	0,0652	

№ по схеме	Название	Название реки, вытекающей из ледника	Морфологический тип	Общая экспозиция	Наибольшая длина, км	
					всего ледника	в том числе открытой части
1	2	3	4	5	6	7
459	№ 459	пр. р. Зорташкол	вис.	С	0,8	0,8
460	№ 460	пр. р. Зорташкол	кар.-дол.	Ю, 3, С3	4,7	4,7
461	№ 461	пр. р. Зорташкол	кар.	С	1,4	1,4
462	№ 462	пр. р. Зорташкол	вис. кар.	СВ	2,7	2,7
463	№ 463	пр. р. Зорташкол	вис. дол.	В, СВ	4,3	3,5
464	№ 464	пр. р. Зорташкол	вис. кар.	В	1,8	1,8
465	№ 465	пр. р. Зорташкол	вис. дол.	В	2,0	2,0
466	№ 466	пр. р. Зорташкол	кар.	СВ	0,8	0,8
467	№ 467		вис.	В	0,4	0,4
468	№ 468	пр. р. Зорташкол	прискл.	СВ	0,5	0,5
469	№ 469	пр. р. Зорташкол	вис.	СВ	0,7	0,7
470	№ 470	пр. р. Зорташкол	вис. дол.	С3, 3	2,7	2,7
471	№ 471	пр. р. Зорташкол	сл. дол.	СВ, С	5,9	5,1
472	№ 472		вис.	СВ	0,7	0,7
473	№ 473	пр. р. Зорташкол	кар.	СВ	0,8	0,8
474	№ 474	пр. р. Зорташкол	кар.	СВ	1,4	1,4
475	№ 475	пр. р. Зорташкол	вис.	С3	0,5	0,5
42 ледника						

Бассейны левых безымянных притоков р. Кокуйбель между устьями рек Зорташкол

Северо-западный склон

476	№ 476	пр. р. Кокуйбель	кар.	С3, 3	1,8	1,8
477	№ 477	пр. р. Кокуйбель	кар.	С3	1,1	1,1
478	№ 478	пр. р. Кокуйбель	кар.	С3	1,3	1,3
479	№ 479	пр. р. Кокуйбель	кар.-дол.	С	2,2	2,2
480	№ 480	пр. р. Кокуйбель	кар.	СВ	1,5	1,5
481	№ 481	пр. р. Кокуйбель	кар.	СВ	1,5	1,5
482	№ 482	пр. р. Кокуйбель	вис.	С	0,7	0,7
483	№ 483	пр. р. Кокуйбель	вис.	С	0,6	0,6
484	№ 484	пр. р. Кокуйбель	кар.-дол.	С3, 3	2,3	2,3
485	№ 485	пр. р. Кокуйбель	вис.	С3	0,6	0,6
486	№ 486	пр. р. Кокуйбель	вис.	С3	0,6	0,6
487	№ 487	пр. р. Кокуйбель	вис.	С3	1,0	1,0
12 ледников						

Бассейн р. Бозбайтал (реки Кокуйбель, Кудара,

Юго-восточный, южный и юго-западный склоны

488	№ 488	пр. р. Бозбайтал	склон.	СВ	1,1	1,1
489	№ 489		кул.	ЮВ	0,7	0,7
490	№ 490	пр. р. Бозбайтал	асимм. кар.	В	0,7	0,7
491	№ 491	пр. р. Бозбайтал		СВ	0,4	0,4
492	№ 492		вис.	В	0,6	0,6
493	№ 493	пр. р. Бозбайтал	вис.	С	0,6	0,6
494	№ 494	пр. р. Бозбайтал	вис.	В	0,6	0,6
495	№ 495	пр. р. Бозбайтал	кар.	В	1,1	1,1
496	№ 496	пр. р. Бозбайтал	кул.	ЮВ	1,5	1,5
497	№ 497	пр. р. Бозбайтал	вис. дол.	ЮВ	2,0	2,0
498	№ 498	пр. р. Бозбайтал	вис. дол.	Ю, ЮВ, В	3,0	3,0
499	№ 499	пр. р. Бозбайтал	дол.	3, С, С3	3,7	3,7
500	№ 500		вис. кар.	С3, 3, Ю3	1,7	1,7
501	№ 501		вис. кар.	С3	1,5	1,5
502*	Советских офицеров	Бозбайтал	сл. дол.	3, С3	7,8	7,2
503	№ 503		вис.	Ю3	0,8	0,8
504	№ 504		вис.	Ю3	0,8	0,8
505	№ 505		вис.	С3	0,5	0,5
506	№ 506		кар.	3	1,5	1,5
507	№ 507		склон.	СВ	0,7	0,7
508	№ 508		вис.	В	0,5	0,5
509	№ 509	пр. р. Бозбайтал	кар.	СВ	1,2	1,2
510	№ 510	пр. р. Бозбайтал	кар.	С	1,1	1,1

Площадь, км ²		Высота, м			Фирновая линия		Площадь области аблации, км ²		Объем льда, км ³	Ссылки на последующие таблицы (илюстрации) № таблиц и иллюстраций порядковые № сведений в таблицах
всего ледника	в том числе открытой части	нижней точки конца ледника	нижней точки открытое части ледника	высшей точки ледника	высота, м	способ определения и дата	общая	в том числе открытой части		
8	9	10	11	12	13	14	15	16	17	18
0,2	0,2	4840	4840	5300	5110	Кур.	0,1	0,1	0,0024	рис. 41
3,9	3,9	4700	4700	5850	5280	Кур.	1,8	1,8	0,2080	
0,3	0,3	4800	4800	5500	5180	Кур.	0,1	0,1	0,0044	
2,6	2,6	4500	4500	5600	5170	Кур.	1,2	1,2	0,1132	
2,0	1,7	4400	4600	5700	5090	Кур.	0,8	0,5	0,0764	
0,6	0,6	4900	4900	6100	5560	Кур.	0,3	0,3	0,0125	
0,7	0,7	4900	4900	6110	5430	Кур.	0,4	0,4	0,0158	
0,2	0,2	4900	4900	5440	5130	Кур.	0,1	0,1	0,0024	
0,1	0,1	5200	5200	5500	5380	Кур.	—	—	0,0009	
0,2	0,2	4900	4900	5300	5130	Кур.	0,1	0,1	0,0024	
0,1	0,1	4800	4800	5500	5130	Кур.	—	—	0,0009	
1,0	1,0	4900	4900	6000	5390	Кур.	0,6	0,6	0,0270	
5,8	5,5	4400	4600	5900	5030	Кур.	2,9	2,6	0,3771	
0,2	0,2	5400	5400	5900	5670	Кур.	0,1	0,1	0,0024	
0,2	0,2	5200	5200	5600	5400	Кур.	0,1	0,1	0,0024	
0,4	0,4	4400	4400	5200	4940	Кур.	0,2	0,2	0,0068	
0,3	0,3	5500	5500	5840	5640	Кур.	0,1	0,1	0,0044	
67,3	65,1						33,4	31,2	4,0437	

и Бозбайтал (реки Кокуйбель, Кудара, Бартанг, Пяндж, Амударья, Аральское море)

хр. Зорташкол

0,8	0,8	4760	4760	6020	5270	Кур.	0,2	0,2	0,0193	
0,3	0,3	4920	4920	5700	5280	Кур.	0,1	0,1	0,0044	
0,3	0,3	4900	4900	5600	5280	-Кур.	0,1	0,1	0,0044	
1,4	1,4	4740	4740	5800	5160	Кур.	0,8	0,8	0,0447	
0,6	0,6	4740	4740	5500	5140	Кур.	0,3	0,3	0,0125	
1,4	1,4	4700	4700	5500	5070	Кур.	0,7	0,7	0,0447	
0,2	0,2	4900	4900	5400	5120	Кур.	0,1	0,1	0,0024	
0,1	0,1	5000	5000	5400	5210	Кур.	—	—	0,0009	
2,3	2,3	4800	4800	5890	5310	Кур.	1,1	1,1	0,0942	
0,1	0,1	5200	5200	5700	5530	Кур.	—	—	0,0009	
0,2	0,2	5200	5200	5700	5460	Кур.	0,1	0,1	0,0024	
0,1	0,1	4800	4800	5400	5100	Кур.	—	—	0,0009	
7,8	7,8						3,5	3,5	0,0984	

Бартанг, Пяндж, Амударья, Аральское море)

хр. Зорташкол, северный склон хр. Музкол

0,5	0,5	4820	4820	5360	5100	Кур.	0,3	0,3	0,0095	
0,2	0,2	5400	5400	5800	5660	Кур.	0,1	0,1	0,0024	
0,3	0,3	4900	4900	5300	5050	Кур.	0,2	0,2	0,0044	
0,1	0,1	4860	4860	5100	4940	Кур.	—	—	0,0009	
0,1	0,1	5000	5000	5400	5260	Кур.	—	—	0,0009	
0,1	0,1	5200	5200	5400	5300	Кур.	—	—	0,0009	
0,1	0,1	5400	5400	5800	5590	Кур.	—	—	0,0009	
0,5	0,5	5300	5300	5960	5600	Кур.	0,3	0,3	0,0095	
0,4	0,4	5220	5220	6100	5680	Кур.	0,2	0,2	0,0068	
0,5	0,5	4700	4700	5700	5190	Кур.	0,3	0,3	0,0095	
0,9	0,9	4900	4900	5500	5190	Кур.	0,4	0,4	0,0231	
1,5	1,5	4800	4800	6100	5360	Кур.	0,8	0,8	0,0496	
0,6	0,6	5100	5100	5870	5480	Кур.	0,3	0,3	0,0125	
0,5	0,5	5140	5140	5500	5330	Кур.	0,3	0,3	0,0095	
13,6	13,0	4520	4620	6060	5250	Кур.	7,1	6,5	1,3542	
0,2	0,2	5400	5400	5900	5640	Кур.	0,1	0,1	0,0024	
0,2	0,2	5400	5400	5900	5730	Кур.	0,1	0,1	0,0024	
0,1	0,1	5100	5100	5300	5210	Кур.	—	—	0,0009	
0,7	0,7	5100	5100	5600	5380	Кур.	0,3	0,3	0,0158	
0,5	0,5	4800	4800	5500	5080	Кур.	0,2	0,2	0,0095	
0,1	0,1	5050	5050	5300	5180	Кур.	—	—	0,0009	
0,5	0,5	4700	4700	5400	5100	Кур.	0,2	0,2	0,0095	
0,3	0,3	4500	4500	5400	4960	Кур.	0,1	0,1	0,0044	

№ по схеме	Название	Название реки, вытекающей из ледника	Морфологический тип	Общая экспозиция	Наибольшая длина, км	
					всего ледника	в том числе открытой части
1	2	3	4	5	6	7
511	№ 511	пр. р. Бозбайтал	дол.	C3	4,2	4,2
512	№ 512	пр. р. Бозбайтал	прискл.	C	0,6	0,6
513	№ 513	пр. р. Бозбайтал	вис.	3	0,5	0,5
514	№ 514	пр. р. Бозбайтал	вис. кар.	3	1,2	1,2
515	№ 515	пр. р. Бозбайтал	кар.-дол.	3, ЮЗ	2,8	2,8
516	№ 516	пр. р. Бозбайтал	кар.	C3	1,2	1,2
517	№ 517		кар.	C3, 3	1,1	1,1
518	№ 518	пр. р. Бозбайтал	сл. дол.	C	2,8	2,8
519	№ 519	пр. р. Бозбайтал	кар.	CB	0,7	0,7
520*	Караджилга	пр. р. Бозбайтал	кар.-дол.	C	2,3	2,3
521	№ 521	пр. р. Бозбайтал	кар.-дол.	C	1,8	1,8
522	№ 522	пр. р. Бозбайтал	прискл. кар.	CB	0,9	0,9
523	№ 523	пр. р. Бозбайтал	кар.	C	2,2	2,2
524*	Айдемге	пр. р. Бозбайтал	кар.-дол.	CB	5,1	5,1
525	№ 525		кар.	CB	0,8	0,8
526	№ 526	пр. р. Бозбайтал	вис. кар.	CB	2,3	2,3
527	№ 527	пр. р. Бозбайтал	вис. кар.	C	1,9	1,9
528	№ 528	пр. р. Бозбайтал	кул.	C	0,9	0,9
529	№ 529	пр. р. Бозбайтал	кул.	C	0,7	0,7
530	№ 530	пр. р. Бозбайтал	вис.	C3	0,7	0,7
531	№ 531	пр. р. Бозбайтал	асимм. кар.	C3	1,9	1,9
532	№ 532	пр. р. Бозбайтал	кул.	C3	1,5	1,5
533	№ 533	пр. р. Бозбайтал	вис.	C3	0,5	0,5
534	№ 534	пр. р. Бозбайтал	кар.-вис.	3, C3	2,2	2,2
535	№ 535	пр. р. Бозбайтал	прискл. кар.	C3	1,5	1,5
536	№ 536	пр. р. Бозбайтал	кар.	C	1,2	1,2
49 ледников				:		

Бассейны левых безымянных притоков р. Кокуйбель между устьями рек Бозбайтал

Северный и восточный склоны отрога

537	№ 537	пр. р. Кокуйбель	кул.	CB	0,8	0,8
538	№ 538	пр. р. Кокуйбель	кул.	C	0,7	0,7
539	№ 539	пр. р. Кокуйбель	вис.	C	0,9	0,9
540	№ 540	пр. р. Кокуйбель	кар.	CB	1,1	1,1
541	№ 541	пр. р. Кокуйбель	кар.-дол.	CB	2,0	2,0
542	№ 542	пр. р. Кокуйбель	вис.	C	0,8	0,8
543	№ 543	пр. р. Кокуйбель	вис.	C	0,7	0,7
544	№ 544	пр. р. Кокуйбель	вис. кар.	C	2,3	2,3
545	№ 545	пр. р. Кокуйбель	вис.	C3	0,9	0,9
546	№ 546	пр. р. Кокуйбель	вис.	C3	1,1	1,1
547	№ 547	пр. р. Кокуйбель	дол.	CB, C3	3,7	3,7
548	№ 548	пр. р. Кокуйбель	дол.	CB	2,1	2,1
549*	Азыкташ	пр. р. Кокуйбель	сл. дол.	ЮВ, В, CB	11,0	3,8
550*	№ 550		дол.	CB	3,3	1,3
551	№ 551		вис.	C3	0,7	0,7
552	№ 552		кар.	C	0,5	0,5
553	№ 553		кар.	C3	1,7	1,7
554	№ 554		вис.	C3	0,4	0,4
555	№ 555		вис.	C3	0,2	0,2
556	№ 556		кар.	ЮЗ	0,5	0,5
557	№ 557		вис.	CB	0,2	0,2
558	№ 558		кар.	CB	1,0	1,0
559	№ 559		кул.	ЮВ	1,6	1,6
560	№ 560		прискл.	CB	0,9	0,9
561	№ 561		кар.	CB	1,3	1,3
562	№ 562	пр. р. Кокуйбель	вис.	CB	1,0	1,0
563	№ 563	пр. р. Кокуйбель	прискл. кар.	CB	1,4	1,4
564	№ 564	пр. р. Кокуйбель	вис.	CB	0,5	0,5
28 ледников						

Кроме того, в бассейнах левых безымянных притоков р. Кокуйбель имеется

Итого 36 ледников

Площадь, км ²		Высота, м			Фирновая линия		Площадь области аблации, км ²		Ссылки на последующие таблицы (илюстрации) № таблиц и иллюстраций порядковые № сведений в таблицах	
всего ледника	в том числе открытой части	нижней точки конца ледника	нижней точки открытой части ледника	высшей точки ледника	высота, м	способ определения и дата	общая	в том числе открытой части	Объем льда, км ³	
8	9	10	11	12	13	14	15	16	17	18
2,1	2,1	4720	4720	5600	5160	Кур.	1,1	1,1	0,0822	
0,2	0,2	4740	4740	5100	4880	Кур.	0,1	0,1	0,0024	
0,1	0,1	5400	5400	5700	5570	Кур.	—	—	0,0009	
0,4	0,4	5300	5300	6100	5700	Кур.	0,2	0,2	0,0068	
1,8	1,8	4840	4840	6100	5640	Кур.	0,9	0,9	0,0652	
0,3	0,3	4300	4300	5000	4650	Кур.	0,2	0,2	0,0044	
0,3	0,3	5000	5000	5500	5260	Кур.	0,1	0,1	0,0044	
1,7	1,7	4640	4640	5600	5130	Кур.	0,8	0,8	0,0598	
0,2	0,2	4950	4950	5500	5250	Кур.	0,1	0,1	0,0024	
1,7	1,7	4540	4540	5500	4990	Кур.	1,0	1,0	0,0598	
0,5	0,5	4620	4620	5640	5210	Кур.	0,2	0,2	0,0095	
0,1	0,1	4900	4900	5300	5070	Кур.	—	—	0,0009	
0,7	0,7	4700	4700	5720	5220	Кур.	0,4	0,4	0,0158	
4,7	4,7	4620	4620	5700	5230	Кур.	2,2	2,2	0,2751	
0,2	0,2	5100	5100	5600	5380	Кур.	0,1	0,1	0,0024	
0,9	0,9	4400	4400	5800	5250	Кур.	0,4	0,4	0,0231	
0,6	0,6	4400	4400	5800	5140	Кур.	0,3	0,3	0,0125	
0,1	0,1	4600	4600	5200	4830	Кур.	—	—	0,0009	
0,2	0,2	4700	4700	5100	4890	Кур.	0,1	0,1	0,0024	
0,1	0,1	5300	5300	5500	5400	Кур.	—	—	0,0009	
0,6	0,6	4900	4900	5500	5240	Кур.	0,3	0,3	0,0125	
0,4	0,4	4800	4800	5570	5200	Кур.	0,2	0,2	0,0068	
0,1	0,1	5200	5200	5500	5350	Кур.	—	—	0,0009	
1,7	1,7	4900	4900	5700	5300	Кур.	0,8	0,8	0,0598	
1,0	1,0	4700	4700	5300	5030	Кур.	0,5	0,5	0,0270	
0,4	0,4	4600	4600	5000	4800	Кур.	0,2	0,2	0,0068	
43,6	43,0						21,5	20,9	2,2860	

и Коюбекджилга (реки Кокуйбель, Кудара, Бартанг, Пяндж, Амударья, Аральское море)

и северный склон хр. Музкол

0,1	0,1	4800	4800	5200	4970	Кур.	—	—	0,0009	
0,1	0,1	4760	4760	5200	4950	Кур.	—	—	0,0009	
0,2	0,2	4900	4900	5400	5190	Кур.	0,1	0,1	0,0024	
0,6	0,6	4900	4900	5400	5130	Кур.	0,3	0,3	0,0125	
0,8	0,8	4620	4620	5400	4960	Кур.	0,4	0,4	0,0193	
0,3	0,3	4600	4600	5400	5030	Кур.	0,1	0,1	0,0044	
0,1	0,1	4500	4500	5000	4770	Кур.	—	—	0,0009	
1,8	1,8	4540	4540	5320	4930	Кур.	1,0	1,0	0,0652	
0,3	0,3	4640	4640	5100	4890	Кур.	0,1	0,1	0,0044	
0,4	0,4	4760	4760	5360	5120	Кур.	0,2	0,2	0,0068	
1,5	1,5	4440	4440	5270	4880	Кур.	0,8	0,8	0,0496	
0,6	0,6	4620	4620	5200	4870	Кур.	0,3	0,3	0,0125	
7,5	3,9	3860	4600	5600	4710	Кур.	4,0	0,4	0,5546	
1,0	0,6	4300	4850	5300	4850	Кур.	0,4	—	0,0270	
0,2	0,2	4700	4700	5200	4980	Кур.	0,1	0,1	0,0024	
0,1	0,1	5000	5000	5290	5160	Кур.	—	—	0,0009	
0,7	0,7	4400	4400	5240	4910	Кур.	0,3	0,3	0,0158	
0,1	0,1	4900	4900	5200	5060	Кур.	—	—	0,0009	
0,1	0,1	5200	5200	5290	5250	Кур.	—	—	0,0009	
0,1	0,1	4960	4960	5300	5100	Кур.	—	—	0,0009	
0,1	0,1	5400	5400	5600	5500	Кур.	—	—	0,0009	
0,2	0,2	4900	4900	5500	5150	Кур.	0,1	0,1	0,0024	
0,5	0,5	4900	4900	5560	5240	Кур.	0,2	0,2	0,0095	
0,2	0,2	4700	4700	4920	4920	Кур.	0,1	0,1	0,0024	
0,4	0,4	4920	4920	5520	5310	Кур.	0,2	0,2	0,0068	
0,3	0,3	4700	4700	5300	4990	Кур.	0,2	0,2	0,0044	
0,4	0,4	4600	4600	5500	5040	Кур.	0,2	0,2	0,0068	
0,1	0,1	5000	5000	5300	5170	Кур.	—	—	0,0009	
18,8	14,8						9,1	5,1	0,8173	

8 ледников размерами менее 0,1 км² каждый, общей площадью 0,41 км²

19,2

№ по схеме	Название	Название реки, вытекающей из ледника	Морфологический тип	Общая экспозиция	Наибольшая длина, км	
					всего ледника	в том числе открытой части
1	2	3	4	5	6	7

Бассейн р. Коюбекджилга (реки Кокуйбель, Кудара,

Северный склон

565	№ 565	пр. р. Коюбекджилга Коюбекджилга	дол.	C, 3, C3	5,5	3,3
566	№ 566		дол.	C3	0,6	0,6
567	№ 567		кар.	C	1,3	1,3
568	№ 568		сл. дол.	ЮВ, В, CB	8,7	5,3
569*	№ 569		дол.	ЮЗ, 3, C	4,2	3,4
570	№ 570		вис.	CB	0,5	0,5
571	№ 571		асимм. кар.	B, CB	2,4	2,4
572	№ 572		кар.	B, ЮВ	0,7	0,7
573	№ 573		вис.	CB	0,9	0,9
9 ледников						

Бассейн р. Темуркульджилга (реки Кокуйбель, Кудара

Северный склон

574	№ 574	Темуркульджилга пр. р. Темуркульджилга пр. р. Темуркульджилга	кар.-дол.	C, CB	4,5	2,1
575	№ 575		кар.	B	3,0	2,7
576	№ 576		кар.-дол.	CB, B	2,6	1,9
577	№ 577		вис.	C	0,3	0,3
4 ледника						

Бассейн р. Чоршихана (реки Кокуйбель, Кудара

Северный склон

578	№ 578	Чоршихана пр. р. Чоршихана	дол.	CB	1,9	1,9
579	№ 579		кар.	CB	0,9	0,9
2 ледника						

Бассейн р. Усойтдара (реки Кудара, Бартан)

Северный склон

580*	№ 580	Усойтдара пр. р. Усойтдара пр. р. Усойтдара	сл. дол.	C, C3	4,5	4,5
581	№ 581		сл. дол.	C	6,5	6,5
582	№ 582		кар.	CB	1,6	1,6
583	№ 583		кар.	CB	0,7	0,7
584	№ 584		кар.	CB	0,5	0,5
5 ледников						

Бассейн левого безымянного притока р. Кудара ниже устья

Северный склон

585	№ 585	пр. р. Кудара пр. р. Кудара	дол.	C, C3	3,2	3,2
586	№ 586		кар.	C	0,6	0,6
587	№ 587		кар.-дол.	C	2,0	2,0
3 ледника						

Кроме того, в бассейне левого безымянного притока р. Кудара имеется

Итого 6 ледников

Площадь, км ²		Высота, м			Фирновая линия		Площадь области аблации, км ²		Объем льда, км ³ Ссылки на последующие таблицы (иллюстрации) № таблиц и иллюстраций порядковые № сведений в таблицах	
всего ледника	в том числе открытой части	нижней точки конца ледника	нижней точки открытой части ледника	высшей точки ледника	высота, м	способ определения и дата	общая	в том числе открытой части		
8	9	10	11	12	13	14	15	16	17	18

Бартанг, Пяндж, Амударья, Аральское море)

хр. Музкол

2,1	1,6	4160	4500	5760	4900	Кур.	1,2	0,7	0,0822	
0,2	0,2	5100	5100	5760	5490	Кур.	0,1	0,1	0,0024	
0,5	0,5	4540	4540	5400	4910	Кур.	0,2	0,2	0,0095	
6,4	4,8	4060	4500	5870	4810	Кур.	2,9	1,3	0,4372	
1,7	1,5	4310	4420	5600	4900	Кур.	0,8	0,6	0,0598	
0,2	0,2	5200	5200	5570	5440	Кур.	0,1	0,1	0,0024	
1,0	1,0	4540	4540	5400	4910	Кур.	0,5	0,5	0,0270	
0,1	0,1	4920	4920	5360	5130	Кур.	—	—	0,0009	
0,2	0,2	4900	4900	5680	5280	Кур.	0,2	0,2	0,0024	
12,4	10,1						6,0	3,7	0,6238	

Бартанг, Пяндж, Амударья, Аральское море)

хр. Музкол

3,6	2,6	4180	4600	5680	4800	Кур.	2,0	1,0	0,1844	
1,4	1,3	4460	4500	5660	5010	Кур.	0,7	0,6	0,0447	
1,5	1,3	4320	4440	5460	4890	Кур.	0,7	0,5	0,0496	
0,1	0,1	4800	4800	5100	4950	Кур.	—	—	0,0009	
6,6	5,3						3,4	2,1	0,2796	

Бартанг, Пяндж, Амударья, Аральское море)

хр. Музкол

0,6	0,6	4440	4440	5340	4800	Кур.	0,3	0,3	0,0125	
0,3	0,3	4600	4600	5000	4810	Кур.	0,1	0,1	0,0044	
0,9	0,9						0,4	0,4	0,0169	

Пяндж, Амударья, Аральское море)

хр. Музкол

3,9	3,1	4400	4400	5540	4930	Кур.	2,2	1,4	0,2080	
4,2	4,2	4000	4000	5560	4920	Кур.	1,8	1,8	0,2324	
0,7	0,7	4400	4400	5670	5030	Кур.	0,4	0,4	0,0158	
0,2	0,2	4740	4740	5200	5000	Кур.	0,1	0,1	0,0024	
0,1	0,1	5000	5000	5400	5220	Кур.	—	—	0,0009	
9,1	8,3						4,5	3,7	0,4595	

р. Усойтдара (реки Кудара, Бартанг, Пяндж, Амударья, Аральское море)

хр. Музкол

1,4	1,4	4400	4400	5570	5040	Кур.	0,7	0,7	0,0447	
0,1	0,1	4920	4920	5200	5060	Кур.	—	—	0,0009	
0,9	0,9	4260	4260	5220	4840	Кур.	0,4	0,4	0,0231	
2,4	2,4						1,1	1,1	0,0687	

3 ледника размерами менее 0,1 км² каждый, общей площадью 0,1 км²

2,5										
-----	--	--	--	--	--	--	--	--	--	--

№ по схеме	Название	Название реки, вытекающей из ледника	Морфологический тип	Общая экспозиция	Наибольшая длина, км	
					всего ледника	в том числе открытой части
1	2	3	4	5	6	7

Бассейн р. Челимджет (реки Бартанг,

Северо-западный и северный склоны

588	№ 588	Падоин	вис.	C	0,5	0,5
589	№ 589	пр. р. Челимджет	вис.	C3	0,5	0,5
590	№ 590	пр. р. Челимджет	вис.	C3	0,6	0,6
591	№ 591	пр. р. Челимджет	кар.-вис.	C	1,0	1,0
592	№ 592	Челимджет	прискл. кар.	C	1,0	1,0
593	№ 593	пр. р. Челимджет	кар.	CB	1,0	1,0
6 ледников						

Кроме того, в бассейне р. Челимджет имеется 3 ледника

Итого 9 ледников

Бассейны левых безымянных притоков р. Бартанга между устьями рек

Северный склон отрога

594	№ 594	пр. р. Бартанг	вис.	C3	0,6	0,6
595	№ 595	пр. р. Бартанг	вис.	C	0,8	0,8
596	№ 596	пр. р. Бартанг	кар.-вис.	C3, 3	1,7	1,7
597	№ 597	пр. р. Бартанг	кар.	C3	0,8	0,8
598	№ 598	пр. р. Бартанг	вис.	C	0,6	0,6
599	№ 599	пр. р. Бартанг	вис.	C3	0,6	0,6
6 ледников						

Кроме того, в бассейнах левых безымянных притоков р. Бартанга

Итого 9 ледников

Бассейн р. Нукист (реки Бартанг,

Западный и северо-восточный склоны

600	№ 600	пр. р. Нукист	кар.	C, C3	1,7	1,7
601	№ 601	пр. р. Нукист	кул.	C3	0,7	0,7
602	№ 602	пр. р. Нукист	асимм. кар.	C3	1,4	1,4
603	№ 603	Нукист	дол.	C, C3	7,8	6,5
604	№ 604		вис.	C3	0,4	0,4
605	№ 605		вис.	C3	0,5	0,5
606	№ 606		вис.	CB	0,7	0,7
607	№ 607		вис.	CB	0,4	0,4
608	№ 608		кул.	CB	1,5	1,5
609	№ 609	пр. р. Нукист	вис. кар.	C	2,6	2,6
610	№ 610	пр. р. Нукист	кар.-дол.	CB	2,2	1,6
611	№ 611		вис.	CB	0,9	0,9
612	№ 612	пр. р. Нукист	сл. дол.	B, C	5,0	3,9
613	№ 613	пр. р. Нукист	дол.	CB	3,6	3,6
614	№ 614	пр. р. Нукист	кар.	CB	1,4	1,4
615	№ 615	пр. р. Нукист	кар.	C	1,9	1,9
616	№ 616	пр. р. Нукист	кар.	C	2,5	2,5
617	№ 617	пр. р. Нукист	вис.	C	0,5	0,5
18 ледников						

Кроме того, в бассейне р. Нукист имеется 2 ледника

Итого 20 ледников

Бассейн левого безымянного притока р. Бартанга между устьями рек

Северный склон отрога

618	№ 618	пр. р. Бартанга	кар.-дол.	C, C3	2,8	2,8
619	№ 619	пр. р. Бартанга	кар.-дол.	C, C3	3,0	1,5
620	№ 620		вис.	C	0,5	0,5
621	№ 621	пр. р. Бартанга	кар.	C	1,4	1,4
622	№ 622	пр. р. Бартанга	вис.	C	0,9	0,9
5 ледников						

Площадь, км ²		Высота, м			Фирновая линия		Площадь области аблации, км ²		Ссылки на последующие таблицы (илюстрации) № таблиц и иллюстраций порядковые № сведений в таблицах	
всего ледника	в том числе открытой части	нижней точки конца ледника	нижней точки открытой части ледника	высшей точки ледника	высота, м	способ определения и дата	общая	в том числе открытой части		
8	9	10	11	12	13	14	15	16	17	18

Пяндж, Амударья, Аральское море)

отрогов Рушанского хребта

0,3	0,3	4500	4500	4900	4740	Кур.	0,1	0,1	0,0044	
0,1	0,1	4600	4600	4900	4780	Кур.	—	—	0,0009	
0,2	0,2	4500	4500	5000	4760	Кур.	0,1	0,1	0,0024	
0,4	0,4	4400	4400	5000	4680	Кур.	0,2	0,2	0,0068	
0,1	0,1	4540	4540	4800	4640	Кур.	—	—	0,0009	
0,2	0,2	4540	4540	5000	4790	Кур.	0,1	0,1	0,0024	
1,3	1,3						0,5	0,5	0,0178	

размерами менее 0,1 км² каждый, общей площадью 0,2 км²

1,5										
-----	--	--	--	--	--	--	--	--	--	--

Челимджет и Нукбист (реки Бартанг, Пяндж, Амударья, Аральское море)

Рушанского хребта

0,1	0,1	4200	4220	4700	4480	Кур.	—	—	0,0009	
0,3	0,3	4260	4260	4920	4600	Кур.	0,1	0,1	0,0044	
0,6	0,6	4600	4600	5340	5040	Кур.	0,3	0,3	0,0125	
0,3	0,3	4500	4500	5000	4720	Кур.	0,2	0,2	0,0044	
0,1	0,1	4600	4600	5100	4910	Кур.	—	—	0,0009	
0,1	0,1	4620	4620	5000	4820	Кур.	—	—	0,0009	
1,5	1,5						0,6	0,6	0,0240	

имеется 3 ледника размерами менее 0,1 км² каждый, общей площадью 0,17 км²

1,7										
-----	--	--	--	--	--	--	--	--	--	--

Пяндж, Амударья, Аральское море)

отрогов Рушанского хребта

0,6	0,6	4400	4400	5400	4790	Кур.	0,4	0,4	0,0125	
0,2	0,2	4400	4400	4800	4570	Кур.	0,1	0,1	0,0024	
0,4 ..	0,4	4480	4480	5040	4730	Кур.	0,2	0,2	0,0068	
5,7	4,4	3740	4040	5800	4650	Кур.	3,2	1,9	0,3674	
0,1	0,1	4940	4940	5240	5080	Кур.	—	—	0,0009	
0,1	0,1	4900	4900	5300	5100	Кур.	—	—	0,0009	
0,3	0,3	4800	4800	5600	5190	Кур.	0,1	0,1	0,0044	
0,1	0,1	5000	5000	5300	5180	Кур.	—	—	0,0009	
0,5	0,5	4300	4300	5300	4840	Кур.	0,2	0,2	0,0095	
1,7	1,7	4100	4100	5300	4700	Кур.	0,9	0,9	0,0598	
1,4	1,2	3700	3900	4700	4240	Кур.	0,7	0,5	0,0447	
0,3	0,3	4700	4700	5300	4990	Кур.	0,1	0,1	0,0044	
3,5	2,6	3900	3950	5520	4600	Кур.	1,8	0,9	0,1768	
1,2	1,2	3900	3900	5200	4490	Кур.	0,6	0,6	0,0355	
0,4	0,4	4300	4300	5100	4620	Кур.	0,2	0,2	0,0068	
0,7	0,7	4060	4060	5100	4480	Кур.	0,4	0,4	0,0158	
1,1	1,1	3900	3900	5200	4490	Кур.	0,6	0,6	0,0311	
0,2	0,2	5140	5140	5600	5430	Кур.	0,1	0,1	0,0024	
18,5	16,1						9,6	7,2	0,7830	

размерами менее 0,1 км² каждый, общей площадью 0,1 км²

18,6										
------	--	--	--	--	--	--	--	--	--	--

Нукбист и Бардара (реки Бартанг, Пяндж, Амударья, Аральское море)

Рушанского хребта

1,2	1,2	4360	4360	5500	4860	Кур.	0,6	0,6	0,0355	
1,7	1,3	4100	4150	5300	4590	Кур.	0,8	0,4	0,0598	
0,2	0,2	4700	4700	5000	4860	Кур.	0,1	0,1	0,0024	
0,6	0,6	4060	4060	5270	4700	Кур.	0,3	0,3	0,0125	
0,3	0,3	4320	4320	5100	4770	Кур.	0,2	0,2	0,0044	
4,0	3,6						2,0	1,6	0,1146	

№ по схеме	Название	Название реки, вытекающей из ледника	Морфологический типа	Общая экспозиция	Наибольшая длина, км	
					всего ледника	в том числе открытой части
1	2	3	4	5	6	7

Бассейн р. Бардара (реки Бартанг,

Юго-западный и северо-восточный склоны отрогов

623	№ 623	пр. р. Бардара	вис. дол.	C3, З	3,1	3,1
624	№ 624	пр. р. Бардара	кар.	C3	1,1	1,1
625	№ 625	пр. р. Бардара	кар.	C3	0,7	0,7
626	№ 626	пр. р. Бардара	дол.	C3, З, ЮЗ	3,9	3,9
627	№ 627	пр. р. Бардара	вис.	ЮЗ	0,5	0,5
628	№ 628	пр. р. Бартанг	кар.	З	0,9	0,9
629	№ 629	пр. р. Бардара	сл. дол.	3, C3	4,1	4,1
630	№ 630		кар.-дол.	ЮЗ	1,9	1,9
631	№ 631		кар.	С	0,7	0,7
632	№ 632	пр. р. Бардара	вис.	C3	0,6	0,6
633	№ 633	пр. р. Бардара	кул.	С	0,7	0,7
634	№ 634	пр. р. Бардара	кул.	С	0,6	0,6
635	№ 635	Садмид	кар.-дол.	ЮВ, Ю	2,7	2,7
636	№ 636	пр. р. Садмид	кар.-дол.	З	1,9	1,9
637	№ 637		кар.	ЮВ	0,9	0,9
638	№ 638		вис.	С	0,5	0,5
639	№ 639	пр. р. Садмид	вис.	С	0,6	0,6
640	№ 640	пр. р. Майдара	кард.-дол.	ЮЗ	1,7	1,7
641	№ 641		вис.	ЮЗ	0,2	0,2
642	№ 642	пр. р. Майдара	кар.-дол.	C3, З, ЮЗ	2,3	2,3
643	№ 643	Майдара	дол.	C3, З, ЮЗ	3,6	3,6
644	№ 644		вис.	ЮЗ	0,4	0,4
645	№ 645	пр. р. Мана	кар.-дол.	C3, З, ЮЗ	2,7	2,2
646	№ 646	пр. р. Мана	вис.	ЮЗ	0,3	0,3
647	№ 647	Мана	перем.	С	2,4	2,0
648	№ 648		кар.	CB	1,5	1,5
649	№ 649	пр. р. Мана	прискл.	CB	0,4	0,4
650	№ 650	пр. р. Мана	кар.-дол.	С	1,9	1,9
651	№ 651	пр. р. Мана	вис.	С	0,6	0,6
652	№ 652	пр. р. Мана	вис.	С	0,6	0,6
653	№ 653	пр. р. Бардара	вис.	C, C3	3,9	2,7
654	№ 654	пр. р. Бардара	дол.	С	2,2	2,2
655	№ 655	пр. р. Бардара	вис. кар.	CB, С	1,7	1,7
656	№ 656	пр. р. Бардара	кар.	С	0,7	0,7
657	№ 657	пр. р. Бардара	вис.	C, З	1,7	1,7
658	№ 658		кар.	ЮЗ	0,6	0,6
659	№ 659	пр. р. Бардара	сл. дол.	C3	4,2	4,2
660	№ 660	пр. р. Бардара	сл. дол.	C3, С	4,2	4,2
661	№ 661		вис.	С	0,4	0,4
662	№ 662	Бардара	сл. дол.	C, В	4,8	4,8
663	№ 663	пр. р. Бардара	дол.	CB, В	4,8	3,7
664	№ 664		кар.	ЮЗ	0,6	0,6
665	№ 665	пр. р. Бардара	прискл.	СВ	0,6	0,6
666*	№ 666	пр. р. Бардара	кар.-дол.	CB, ЮВ	2,3	2,3
667	№ 667	пр. р. Бардара	прискл.	C, CB	1,4	1,4
668	№ 668		вис.	СВ	0,5	0,5
669	№ 669	пр. р. Бардара	кар.	CB	1,1	1,1
670	№ 670	пр. р. Бардара	кар.	CB	0,5	0,5
671	№ 671	Мадвистр	кар.-дол.	CB, C3, С	3,5	3,5
672	№ 672		вис.	CB	0,6	0,6
673	№ 673	пр. р. Бардара	вис.	С	0,8	0,8
674	№ 674	Туршедави	сл. дол.	ЮВ, В, С	7,5	7,5
675	№ 675		вис.	З	0,5	0,5
676	№ 676		сл. дол.	CB, С, C3	5,0	4,9
677	№ 677		кар.-дол.	B, CB	2,6	1,0
678	№ 678		вис.	CB	0,4	0,4
679	№ 679		вис.	CB	0,4	0,4
680	№ 680		дол.	C, В	4,1	3,6
681	№ 681		асимм. кар.	ЮВ	0,8	0,8
682	№ 682	пр. р. Туршедави	вис. дол.	В	2,3	1,3
683	№ 683	пр. р. Туршедави	кар.-дол.	C, CB	2,5	1,5
684*	№ 684	пр. р. Туршедави	сл. дол.	CB, В	2,3	1,3
685	№ 685		вис.	CB	0,4	0,4

Площадь, км ²		Высота, м			Фирновая линия		Площадь области аблации, км ²		Ссылки на последующие таблицы (иллюстрации)	
всего ледника	в том числе открытой части	нижней точки конца ледника	нижней точки открытой части ледника	высшей точки ледника	высота, м	способ определения и дата	общая	в том числе открытой части	Объем льда, км ³	№ таблиц и иллюстраций порядковые № сведений в таблицах
8	9	10	11	12	13	14	15	16	17	18

Пяндж, Амударья, Аральское море)

и северо-западный склон Рушанского хребта

1,8	1,8	4520	4520	5520	4960	Кур.	1,0	1,0	0,0652	
0,3	0,3	4500	4500	5000	4770	Кур.	0,2	0,2	0,0044	
0,2	0,2	4500	4500	5200	4850	Кур.	0,1	0,1	0,0024	
2,7	2,7	4540	4540	5810	5060	Кур.	1,4	1,4	0,1198	
0,1	0,1	5500	5500	5800	5630	Кур.	—	—	0,0009	
0,3	0,3	5000	5000	5540	5260	Кур.	0,2	0,2	0,0044	
3,6	3,6	4400	4400	5620	5000	Кур.	1,8	1,8	0,1844	
0,7	0,7	4800	4800	5800	5190	Кур.	0,4	0,4	0,0158	
0,1	0,1	5100	5100	5500	5320	Кур.	—	—	0,0009	
0,4	0,4	4800	4800	5500	5110	Кур.	0,2	0,2	0,0068	
0,1	0,1	4500	4500	5100	4850	Кур.	—	—	0,0009	
0,1	0,1	4400	4400	5000	4680	Кур.	—	—	0,0009	
1,5	1,5	4280	4280	5500	5010	Кур.	0,6	0,6	0,0496	
1,0	1,0	4400	4400	5200	4830	Кур.	0,5	0,5	0,0270	
0,4	0,4	4700	4700	5500	5090	Кур.	0,2	0,2	0,0068	
0,1	0,1	4800	4800	5100	4960	Кур.	—	—	0,0009	
0,2	0,2	4800	4800	5200	4980	Кур.	0,1	0,1	0,0024	
0,5	0,5	4800	4800	5600	5130	Кур.	0,3	0,3	0,0095	
0,1	0,1	5800	5800	5930	5880	Кур.	—	—	0,0009	
0,8	0,8	4800	4800	5860	5200	Кур.	0,4	0,4	0,0193	
2,8	2,8	4340	4340	5500	5290	Кур.	0,7	0,7	0,1265	
0,1	0,1	5600	5600	5800	5690	Кур.	—	—	0,0009	
1,6	1,5	4440	4550	5770	5030	Кур.	0,8	0,7	0,0546	
0,2	0,2	5100	5100	5300	5190	Кур.	0,1	0,1	0,0024	
1,7	1,6	4760	4800	5300	4960	Кур.	0,8	0,7	0,0598	
0,5	0,5	4780	4780	5200	4970	Кур.	0,3	0,3	0,0095	
0,2	0,2	4500	4500	4800	4640	Кур.	0,1	0,1	0,0024	
0,9	0,9	4400	4400	5420	5050	Кур.	0,4	0,4	0,0231	
0,2	0,2	4800	4800	5240	5020	Кур.	0,1	0,1	0,0024	
0,1	0,1	4860	4860	5100	4940	Кур.	—	—	0,0009	
2,8	2,2	4100	4400	5330	4840	Кур.	1,1	0,5	0,1265	
1,1	1,1	4700	4700	5600	4940	Кур.	0,8	0,8	0,0311	
0,6	0,6	4580	4580	5570	4980	Кур.	0,3	0,3	0,0125	
0,2	0,2	4620	4620	5200	4860	Кур.	0,1	0,1	0,0024	
0,7	0,7	4600	4600	5500	4960	Кур.	0,4	0,4	0,0158	
0,1	0,1	5000	5000	5400	5200	Кур.	—	—	0,0009	
4,2	4,2	4480	4480	5420	4960	Кур.	2,2	2,2	0,2324	
3,0	3,0	4440	4440	5420	4920	Кур.	1,6	1,6	0,1403	
0,1	0,1	5200	5200	5470	5370	Кур.	—	—	0,0009	
6,0	6,0	4500	4500	5360	4870	Кур.	3,2	3,2	0,3968	
5,2	4,4	4500	4610	5400	4860	Кур.	3,0	2,2	0,3202	
0,2	0,2	4900	4900	5200	5030	Кур.	0,1	0,1	0,0024	
0,1	0,1	4500	4500	4700	4580	Кур.	—	—	0,0009	
1,7	1,5	4500	4500	5480	4930	Кур.	0,9	0,7	0,0598	
0,7	0,7	4400	4400	5000	4710	Кур.	0,3	0,3	0,0158	
0,1	0,1	4800	4800	5000	4910	Кур.	—	—	0,0009	
0,3	0,3	4600	4600	5300	5000	Кур.	0,1	0,1	0,0044	
0,1	0,1	5300	5300	5600	5470	Кур.	—	—	0,0009	
2,0	2,0	4400	4400	5490	4950	Кур.	1,1	1,1	0,0764	
0,2	0,2	5000	5000	5400	5210	Кур.	0,1	0,1	0,0024	
0,2	0,2	4500	4500	5040	4800	Кур.	0,1	0,1	0,0024	
6,1	6,1	4100	4100	5600	4930	Кур.	2,9	2,9	0,4068	
0,1	0,1	5000	5000	5300	5170	Кур.	—	—	0,0009	
3,8	3,7	4360	4380	5570	4920	Кур.	1,9	1,8	0,2003	
1,7	1,1	4380	4450	5170	4680	Кур.	0,9	0,3	0,0598	
0,1	0,1	5000	5000	5300	5170	Кур.	—	—	0,0009	
0,1	0,1	5000	5000	5300	5170	Кур.	—	—	0,0009	
2,7	2,3	4100	4300	5520	4880	Кур.	1,2	0,8	0,1198	
0,2	0,2	4940	4940	5300	5120	Кур.	0,1	0,1	0,0024	
1,1	0,7	4800	5000	5600	5140	Кур.	0,6	0,2	0,0311	
1,9	1,5	4100	4580	5500	4810	Кур.	0,9	0,5	0,0707	
1,5	0,9	4200	4500	5100	4660	Кур.	0,7	0,1	0,0496	
0,1	0,1	5000	5000	5200	5110	Кур.	—	—	0,0009	

№ по схеме	Название	Название реки, вытекающей из ледника	Морфологический тип	Общая экспозиция	Наибольшая длина, км	
					всего ледника	в том числе открытой части
1	2	3	4	5	6	7
686	№ 686	пр. р. Бардара	кар.-дол.	СВ	2,2	0,7
687	№ 687	пр. р. Бардара	кар.	С, СВ	1,5	0,4
688	№ 688	пр. р. Шевчор	вис.	С3	1,1	1,1
689*	№ 689	Шевчор	сл. дол.	С3, С, СВ	4,7	4,7
690	№ 690		вис.	С3	1,0	1,0
691	№ 691		вис.	СВ	1,1	1,1
692	№ 692	пр. р. Шевчор	кул.	СВ	1,5	1,5
693	№ 693	пр. р. Шевчор	сл. дол.	ЮВ, В	3,5	1,8
694	№ 694	пр. р. Шевчор	сл. дол.	ЮВ, В, СВ	4,5	4,5
695	№ 695	пр. р. Шевчор	кар.	СВ, ЮВ, СВ	1,8	1,8
696	№ 696	пр. р. Шевчор	кар.	СВ	1,7	1,7
697	№ 697	пр. р. Шевчор	кар.-дол.	СВ, В	2,2	2,2
698	№ 698	пр. р. Шевчор	дол.	СВ, В	2,3	1,3
699	№ 699	пр. р. Шевчор	кар.	СВ, В	1,5	0,9
700	№ 700	пр. р. Бардара	кар.	СВ	1,9	1,9
701	№ 701	пр. р. Бардара	кар.	СВ	1,2	1,2
79 ледников						

Кроме того, в бассейне р. Бардара имеется 9 ледников

Итого 88 ледников

702	№ 702	пр. р. Бартанга	вис.	С	Северный склон отрога	
					1,1	1,1
703	№ 703	пр. р. Девлех	вис.	С	1,1	1,1
704	№ 704	пр. р. Девлех	кар.	С	0,7	0,7
705	№ 705	пр. р. Девлех	вис.	С	0,9	0,9
706	№ 706	Ярзыв	кар.	3	0,8	0,8
707	№ 707	пр. р. Девлех	асимм. кар.	3	1,5	1,5
708	№ 708	пр. р. Девлех	асимм. кар.	3, ЮЗ	1,6	1,6
709	№ 709		вис.	С	0,4	0,4
710	№ 710	пр. р. Девлех	вис. кар.	С3, З	1,4	1,4
711	№ 711	пр. р. Девлех	вис.	Ю	1,3	1,3
712	№ 712	пр. р. Девлех	вис.	Ю	0,5	0,5
713	№ 713	пр. р. Девлех	кар.	3	1,1	1,1
714	№ 714	пр. р. Девлех	кар.	ЮЗ	0,5	0,5
715	№ 715	Девлех	кар.-дол.	С, С3	4,6	4,6
716	№ 716	пр. р. Девлех	прискл.	С	0,7	0,7
717	№ 717	пр. р. Девлех	сл. дол.	С	6,2	5,6
718	№ 718	пр. р. Девлех	вис.	СВ	0,7	0,7
719	№ 719	пр. р. Девлех	кул.	С	0,9	0,9
720	№ 720	пр. р. Девлех	кул.	С	1,0	1,0
721	№ 721	пр. р. Девлех	кар.-вис.	С3	0,5	0,5
722	№ 722	пр. р. Девлех	дол.	СВ, С	5,9	5,9
723	№ 723		кар.-вис.	С3	1,1	1,1
724	№ 724		дол.	СВ	3,4	3,4
725	№ 725	пр. р. Девлех	кар.	СВ	3,5	3,5
726	№ 726	пр. р. Девлех	кар.-дол.	В, ЮВ, СВ	2,6	2,6
727	№ 727	пр. р. Девлех	вис.	С	1,1	1,1
728	№ 728	пр. р. Девлех	вис.	С	0,9	0,9
729	№ 729	пр. р. Девлех	вис. кар.	СВ, С	2,1	2,1
730	№ 730	пр. р. Девлех	кар.-дол.	С, СВ	2,3	2,3
731	№ 731	пр. р. Гейдара	вис.	С3	0,7	0,7
732	№ 732	пр. р. Гейдара	кар.-дол.	С3	1,8	1,8
733	№ 733		вис.	С3	0,8	0,8
734	№ 734	Гейдара	сл. дол.	3, С3	6,8	6,8
735	№ 735		кар.-вис.	С3	1,5	1,5
736	№ 736		вис.	С3	0,7	0,7
737	№ 737		кар.-вис.	С3	1,3	1,3
738	№ 738		вис.	Ю	0,4	0,4

Бассейн левого безымянного притока р. Бартанга между устьями рек

Северный склон отрога

Площадь, км ²		Высота, м				Фирновая линия		Площадь области аблации, км ²		Ссылки на последующие таблицы (иллюстрации) № таблиц и иллюстраций порядковые № сведений в таблицах
всего ледника	в том числе открытоей части	нижней точки конца ледника	нижней точки открытоей части ледника	высшей точки ледника	высота, м	способ определения и дата	область	в том числе открытоей части	Объем льда, км ³	
8	9	10	11	12	13	14	15	16	17	18
0,9	0,4	3940	4500	5000	4510	Кур.	0,5	—	0,0231	
0,4	0,3	4000	4400	5000	4530	Кур.	0,2	0,1	0,0068	
0,3	0,3	4400	4400	5000	4690	Кур.	0,2	0,2	0,0044	
5,2	5,1	4380	4380	5780	5010	Кур.	2,7	2,6	0,3202	
0,3	0,3	5000	5000	5500	5220	Кур.	0,2	0,2	0,0044	
0,5	0,5	4800	4800	5400	5120	Кур.	0,2	0,2	0,0095	
0,3	0,3	4700	4700	5400	5030	Кур.	0,2	0,2	0,0044	
3,2	2,0	4250	4450	5600	4770	Кур.	1,7	0,5	0,1546	
3,8	3,8	3460	3460	5200	4350	Кур.	1,6	1,6	0,2000	
0,7	0,7	4200	4200	5200	4660	Кур.	0,4	0,4	0,0158	
0,6	0,6	4200	4200	5000	4600	Кур.	0,3	0,3	0,0125	
1,1	1,1	4500	4500	5300	4900	Кур.	0,6	0,6	0,0311	
0,8	0,5	4340	4600	5200	4740	Кур.	0,4	0,1	0,0193	
0,5	0,3	4660	4750	5200	4850	Кур.	0,3	0,1	0,0095	
0,9	0,9	4160	4160	5200	4690	Кур.	0,4	0,4	0,0231	
0,4	0,4	4600	4600	5300	4960	Кур.	0,2	0,2	0,0068	
92,2	85,5						45,4	38,7	4,0411	
размерами менее 0,1 км ² каждый, общей площадью 0,5 км ²										
92,7										
Бардара и Девлех (реки Бартанг, Пяндж, Амударья, Аральское море)										
Рушанского хребта										
0,5	0,5	4400	4400	5100	4730	Кур.	0,2	0,2	0,0095	
Пяндж, Амударья, Аральское море)										
склон Рушанского хребта										
0,3	0,3	4800	4800	5140	4940	Кур.	0,2	0,2	0,0044	
0,1	0,1	4520	4520	4800	4650	Кур.	—	—	0,0009	
0,1	0,1	4500	4500	5000	4740	Кур.	—	—	0,0009	
0,2	0,2	4640	4640	4760	4710	Кур.	0,1	0,1	0,0024	
0,4	0,4	4860	4860	5400	5090	Кур.	0,2	0,2	0,0068	
0,5	0,5	5040	5040	5410	5160	Кур.	0,3	0,3	0,0095	
0,1	0,1	5100	5100	5220	5170	Кур.	—	—	0,0009	
0,4	0,4	4640	4640	5300	4950	Кур.	0,2	0,2	0,0068	
0,3	0,3	5100	5100	5700	5390	Кур.	0,2	0,2	0,0044	
0,1	0,1	5500	5500	5780	5650	Кур.	—	—	0,0009	
0,2	0,2	5000	5000	5400	5180	Кур.	0,1	0,1	0,0024	
0,1	0,1	5100	5100	5400	5240	Кур.	—	—	0,0009	
4,1	4,1	4580	4580	5600	4880	Кур.	2,3	2,3	0,2242	
0,3	0,3	4580	4580	5300	4810	Кур.	0,2	0,2	0,0044	
7,7	7,5	4300	4500	5400	4920	Кур.	3,6	3,4	0,5769	
0,1	0,1	4700	4700	5200	4940	Кур.	—	—	0,0009	
0,1	0,1	4500	4500	5360	5020	Кур.	—	—	0,0009	
0,2	0,2	4500	4500	5360	4970	Кур.	0,1	0,1	0,0024	
0,2	0,2	4600	4600	4900	4780	Кур.	0,1	0,1	0,0024	
7,9	7,9	4260	4260	5550	4870	Кур.	4,1	4,1	0,5995	
0,3	0,3	4600	4600	5200	4920	Кур.	0,1	0,1	0,0044	
1,3	1,3	4440	4440	5200	4820	Кур.	0,6	0,6	0,0400	
2,9	2,9	4500	4500	5400	4830	Кур.	1,7	1,7	0,1333	
1,1	1,1	4600	4600	5500	4940	Кур.	0,6	0,6	0,0311	
0,2	0,2	4300	4300	4860	4660	Кур.	0,1	0,1	0,0024	
0,1	0,1	4400	4400	4860	4710	Кур.	—	—	0,0009	
0,6	0,6	4200	4200	5400	4940	Кур.	0,2	0,2	0,0125	
1,1	1,1	4360	4360	5550	5040	Кур.	0,5	0,5	0,0311	
0,1	0,1	4600	4600	5200	4900	Кур.	—	—	0,0009	
0,6	0,6	4500	4500	5340	4940	Кур.	0,3	0,3	0,0125	
0,3	0,3	4900	4900	5340	5130	Кур.	0,1	0,1	0,0044	
11,5	11,5	3880	3880	6080	4730	Кур.	6,4	6,4	1,0530	
0,7	0,7	4580	4580	5420	4950	Кур.	0,3	0,3	0,0158	
0,1	0,1	5100	5100	5300	5220	Кур.	—	—	0,0009	
0,4	0,4	4540	4540	5300	4870	Кур.	0,2	0,2	0,0068	
0,1	0,1	5250	5250	5420	5340	Кур.	—	—	0,0009	

рис. 45
рис. 45

№ по схеме	Название	Название реки, вытекающей из ледника	Морфологический тип	Общая экспозиция	Наибольшая длина, км	
					всего ледника	в том числе открытой части
1	2	3	4	5	6	7
739	№ 739		кар.	ЮЗ	0,8	0,8
740	№ 740	Гейдара	вис.	С	0,5	0,5
741	№ 741	Гейдара	кар.	СВ	2,8	2,8
742	№ 742	пр. р. Гейдара	вис.	С	0,2	0,2
743	№ 743	пр. р. Гейдара	вис.	С	0,3	0,3
744	№ 744	пр. р. Гейдара	вис.	С	0,6	0,6
745	№ 745	пр. р. Гейдара	кул.	СВ	1,7	1,7
746	№ 746	пр. р. Гейдара	кар.	В	1,8	1,8
747	№ 747	пр. р. Гейдара	кар.	В	2,0	2,0
748	№ 748	пр. р. Гейдара	кар.	В	2,5	2,5
749	№ 749	пр. р. Гейдара	кар.	СВ	1,5	1,5
750	№ 750	пр. р. Гейдара	кул.	С	0,9	0,9
751	№ 751	пр. р. Гейдара	сл. дол.	СВ, В	3,1	2,1
752	№ 752		вис.	С	1,3	1,3
753	№ 753		кар.	Ю	0,7	0,7
754	№ 754		кар.	ЮВ	1,0	1,0
755	№ 755	пр. р. Девлех	асимм. кар.	ЮВ	1,9	1,9
756	№ 756	пр. р. Девлех	дол.	СВ, ЮВ	2,7	2,7
757	№ 757	пр. р. Девлех	кар.-дол.	СВ	1,8	1,8
758	№ 758	пр. р. Девлех	вис.	С3	0,6	0,6
759*	Маркор	пр. р. Девлех	сл. дол.	С, СВ	7,1	7,1
760	№ 760		вис.	С3	0,6	0,6
761	№ 761		вис.	С3	0,6	0,6
762	№ 762		вис.	3	0,7	0,7
763	№ 763		кар.	ЮВ	1,0	1,0
764	№ 764	пр. р. Девлех	кар.	С, СВ	1,6	1,6
62 ледника						

Кроме того, в бассейне р. Девлех имеется 6 ледников

Итого 68 ледников

Бассейн левого безымянного притока р. Бартанга между устьями рек

Северный склон отрога

765	№ 765	пр. р. Бартанга	вис.	С3	0,5	0,5
766	№ 766		вис.	С	0,4	0,4
767	№ 767	пр. р. Бартанга	кар.	С	0,7	0,7
768	№ 768	пр. р. Бартанга	кар.-дол.	С3, СВ	3,9	3,9
769	№ 769		вис.	С3	0,4	0,4
5 ледников						

Бассейн р. Уеднив (реки Бартанг,

Северный склон отрога

770	№ 770	пр. р. Уеднив	вис.	С3	0,6	0,6
771	№ 771	пр. р. Уеднив	кар.	СВ	2,2	2,2
772	№ 772		вис.	С3	0,5	0,5
773	№ 773	Уеднив	дол.	С3	2,9	2,9
774	№ 774	пр. р. Уеднив	кар.	СВ	1,1	1,1
775	№ 775	пр. р. Уеднив	кар.-дол.	С, СВ	2,3	2,3
776	№ 776		вис.	С	0,4	0,4
777	№ 777		кар.	ЮВ	0,8	0,8
778	№ 778	пр. р. Уеднив	кар.	СВ	0,8	0,8
779	№ 779	пр. р. Уеднив	прискл. кар.	СВ	0,9	0,9
10 ледников						

Бассейн р. Чадегив (реки Бартанг,

Северный склон отрога

780	№ 780	Чадегив	дол.	СВ, В	3,0	3,0
781	№ 781	пр. р. Чадегив	кул.	В	0,8	0,8
782	№ 782	пр. р. Чадегив	кар.	С3	0,8	0,8
3 ледника						

Площадь, км ²		Высота, м			Фирновая линия		Площадь области аблации, км ²		Ссылки на последующие таблицы (илюстрации) № таблиц и иллюстраций порядковые № сведений в таблицах
всего ледника	в том числе открытой части	нижней точки хонца ледника	нижней точки открытой части ледника	высшей точки ледника	высота, м	способ определения и дата	общая	в том числе открытой части	
8	9	10	11	12	13	14	15	16	
0,2	0,2	4800	4800	5200	4970	Кур.	0,1	0,1	0,0024
0,1	0,1	4360	4360	4700	4520	Кур.	—	—	0,0009
2,0	2,0	4400	4400	5500	4940	Кур.	1,1	1,1	0,0764
0,1	0,1	4500	4500	4680	4600	Кур.	—	—	0,0009
0,1	0,1	4500	4500	4620	4590	Кур.	—	—	0,0009
0,1	0,1	4500	4500	4700	4600	Кур.	—	—	0,0009
0,5	0,5	4500	4500	5200	4840	Кур.	0,2	0,2	0,0095
1,0	1,0	4520	4520	5300	4910	Кур.	0,5	0,5	0,0270
1,2	1,2	4460	4460	5200	4790	Кур.	0,6	0,6	0,0355
0,9	0,9	4540	4540	5300	4780	Кур.	0,6	0,6	0,0231
0,7	0,7	4400	4400	4860	4670	Кур.	0,3	0,3	0,0158
0,2	0,2	4400	4400	4840	4670	Кур.	0,1	0,1	0,0024
2,4	2,0	4180	4420	5200	4620	Кур.	1,3	0,9	0,1004
0,3	0,3	4380	4380	5200	4800	Кур.	0,1	0,1	0,0044
0,2	0,2	4600	4600	4900	4740	Кур.	0,1	0,1	0,0024
0,3	0,3	4600	4600	4900	4780	Кур.	0,1	0,1	0,0044
0,9	0,9	4440	4440	5370	4840	Кур.	0,5	0,5	0,0231
1,3	1,3	4200	4200	5400	4960	Кур.	0,6	0,6	0,0400
0,7	0,7	4200	4200	5070	4700	Кур.	0,3	0,3	0,0158
0,4	0,4	4700	4700	5210	5020	Кур.	0,2	0,2	0,0068
8,8	8,8	3900	3900	5600	4510	Кур.	5,1	5,1	0,7048
0,1	0,1	4700	4700	5100	4920	Кур.	—	—	0,0009
0,1	0,1	4700	4700	5200	5020	Кур.	—	—	0,0009
0,3	0,3	4600	4600	5300	4980	Кур.	0,1	0,1	0,0044
0,3	0,3	4640	4640	4840	4730	Кур.	0,1	0,1	0,0044
1,0	1,0	4200	4200	5390	4830	Кур.	0,5	0,5	0,0270
69,0	68,4						35,3	34,7	3,9391

размерами менее 0,1 км², каждый общий площадью 0,3 км²

69,3

Девлех и Уеднив (реки Бартанг, Пяндж, Амударья, Аральское море)

Рушанского хребта

0,2	0,2	4800	4800	5250	5070	Кур.	0,1	0,1	0,0024
0,2	0,2	4900	4900	5220	5080	Кур.	0,1	0,1	0,0024
0,3	0,3	4180	4180	4500	4330	Кур.	0,1	0,1	0,0044
4,4	4,4	4200	4200	5170	4720	Кур.	2,2	2,2	0,2492
0,2	0,2	4700	4700	5100	4930	Кур.	0,1	0,1	0,0024
5,3	5,3						2,6	2,6	0,2608

Пяндж, Амударья, Аральское море)

Рушанского хребта

0,2	0,2	4500	4500	4900	4760	Кур.	0,1	0,1	0,0024
1,2	1,2	4300	4300	5000	4540	Кур.	0,8	0,8	0,0355
0,1	0,1	4600	4600	4900	4790	Кур.	—	—	0,0009
1,6	1,6	3800	3800	5000	4340	Кур.	0,8	0,8	0,0546
0,7	0,7	3800	3800	4040	3930	Кур.	0,3	0,3	0,0158
1,3	1,3	3950	3950	4800	4260	Кур.	0,8	0,8	0,0400
0,2	0,2	4780	4780	5020	4890	Кур.	0,1	0,1	0,0024
0,3	0,3	4400	4400	4680	4550	Кур.	0,1	0,1	0,0044
0,3	0,3	4450	4450	4780	4610	Кур.	0,2	0,2	0,0044
0,3	0,3	4200	4200	4800	4530	Кур.	0,2	0,2	0,0044
6,2	6,2						3,4	3,4	0,1648

Пяндж, Амударья, Аральское море)

Рушанского хребта

1,7	1,7	4200	4200	5120	4620	Кур.	0,9	0,9	0,0598
0,1	0,1	4100	4100	4400	4240	Кур.	—	—	0,0009
0,2	0,2	4600	4600	5120	4850	Кур.	0,1	0,1	0,0024
2,0	2,0						1,0	1,0	0,0631

№ по схеме	Название	Название реки, вытекающей из ледника	Морфологический тип	Общая экспозиция	Наибольшая длина, км	
					всего ледника	в том числе открытой части
1	2	3	4	5	6	7

Бассейн р. Даржомчдара (реки Бартанг,

Северный склон отрога

783	№ 783	Даржомчдара	дол.	C, C3	4,0	3,2
-----	-------	-------------	------	-------	-----	-----

Бассейн р. Хацвордара (реки Бартанг,

Северный склон отрога Рушанского хребта,

784	№ 784	пр. р. Хацвордара	кар.	3, C3	1,4	1,4
785	№ 785	пр. р. Хацвордара	дол.	C, C3	2,5	2,0
786	№ 786		кар.-дол.	C3	1,6	1,6
787	№ 787	пр. р. Хацвордара	кар.-дол.	C	2,5	1,8
788	№ 788	Хацвордара	кар.-дол.	C, CB	3,4	3,4
789	№ 789	пр. р. Хацвордара	дол.	CB	1,6	1,6
790	№ 790	пр. р. Хацвордара	кар.	CB	0,7	0,7
791	№ 791	пр. р. Хацвордара	кар.	CB	0,7	0,7
8 ледников						

Бассейн р. Тавдара (реки Бартанг,

Юго-западный склон гор Якицвер,

792	№ 792	Тавдара	кар.	3	1,3	1,3
793	№ 793	пр. р. Тавдара	кар.	C3	1,3	1,3
794	№ 794	пр. р. Тавдара	кар.	C	1,4	1,4
3 ледника						

Бассейн р. Раумиддара (реки Бартанг,

Западные и восточные склоны отрогов и

795	№ 795	пр. р. Раумиддара	кар.	3	1,7	1,7
796	№ 796	пр. р. Раумиддара	кар.	3	0,8	0,8
797	№ 797	пр. р. Раумиддара	кар.	ЮЗ	1,5	1,5
798	№ 798		вис.	3	0,6	0,6
799*	Бавраз	пр. р. Раумиддара	дол.	ЮЗ	2,0	2,0
800	№ 800	пр. р. Раумиддара	дол.	C3	2,0	2,0
801	№ 801	пр. р. Раумиддара	дол.	C, C3	4,4	4,4
802	№ 802		кар.-вис.	C3	0,7	0,7
803	№ 803	пр. р. Раумиддара	кар.-дол.	ЮЗ	4,6	4,6
804	№ 804		кар.	C3	0,5	0,5
805	№ 805	пр. р. Раумиддара	дол.	C3	2,6	2,6
806*	Удариф	Раумиддара	сл. дол.	CB, C, CB	7,5	7,5
807	№ 807	пр. р. Раумиддара	кар.	CB	2,5	2,5
808	№ 808	пр. р. Раумиддара	кар.	ЮВ	1,4	1,4
809	№ 809	пр. р. Раумиддара	вис.	ЮВ	0,9	0,9
810	№ 810	пр. р. Раумиддара	кар.-дол.	CB	1,8	1,8
811	№ 811	пр. р. Раумиддара	вис.	B	0,6	0,6
812	№ 812	пр. р. Раумиддара	вис.	C	0,7	0,7
813	№ 813	пр. р. Раумиддара	вис. дол.	C	1,7	1,7
814	№ 814	Цахдара	дол.	C	4,7	4,7
815	№ 815		кар.	CB	1,2	1,2
816	№ 816		вис.	CB	1,5	1,5
817	№ 817		прискл.	B	1,1	1,1
818	№ 818	пр. р. Цахдара	кар.-дол.	B	1,5	1,5
819	№ 819	пр. р. Раумиддара	дол.	CB, C	3,6	3,6
820	№ 820		вис. дол.	CB	1,1	1,1
821	№ 821	пр. р. Раумиддара	дол.	C, CB	5,3	5,3
822	№ 822	пр. р. Раумиддара	кар.-вис.	C	1,2	1,2
823	№ 823	пр. р. Раумиддара	кар.	CB	0,9	0,9
824	№ 824	Вионвар	кар.-дол.	C	2,9	2,9
825	№ 825	пр. р. Вионвар	вис.	C	0,9	0,9
826	№ 826	пр. р. Виздара	кар.	ЮЗ	1,2	1,2
827	№ 827	пр. р. Виздара	вис. дол.	C3	1,7	1,7
828	№ 828	пр. р. Виздара	кар.-дол.	C3, ЮЗ	2,1	2,1
829	№ 829	пр. р. Виздара	кар.-дол.	C3	3,8	3,8
830	№ 830	Виздара	сл. дол.	C3	7,9	7,9

Площадь, км ²		Высота, м			Фирновая линия		Площадь области аблации, км ²		Ссылки на последующие таблицы (илюстрации) № таблиц и иллюстраций порядковые № сведений в таблицах	Объем льда, км ³
всего ледника	в том числе открытой части	нижней точки конца ледника	нижней точки открытоей части ледника	высшей точки ледника	высота, м	способ определения и дата	общая	в том числе открытой части		
8	9	10	11	12	13	14	15	16	17	18

Пяндж, Амударья, Аральское море)

Рушанского хребта

2,1	1,9	4060	4200	5200	4600	Kур.	0,9	0,7	0,0822	
-----	-----	------	------	------	------	------	-----	-----	--------	--

Пяндж, Амударья, Аральское море)

восточный склон хр. Хацвор

0,4	0,4	4240	4240	5100	4620	Kур.	0,2	0,2	0,0068	
0,9	0,8	3700	3900	4800	4260	Kур.	0,5	0,4	0,0231	
0,8	0,8	4300	4300	5080	4650	Kур.	0,4	0,4	0,0193	
1,4	1,3	3800	4000	4840	4260	Kур.	0,6	0,5	0,0447	
2,8	2,8	3740	3740	5000	4420	Kур.	1,3	1,3	0,1265	
0,4	0,4	3800	3800	4500	4170	Kур.	0,2	0,2	0,0068	
0,1	0,1	4100	4100	4400	4270	Kур.	—	—	0,0009	
0,1	0,1	3800	3800	4200	3980	Kур.	—	—	0,0009	
6,9	6,7						3,2	3,0	0,2290	

Пяндж, Амударья, Аральское море)

северный склон отрога Рушанского хребта

0,7	0,7	4200	4200	5130	4590	Kур.	0,4	0,4	0,0158	
0,7	0,7	3800	3800	5000	4490	Kур.	0,3	0,3	0,0158	
0,6	0,6	3900	3900	4600	4240	Kур.	0,3	0,3	0,0125	
2,0	2,0						1,0	1,0	0,0441	

Пяндж, Амударья, Аральское море)

северный склон Рушанского хребта

0,5	0,5	4300	4300	5300	4750	Kур.	0,3	0,3	0,0095	
0,2	0,2	4800	4800	5500	5150	Kур.	0,1	0,1	0,0024	
0,4	0,4	4080	4080	4800	4430	Kур.	0,2	0,2	0,0068	
0,2	0,2	4600	4600	5100	4840	Kур.	0,1	0,1	0,0024	
0,4	0,4	3800	3800	4600	4200	Kур.	0,2	0,2	0,0068	
0,6	0,6	4630	4630	5400	5030	Kур.	0,3	0,3	0,0125	
2,3	2,3	4240	4240	5700	4910	Kур.	1,2	1,2	0,0942	
0,2	0,2	4500	4500	5100	4810	Kур.	0,1	0,1	0,0024	
4,0	4,0	4040	4040	5342	4670	Kур.	2,2	2,2	0,2160	
0,1	0,1	4900	4900	5300	5110	Kур.	—	—	0,0009	
1,0	1,0	4080	4080	5160	4550	Kур.	0,5	0,5	0,0270	
13,6	13,6	4060	4060	5600	4780	Kур.	7,0	7,0	1,3542	
1,6	1,6	4600	4600	5100	4840	Kур.	0,7	0,7	0,0546	
0,6	0,6	4600	4600	5100	4820	Kур.	0,3	0,3	0,0125	
0,1	0,1	4650	4650	5100	4870	Kур.	—	—	0,0009	
0,8	0,8	4100	4100	5000	4590	Kур.	0,4	0,4	0,0193	
0,2	0,2	4600	4600	5000	4790	Kур.	0,1	0,1	0,0024	
0,3	0,3	4600	4600	5000	4790	Kур.	0,2	0,2	0,0044	
0,5	0,5	4640	4640	5200	4950	Kур.	0,2	0,2	0,0095	
3,3	3,3	4040	4040	5400	4700	Kур.	1,3	1,3	0,1619	
0,4	0,4	4400	4400	4660	4500	Kур.	0,2	0,2	0,0068	
0,1	0,1	4840	4840	5300	5030	Kур.	—	—	0,0009	
0,6	0,6	4500	4500	5200	4810	Kур.	0,3	0,3	0,0125	
0,4	0,4	4060	4060	4700	4390	Kур.	0,2	0,2	0,0068	
1,1	1,1	3700	3700	5200	4440	Kур.	0,5	0,5	0,0311	
0,2	0,2	4300	4300	4800	4490	Kур.	0,1	0,1	0,0024	
3,0	3,0	3540	3540	5220	4320	Kур.	1,5	1,5	0,1403	
0,2	0,2	4240	4240	4800	4520	Kур.	0,1	0,1	0,0024	
0,2	0,2	3700	3700	4100	3900	Kур.	0,1	0,1	0,0024	
1,6	1,6	4000	4000	5180	4750	Kур.	0,8	0,8	0,0546	
0,3	0,3	4400	4400	4900	4690	Kур.	0,1	0,1	0,0044	
0,2	0,2	3700	3700	4400	4080	Kур.	0,1	0,1	0,0024	
0,4	0,4	3700	3700	4300	3960	Kур.	0,2	0,2	0,0068	
0,6	0,6	4050	4050	5300	4550	Kур.	0,3	0,3	0,0125	
2,6	2,6	4220	4220	5140	4790	Kур.	1,0	1,0	0,1132	
12,3	12,3	3900	3900	5500	4540	Kур.	6,7	6,7	1,1647	

№ по схеме	Название	Название реки, вытекающей из ледника	Морфологический тип	Общая экспозиция	Наибольшая длина, км	
					всего ледника	в том числе в открытой части
1	2	3	4	5	6	7
831	№ 831		сл. дол.	3	2,2	2,2
832	№ 832		кул.	СВ	0,9	0,9
833	№ 833	пр. р. Биздара	вис.	С	1,2	1,2
834	№ 834	пр. р. Биздара	дол.	СВ	2,0	2,0
835	№ 835	пр. р. Биздара	кул.	СВ	1,9	1,9
836	№ 836	пр. р. Биздара	вис.	СВ	1,0	1,0
837	№ 837	пр. р. Биздара	вис.	СВ	0,6	0,6
838	№ 838	пр. р. Биздара	кар.	В	0,9	0,9
839	№ 839	пр. р. Биздара	вис. дол.	СВ	2,4	2,4
840	№ 840	пр. р. Биздара	вис. дол.	СВ	2,2	2,2
841	№ 841	пр. р. Биздара	вис.	С	0,9	0,9
842	№ 842	пр. р. Раумиддара	кар.	С	0,6	0,6
843	№ 843	пр. р. Вошорвдара	вис. кар.	3	1,3	1,3
844	№ 844	Вошорвдара	сл. дол.	С3	4,2	4,2
845	№ 845	пр. р. Вошорвдара	кар.	С	1,6	1,6
846	№ 846	пр. р. Вошорвдара	кар.	СВ	0,6	0,6
847	№ 847	пр. р. Шувдара	кар.	3	1,0	1,0
848	№ 848	пр. р. Шувдара	кар.	С3	1,5	1,5
849	№ 849	пр. р. Шувдара	кар.	С3	2,2	2,2
850	№ 850	Шувдара	сл. дол.	С	3,3	3,3
851	№ 851	пр. р. Шувдара	дол.	СВ	4,6	4,6
852	№ 852	пр. р. Шувдара	вис.	С	1,1	1,1
853	№ 853	пр. р. Шувдара	дол.	СВ	4,2	4,2
854	№ 854		кар.-дол.	СВ	2,1	2,1
855	№ 855	пр. р. Шувдара	кар.	СВ	1,5	1,5
856	№ 856	пр. р. Шувдара	кар.	С	0,4	0,4
857	№ 857	пр. р. Шувдара	дол.	СВ	3,0	3,0
858	№ 858		вис.	СВ	0,5	0,5
859	№ 859		вис.	СВ	0,6	0,6
860	№ 860	пр. р. Шувдара	кар.	СВ	1,2	1,2
861	№ 861	пр. р. Шувдара	асимм. кар.	СВ	1,1	1,1
862	№ 862	пр. р. Шувдара	вис.	СВ	0,5	0,5
68 ледников						

Кроме того, в бассейне р. Раумиддара

Итого 69 ледников

Бассейн р. Джизевдара (реки Бартанг,

Северо-восточный склон отрога и

863	№ 863	пр. р. Джизевдара	кар.	С3, 3	1,0	1,0
864	№ 864	Джизевдара	кар.-дол.	СВ, С	4,4	4,4
865	№ 865	пр. р. Джизевдара	кар.-дол.	В, СВ	3,6	3,6
866	№ 866	пр. р. Джизевдара	кар.	ЮВ	0,4	0,4
867*	№ 867	пр. р. Джизевдара	кар.-дол.	СВ	2,6	2,6
868	№ 868	пр. р. Джизевдара	кар.	С	0,9	0,9
869	№ 869	пр. р. Джизевдара	кар.-дол.	СВ	3,4	3,4
870	№ 870	пр. р. Джизевдара	кар.-дол.	СВ	2,5	2,5
871	№ 871	пр. р. Джизевдара	кар.-дол.	СВ	2,5	2,5
872	№ 872	пр. р. Джизевдара	кар.	В, ЮВ	1,4	1,4
873	№ 873	пр. р. Джизевдара	дол.	СВ	3,0	3,0
874	№ 874	пр. р. Джизевдара	асимм. дол.	В, ЮВ	1,6	1,6
875	№ 875	пр. р. Джизевдара	кар.	СВ	0,8	0,8
876	№ 876	пр. р. Джизевдара	дол.	В, СВ	4,2	4,2
877	№ 877	пр. р. Джизевдара	дол.	В, СВ	3,6	3,6
878	№ 878	пр. р. Джизевдара	кар.	СВ	0,8	0,8
16 ледников						

Площадь, км ²		Высота, м			Фирновая линия		Площадь области аблации, км ²		Объем льда, км ³	Ссылки на последующие таблицы (илюстрации) № таблиц и иллюстраций порядковые № сведений в таблицах
всего ледника	в том числе открытой части	нижней точки конца ледника	нижней точки открытой части ледника	высшей точки ледника	высота, м	способ определения и дата	общая	в том числе открытой части		
8	9	10	11	12	13	14	15	16		
0,7	0,7	4300	4300	5200	4650	Кур.	0,4	0,4	0,0158	
0,1	0,1	4150	4150	4700	4410	Кур.	—	—	0,0009	
0,5	0,5	4300	4300	5100	4670	Кур.	0,2	0,2	0,0095	
0,5	0,5	4100	4100	5200	4600	Кур.	0,3	0,3	0,0095	
0,4	0,4	4280	4280	5100	4580	Кур.	0,2	0,2	0,0068	
0,2	0,2	4500	4500	5200	4900	Кур.	0,1	0,1	0,0024	
0,3	0,3	4500	4500	5000	4770	Кур.	0,1	0,1	0,0044	
0,2	0,2	4600	4600	5100	4840	Кур.	0,1	0,1	0,0024	
0,9	0,9	4000	4000	5000	4400	Кур.	0,6	0,6	0,0231	
0,4	0,4	4050	4050	4700	4400	Кур.	0,2	0,2	0,0068	
0,3	0,3	4300	4300	4800	4570	Кур.	0,1	0,1	0,0044	
0,2	0,2	4400	4400	4800	4630	Кур.	0,1	0,1	0,0024	
0,3	0,3	4400	4400	5100	4790	Кур.	0,1	0,1	0,0044	
4,2	4,2	4220	4220	5200	4630	Кур.	2,2	2,2	0,2324	
0,6	0,6	4200	4200	5000	4510	Кур.	0,4	0,4	0,0125	
0,1	0,1	4300	4300	4800	4590	Кур.	—	—	0,0009	
0,4	0,4	4400	4400	4900	4650	Кур.	0,2	0,2	0,0068	
0,6	0,6	4500	4500	5100	4740	Кур.	0,3	0,3	0,0125	
0,8	0,8	4400	4400	5000	4710	Кур.	0,4	0,4	0,0193	
3,6	3,6	4200	4200	5000	4520	Кур.	1,9	1,9	0,1844	
2,2	2,2	4160	4160	5330	4720	Кур.	1,1	1,1	0,0881	
0,3	0,3	4400	4400	4800	4540	Кур.	0,2	0,2	0,0044	
2,6	2,6	4200	4200	5500	4680	Кур.	1,4	1,4	0,1132	
0,6	0,6	4510	4510	5200	4860	Кур.	0,3	0,3	0,0125	
0,3	0,3	4300	4300	4900	4490	Кур.	0,2	0,2	0,0044	
0,1	0,1	4300	4300	4600	4440	Кур.	—	—	0,0009	
1,0	1,0	4050	4050	5200	4520	Кур.	0,6	0,6	0,0270	
0,1	0,1	4650	4650	5100	4880	Кур.	—	—	0,0009	
0,1	0,1	4380	4380	4550	4460	Кур.	—	—	0,0009	
0,2	0,2	4300	4300	4900	4570	Кур.	0,1	0,1	0,0024	
0,2	0,2	4400	4400	4850	4620	Кур.	0,1	0,1	0,0024	
0,2	0,2	4500	4500	4840	4700	Кур.	0,1	0,1	0,0024	
78,3	78,3						39,6	39,6	4,3859	

имеется 1 ледник площадью 0,07 км²

78,4										
------	--	--	--	--	--	--	--	--	--	--

Пяндж, Амударья, Аральское море)

северный склон Рушанского хребта

0,4	0,4	4500	4500	5100	4780	Кур.	0,2	0,2	0,0068	
5,1	5,1	4250	4250	5220	4680	Кур.	2,6	2,6	0,3110	
1,9	1,9	4280	4280	5200	4700	Кур.	1,0	1,0	0,0707	
0,1	0,1	4750	4750	4870	4820	Кур.	—	—	0,0009	
2,1	2,1	4440	4440	5150	4770	Кур.	1,0	1,0	0,0822	
0,3	0,3	4300	4300	4900	4630	Кур.	0,2	0,2	0,0044	
1,6	1,6	4200	4200	5080	4640	Кур.	0,7	0,7	0,0546	
1,0	1,0	4350	4350	5100	4680	Кур.	0,6	0,6	0,0270	
0,6	0,6	4340	4340	5100	4630	Кур.	0,3	0,3	0,0125	
0,3	0,3	4540	4540	5000	4780	Кур.	0,2	0,2	0,0044	
0,9	0,9	4220	4220	5000	4630	Кур.	0,4	0,4	0,0231	
0,3	0,3	4460	4460	4900	4690	Кур.	0,2	0,2	0,0044	
0,1	0,1	4600	4600	5100	4860	Кур.	—	—	0,0009	
2,3	2,3	3970	3970	5100	4580	Кур.	1,1	1,1	0,0942	
1,3	1,3	4080	4080	5100	4570	Кур.	0,6	0,6	0,0400	
0,2	0,2	4400	4400	4900	4630	Кур.	0,1	0,1	0,0024	
18,5	18,5						9,2	9,2	0,7395	

№ по схеме	Название	Название реки, вытекающей из ледника	Морфологический тип	Общая экспозиция	Наибольшая длина, км	
					всего ледника	в том числе открытой части
1	2	3	4	5	6	7

Бассейн р. Риддара (реки Бартанг,

Северный склон

879	№ 879	Шорвильдара	кар.-дол.	C	2,4	2,4
880	№ 880	пр. р. Шорвильдара	кар.-дол.	C	1,8	1,8
881	№ 881	пр. р. Риддара	кар.-дол.	C	1,8	1,8
882	№ 882	пр. р. Риддара	кар.	CB	0,6	0,6
883	№ 883	пр. р. Ржакильдара	кар.	CB	0,5	0,5
884	№ 884	Ржакильдара	кар.	C	0,8	0,8
885	№ 885	пр. р. Ржакильдара	кар.	CB	0,4	0,4
886	№ 886	Римсердара	вис.	CB	0,8	0,8
8 ледников						

Бассейн р. Догоб (реки Бартанг,

Северный склон

887	№ 887	Догоб	кар.-вис.	C	1,6	1,6
-----	-------	-------	-----------	---	-----	-----

Кроме того, в бассейне р. Догоб

Итого 2 ледника						
-----------------	--	--	--	--	--	--

Бассейн левого безымянного притока р. Бартанга ниже устья

Северный склон отрога

888	№ 888	пр. р. Бартанга	кар.	CЗ	1,0	1,0
-----	-------	-----------------	------	----	-----	-----

Всего в бассейне р. Бартанга имеется 969 ледников общей площадью 1082,9 км², в том числе 888 ледников размером общей

Площадь, км ²		Высота, м				Фирновая линия		Площадь области аблации, км ²		Объем льда, км ³		Ссылки на последующие таблицы (иллюстрации) № таблиц и иллюстраций порядковые № сведений в таблицах
всего ледника	в том числе открытой части	нижней точки конца ледника	нижней точки открытой части ледника	высшей точки ледника	высота, м	способ определения и дата	общая	в том числе открытой части	17	18	1	
8	9	10	11	12	13	14	15	16	17	18		

Пяндж, Амударья, Аральское море)

Рушанского хребта

1,1	1,1	4120	4120	5200	4620	Кур.	0,5	0,5	0,0311		
0,8	0,8	4200	4200	5100	4550	Кур.	0,4	0,4	0,0193		
0,7	0,7	3920	3920	4500	4220	Кур.	0,4	0,4	0,0158		
0,1	0,1	4030	4030	4400	4200	Кур.	—	—	0,0009		
0,1	0,1	3800	3800	4200	3960	Кур.	—	—	0,0009		
0,2	0,2	4100	4100	4600	4360	Кур.	0,1	0,1	0,0024		
0,1	0,1	4200	4200	4600	4420	Кур.	—	—	0,0009		
0,1	0,1	4300	4300	4900	4620	Кур.	—	—	0,0009		
3,2	3,2						1,4	1,4	0,0722		

Пяндж, Амударья, Аральское море)

Рушанского хребта

0,3	0,3	3950	3950	4700	4290	Кур.	0,2	0,2	0,0044		
-----	-----	------	------	------	------	------	-----	-----	--------	--	--

имеется 1 ледник площадью 0,08 км²

0,4											
-----	--	--	--	--	--	--	--	--	--	--	--

р. Догоб (реки Бартанг, Пяндж, Амударья, Аральское море)

Рушанского хребта

0,3	0,3	4900	4900	5500	5230	Кур.	0,2	0,2	0,0044		
-----	-----	------	------	------	------	------	-----	-----	--------	--	--

0,1 км² и более каждый, общей площадью 1078,1 км² (из них 54,5 км² покрыто морепой) и 81 ледник размером менее 0,1 км² каждый, площадью 4,8 км²

Пояснения к таблице I

№ ледника по схеме	Название	№ графы	Пояснение	№ ледника по схеме	Название	№ графы	Пояснение
1	2	3	4	1	2	3	4
9, 10	Бахтург-1, Бахтург-2		Ледники соприка- саются фирновыми областями	238—251	№ 238—245, Верхний Музку- лак, 247—248, Малый Музку- лак, Нижний Музкулак, 251	3	Ледники № 238— 246, 249, 250 яв- ляются притоками ледника Грумм- Гржимайло (№ 237). В свою очередь не- которые притоки имеют свои прито- ки: Верхний Муз- кулак — ледники № 247 и 248, Ниж- ний Музкулак — ледник № 251. Об- щая площадь ден- дритового ледника Грумм-Гржимайло со всеми притоками составляет 142,9 км ²
33, 34	Вудор-1, Ву- дор-2		Ледники соприка- саются фирновыми областями				
47, 48	№ 47, 48		Ледники соприка- саются фирновыми областями				
129—131	№ 129—131	3	Являются при- токами сложного долинного ледни- ка Хабарвихац (№ 128). Площадь последнего с при- токами равна 23,6 км ²				
129, 130	№ 129, 130		Соприкасаются фирновыми обла- стями	246	Верхний Муз- кулак	8, 9, 15, 16	Площадь боковых морен 1,6 км ²
130, 132	№ 130, 132	4	Ледники перемет- ные, второй может быть отнесен к ви- сячemu типу ледни- ков	249	Малый Музку- лак	8, 9, 15, 16	Площадь боковых морен 0,3 км ²
				273—275	Танымас-2, № 274, 275	3	Ледники № 274, 275 являются при- токами ледника Танымас-2. Его об- щая площадь с при- токами 19,2 км ²
128, 131	Хабарвихац, № 131		Ледники соприка- саются фирновыми областями				
136, 143	Башурвдара, № 143		Ледники соприка- саются фирновыми областями	282, 283	Танымас-3, № 283	3	Ледник № 283 является притоком ледника Танымас-3 (№ 282). Их общая площадь 14,8 км ²
136—139	Башурвдара, № 137—139	3	Ледники № 137, 138 являются при- токами ледни- ка Башурвдара (№ 136), а лед- ник № 139 — при- ток ледника № 138. Общая площадь ледника Башурвда- ра с притоками равна 22,8 км ²	298	Танымасский Лоскут	4	Результат бифур- кации ледника Фед- ченко в долину р. Танымас
				309, 310	Северный Та- nymas, № 310	4, 7	Общая площадь ледника Северный Танымас с прито- ком (№ 310) равна 55,0 км ² . В связи с большой заснежен- ностью ледника вы- делять другие при- токи ледника Се- верный Танымас на аэрофотосним- ках 1966 г. не пред- ставилось возмож- ным. Однако он от- несен к дендритово- му типу из-за слож- ной конфигурации. Является перемет- ным с ледником Наливкина в бас- сейне ледника Фед- ченко
138	№ 138	8, 9, 15, 16	Площадь боковой морены 0,1 км ²				
138, 156	№ 138, 156		Ледники соприка- саются фирновыми областями				
152, 153	№ 152, 153		Ледники соприка- саются фирновыми областями				
159, 160	№ 159, 160		Ледники соприка- саются фирновыми областями				
161	№ 161	8, 9, 15, 16	Площадь морен менее 0,1 км ²				
163	№ 163	8, 9, 15, 16	Площадь боковой морены 0,2 км ²	550	№ 550	3	Является прито- ком ледника Азык- таш (№ 549). Их общая площадь 8,5 км ²
163, 164	№ 163, 164		Ледники соприка- саются фирновыми областями				
196	№ 196	8, 9, 15, 16	Площадь морен менее 0,1 км ²	569	№ 569	3	Является прито- ком ледника № 568. Их общая площадь 8,1 км ²
199, 204	№ 199, 204		Ледники соприка- саются фирновыми областями				
237	Грумм-Гржи- майло	8, 9, 15, 16	Площадь боковых морен 3,7 км ²	580	№ 580	8, 9, 15, 16	Площадь боковых морен 0,8 км ²
				666	№ 666	8, 9, 15, 16	Площадь боковых морен 0,2 км ²

№ ледника по схеме	Название	№ графы	Пояснение	№ ледника по схеме	Название	№ графы	Пояснение
1	2	3	4	1	2	3	4
684	№ 684	8, 9, 15, 16	Площадь боковых морен 0,6 км ²		мас-3, Астрономический, Танымас-5, Северный Танымас, Зорташкол, Советских офицеров, Караджилга, Айдемге, Азыкташ, Марсор, Удариф Рун-1 — Рун-6, Емцакба-1, Емцакба-2, Бахтург-1 — Бахтург-5, Багу-1 — Багу-4, Ходоржио-1 — Ходоржио-4, Ауйц-1 — Ауйц-5, Рахзов-1 — Рахзов-7, Кирц, Чадут, Вадинров, Рохац, Хокац-1 и Хокац-2, Ильдож, Яманджилга, Бавраз		
689	№ 689	8, 9, 15, 16	Площадь боковых морен 0,1 км ²				
867	№ 867	4	Ледник имеет сложную двухлопастную форму, обусловленную перегибом поверхности на скальном гребне, и два самостоятельных языка	1—17, 19—27, 63—69, 74, 82, 86, 94, 97, 98, 103, 330, 799			
Происхождение названий ледников							
30, 32, 33—40, 49, 114, 128, 136, 176—178, 237, 246, 249, 250, 273, 282, 293, 295, 298, 309, 444, 502, 520, 524, 549, 759, 806	Хавзуметдара, Баджу, ледники Будор (1—8), Радоц, Яэгулемдара, Хабарвивхаш, Башурвдар, ледники Холодная Стена (1—3), Грумм-Гржимайло, Верхний Музкулак, Малый Музкулак, Нижний Музкулак, Танымас-2, Танымас-1	2	Названия ледников взяты с крупномасштабной карты. При этом ледники Будор пронумерованы по ходу часовой стрелки с номера 1 по 8, а ледникам Холодная Стена даны дополнительные названия, свидетельствующие об их положении в долине	1—17, 19—27, 63—69, 74, 82, 86, 94, 97, 98, 103, 330, 799			

2 Названия ледникам присвоены составителями каталога. Названия официально не утверждены

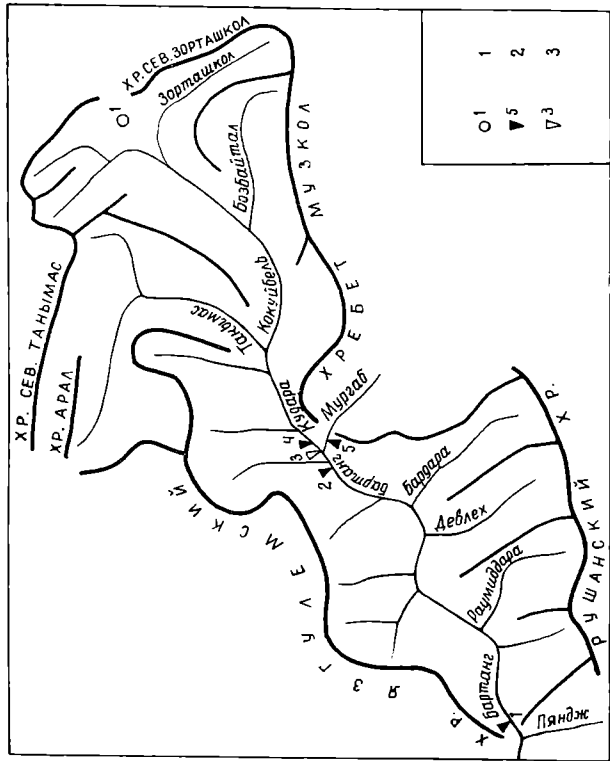


Рис. 35. Схема расположения гидрологических постов и суммарных осадкометров.

1 — суммарный осадкометр, 2 — действующий гидрометрический пост,
3 — закрытый гидрометрический пост.

ТАБЛИЦА II

СПИСОК ГИДРОМЕТЕОРОЛОГИЧЕСКИХ СТАНЦИЙ И ПОСТОВ В РАЙОНЕ ЛЕДНИКОВ

№ п/п	Название реки, в бассейне которой распо- ложена станция	Название станции или поста	В чём ведение находится	Абсолют- ная высо- та, м	Площадь во- досбора гидро- логических постов, км ²	Период наблюдений, годы					
						1937—1972		1940—1944, 1946—1972		1940—1943, 1948—1972	
						уровень воды	сток воды	уровень воды	сток воды	химический состав воды	основные метеоро- логические показатели
1	Бартанг	гп Кишлак Шуд- жанд	УГМС Тадж ССР	90 усл. 45	24700	1937—1972	1940—1944, 1942—1972	1940—1943, 1943—1947, 1949—1972	1940, 1962 1948—1972 1951—1972	—	—
2	Бартанг	гп Кишлак Нусур	УГМС Тадж ССР	21400 усл. 2490	21200	1942—1972	1943—1947, 1949—1972	1940—1942	—	—	—
3	Бартанг	гп Кишлак Бар- чадив (закрыт)	УГМС Тадж ССР	2510	4500	1938—1943	—	—	—	—	—
4	Кудара (бассейн р. Бартанга)	гп устье	УГМС Тадж ССР	2510	16700	1938—1943, 1947—1972	1942, 1943, 1947—1972	1940—1943, 1939—1972	—	—	—
5	Бартанг	гп Кишлак Бар- чадив	УГМС Тадж ССР	2510	—	1947—1972	1940—1943, 1947—1972	1947—1972	—	—	—

ТАБЛИЦА III

СПИСОК СУММАРНЫХ ОСАДКОМЕРОВ В РАЙОНЕ ЛЕДНИКОВ

№ п/п	Название бассейна и номер осадкомера	Местоположение	Абсолютная высота, м	Экспозиция склона	Период наблюдений, годы
1	2	3	4	5	6
1	Кокуйбель (бассейн р. Бар- тана), ос 22	В 5,5 км юго-западнее оз. Куруккуль	3900	гориз.	1956—1974

ТАБЛИЦА IV

ЭКСПЕДИЦИОННЫЕ И СТАЦИОНАРНЫЕ ИССЛЕДОВАНИЯ ЛЕДНИКОВ

№ п/п	Номер (название) ледника по схеме	Время проведения работ	Характеристика (состав) provеденных исследований	Организация, производившая работы	№ источ- ника по табл. V
1	2	3	4	5	6
1	237 (Грумм-Гржи- майло), 273 (Таны- мас-2), 309 (Северный Танымас)	1887	Открытие ледников в верховьях р. Танымас, краткое описание ледников	РГО, Г. Е. Грумм- Гржимайло	20
2	237 (Грумм-Гржи- майло)	1909	Маршрутное обследование ледников в верхо- вьях р. Танымас, краткое описание ледника Грумм-Гржимайло	РГО, Н. И. Косинен- ко	8
3	237 (Грумм-Гржи- майло)	1925	Описание ледника Грумм-Гржимайло и вер- ховьев долины р. Танымас	Общество по изуче- нию Таджикистана, Н. Л. Корженевский	6
4	237 (Грумм-Гржи- майло), 273 (Таны- мас-2), 282 (Таны- мас-3), 293 (Астроно- мический), 309 (Север- ный Танымас)	1928	Обследование ледников Танымасской группы, фототеодолитная съемка ледника Грумм-Гржи- майло. Отмечено пять крупных ледников	Советско-Германская экспедиция АН СССР и Общества содействия германской науке	4
5	237 (Грумм-Гржи- майло)	1933	Фототеодолитная съемка конца ледника Грумм-Гржимайло	Таджикско-Памир- ская экспедиция, И. Г. Дорофеев	4
6	237 (Грумм-Гржи- майло)	1944	Исследования ледников Танымасской группы: сведения об оледенении, климатических усло- виях, питании, динамике, моренном покрове и древнем оледенении	Памирская экспеди- ция Государственного союзного треста № 3, П. А. Шумский	17
7	Район оледенения в целом	1945— 1948	Топографические работы в бассейне р. Бар- тана. На основе фототеодолитной съемки и аэрофотосъемки создана карта масштаба 1 : 100 000 на весь Памир	Высокогорная топо- графическая экспеди- ция	5
8	Оледенение Рушан- ского и Язгулемского хребтов в целом	1947	Описание рельефа и оледенения Рушанского и Язгулемского хребтов	Памирская геологи- ческая экспедиция,	1
9	237 (Грумм-Гржи- майло), 273 (Таны- мас-2), 282 (Таны- мас-3), 295 (Таны- мас-5), 309 (Северный Танымас)	1959— 1965	Тахеометрические съемки концов ледников Грумм-Гржимайло, Танымас-2, Танымас-3, Та- nymas-5 и Северный Танымас	Б. П. Бархатов им АН УзССР, САНИГМИ	9—12

ТАБЛИЦА V

СПИСОК РАБОТ, СОДЕРЖАЩИХ СВЕДЕНИЯ О ЛЕДНИКАХ

№ п/п	Номер (название) ледника по схеме	Автор и наименование работы	Место издания работы	Краткая аннотация
1	2	3	4	5
1	Оледенение южного склона Язгулемского и северного склона Рушанского хребтов	Бархатов Б. П. Рельеф и современное оледенение Язгулем-Рушанского района (Западный Памир)	«Изв. ВГО», 1950, т. 82, вып. 3, с. 273—283	Характеристика типов рельефа, описание современного оледенения. Приводится история развития рельефа, описывается древнее оледенение
2	309 (Северный Танымас)	Долгушкин Л. Д. Пульсирующие ледники	«Материалы гляциол. исслед. (МГГ). Хроника, обсуждения», 1968, вып. 14, с. 298—301	Описывается механизм значительных и быстрых подвижек ледников, не согласующихся с климатическими условиями. Приводятся примеры пульсирующих ледников. К ним относен ледник Северный Танымас
3	237 (Грумм-Гржимайло), 309 (Северный Танымас)	Долгушкин Л. Д., Осипова Г. Б. Новые данные о пульсациях современных ледников	«Материалы гляциол. исслед. (МГГ). Хроника, обсуждения», 1971, вып. 18, с. 191—217	Сводка пульсирующих ледников на территории СССР. Описывается механизм подвижек пульсирующих ледников различных горных районов земного шара. Ледники Грумм-Гржимайло и Северный Танымас отнесены к пульсирующим
4	237 (Грумм-Гржимайло)	Дорофеев И. Г. Фотограмметрическая съемка языка ледника Нотгемейншахт	«Труды ледниковых экспедиций», 1936, вып. 1, с. 211—212	Сравнение фототеодолитных съемок ледника Грумм-Гржимайло 1928 и 1933 гг. (см. текст)
5	Район оледенения в целом	Забиров Р. Д. Оледенение Памира	М., Географиз, 1955, 372 с.	Краткая справка об истории исследований и физико-географическая характеристика Памира. Описываются орографические, климатические факторы и оледенение. Приложен каталог ледников
6	237 (Грумм-Гржимайло)	Корженевский Н. Л. Истоки реки Танымас. Предварительное сообщение о поездке на Памир летом 1925 г.	Ташкент, Ташобллит, 1926. 31 с.	Описание долин рек Танымас и Кокджар, по моренным отложениям выделены две эпохи древнего оледенения. Описывается язык ледника Грумм-Гржимайло
7	Оледенение района в целом	Коримов С. Питание рек Памира	«Вестник МГУ. География», 1972, вып. 5, с. 110—113	Оценка ледникового питания (см. текст)
8	237 (Грумм-Гржимайло)	Косиненко Н. И. По тропам, скалам и ледникам Алая, Памира и Дарваза	«Изв. РГО», 1915, т. 4, вып. 3, с. 117—138	Рекогносцировочное обследование дорог. Общее описание ледника Грумм-Гржимайло
9	237 (Грумм-Гржимайло), 273 (Танымас-2), 282 (Танымас-3), 295 (Танымас-5)	Крейтер А. А., Лесник Ю. Н. О колебаниях ледников Памира	«Доклады АН УзССР», 1965, № 1, с. 53—55	Анализ наблюдений за колебаниями ледников за 1959—1963 гг. (см. текст)
10	237 (Грумм-Гржимайло), 273 (Танымас-2), 282 (Танымас-3), 309 (Северный Танымас)	Лесник Ю. Н., Ноздрюхин В. К., Рачкулик В. И. О колебаниях концов некоторых ледников Памира	«Материалы гляциол. исслед. (МГГ). Хроника, обсуждения», 1962, вып. 5, с. 72—76	Результаты наблюдений за колебаниями концов ледников за 1959—1960 гг. (см. текст)
11	237 (Грумм-Гржимайло), 273 (Танымас-2), 282 (Танымас-3), 295 (Танымас-5), 309 (Северный Танымас)	Ноздрюхин В. К. Отчет о гляциологической экспедиции на леднике Федченко в 1965 г.	Фонды САРИГМИ	Результаты тахеометрических съемок концов ледников
12	237 (Грумм-Гржимайло), 273 (Танымас-2), 282 (Танымас-3), 295 (Танымас-5), 309 (Северный Танымас)	Ноздрюхин В. К., Камалов Б. А., Милованов Д. А. О колебании некоторых ледников в районе ледника Федченко в 1964 г.	«Материалы гляциол. исследований (МГГ). Хроника, обсуждения», 1968, вып. 14, с. 309—311	Анализ наблюдений за колебаниями ледников в 1959—1964 гг. (см. текст)
13	114 (Язгулемдара)	Рацек В. И. Характеристика отступания ледников бассейна р. Амударья по материалам аэрофотосъемки 1946—1966 гг.	«Труды САРИГМИ», 1972, вып. 65 (80), с. 131—137	Анализируется пространственное положение памирских ледников по результатам аэрофотосъемок. Приводятся данные по сокращению ледника Язгулемдара

№ п/п	Номер (название) ледника по схеме	Автор и наименование работы	Место издания работы	Краткая аннотация
1	2	3	4	5
14	Район оледенения в целом	Ресурсы поверхностных вод СССР. Том 14. Вып. 3. Бассейн р. Аму-дарьи	Л., Гидрометеоиздат, 1971. 472 с.	Научное обобщение данных о режиме рек, озер, ледников с практическими рекомендациями по расчетам элементов водного режима как при наличии, так и при отсутствии или недостаточности данных наблюдений. Сведения о колебаниях ледника за 1928—1958 гг.
15	309 (Северный Танымас)	Суслов В. Ф. Динамика оледенения верховий р. Муску (по наблюдениям в период МГГ, картографическим и аэрофотоматериалам прошлых лет)	«Материалы гляциол. исслед. (МГГ). Хроника, обсуждения», 1962, вып. 5, с. 66—72	
16	Район оледенения в целом	Хон А. И. О «линии 365» в Таджикистане	«Материалы гляциол. исслед. (МГГ). Хроника, обсуждения», 1970, вып. 16, с. 278—279	По данным наблюдений за снежным покровом на 42 станциях Центрального Таджикистана и Западного Памира устанавливается зависимость числа дней со снежным покровом от высоты местности, позволяющая определить положение «линии 365», принимаемой за климатическую снежную линию
17	237 (Грумм-Гржимайло), 273 (Танымас-2)	Шумский П. А. Материалы к физической географии района ледника Ногтемейнштафт	«Изв. ВГО», 1945, т. 77, вып. 3, с. 145—154	Геоморфология, орография, климатические условия и оледенение верховьев р. Танымас. Подробно описываются ледники
18	Район оледенения в целом	Шульц В. Л. Реки Средней Азии	Л., Гидрометеоиздат, 1963, 691 с.	Основные закономерности процессов стока и распределения его характеристик по территории горной области Средней Азии. Характеристика водного режима наиболее крупных рек
19	Оледенение района в целом	Щетинников А. С. Ледниковые коэффициенты как показатели связи оледенения с рельефом	«Труды САРНИГМИ», 1974, вып. 14 (95), с. 77—86	Рассматриваются ледниковые коэффициенты 888 ледников бассейна р. Бартанга
20	237 (Грумм-Гржимайло), 273 (Танымас-2), 309 (Северный Танымас)	Groum - Grshimailo Gr. Le Pamir et sa faune Lépidopterologique	St.-Petersbourg, 1890, p. 85—86	Открытие ледников. Приложена схема, на которой показаны ледники Грумм-Гржимайло, Танымас-2, Северный Танымас

ДОПОЛНИТЕЛЬНЫЕ МАТЕРИАЛЫ

Таблица 9

Основные сведения о ледниках размерами менее 0,1 км²

№ п/п	Вблизи какого ледника располо- жен (№ ледни- ка по табл. 1)	Название реки, вытекающей из ледника	Морфологи- ческий тип	Общая экспозиция	Наибольшая длина, км	Площадь, км ²	Высота низ- шей точки конца ледни- ка, м	Высота вы- шней точки ледника, м
Бассейн р. Баджудара (реки Бартанг, Пяндж, Амударья, Аральское море)								
Южный склон Язгулемского хребта								
1 № 44	пр. р. Радоцдара	кар.-вис.	СВ	0,4	0,08	4160	4400	
Бассейн р. Биджравдара (реки Бартанг, Пяндж, Амударья, Аральское море)								
Южный склон Язгулемского хребта								
2 № 74	пр. р. Кирцдара	кар.	ЮЗ	0,5	0,06	4340	4660	
Бассейн правобережного безымянного притока р. Бартанга между устьями рек Биджравдара и Чадут (реки Бартанг, Пяндж, Амударья, Аральское море)								
Южный склон Язгулемского хребта								
3 № 76	пр. р. Бартанг	кар.	ЮЗ	0,4	0,05	4400	4680	
Бассейн р. Рохац (реки Бартанг, Пяндж, Амударья, Аральское море)								
Южный склон Язгулемского хребта								
4 № 97	пр. р. Хокац	вис. кар.	ЮВ	0,5	0,07	5300	5600	
5 № 101	пр. р. Хокац	вис.	З	0,5	0,07	5300	5400	
2 ледника								
0,14								
Бассейн р. Ильдож (реки Бартанг, Пяндж, Амударья, Аральское море)								
Южный склон Язгулемского хребта								
6 № 104	пр. р. Ильдож	кар.-вис.	ЮВ	0,3	0,04	4420	4500	
Бассейн р. Язгулемдара (реки Бартанг, Пяндж, Амударья, Аральское море)								
Южный склон Язгулемского хребта								
7 № 107	пр. р. Язгулемдара	вис.	C	0,5	0,07	5300	5700	
8 № 113	пр. р. Язгулемдара	прискл. кар.	B	0,3	0,08	4800	5000	
9 № 114	пр. р. Язгулемдара	прискл.	B	0,4	0,07	4800	5000	
3 ледника								
0,22								
Бассейн р. Хабарвихац (реки Кудара, Бартанг, Пяндж, Амударья, Аральское море)								
Южный склон Язгулемского хребта								
10 № 141	пр. р. Хабарвихац	вис.	ЮВ	0,4	0,06	5700	5900	
11 № 147	пр. р. Хабарвихац	вис.	C	0,3	0,04	4300	4600	
2 ледника								
0,10								
Бассейн р. Хавраздара (реки Кудара, Бартанг, Пяндж, Амударья, Аральское море)								
Восточный склон Язгулемского хребта								
12 № 168	пр. р. Хавраздара	вис.	ЮВ	0,4	0,08	5500	5700	
13 № 168	пр. р. Хавраздара	вис.	Ю	0,4	0,08	5600	5800	
14 № 170	пр. р. Хавраздара	вис.	C	0,4	0,08	5700	5900	
15 № 190	пр. р. Хавраздара	кар.	C3	0,5	0,08	4540	4740	
16 № 192	пр. р. Хавраздара	кар.	C3	0,4	0,08	4800	5100	
5 ледников								
0,40								
Бассейн р. Чабаранг (реки Танымас, Кудара, Бартанг, Пяндж, Амударья, Аральское море)								
Восточный склон безымянного хребта в междуречье Хавраздары и Танымаса								
17 № 193	пр. р. Чабаранг	вис.	СВ	0,4	0,05	4600	4800	
18 № 199	пр. р. Чабаранг	склон.	C3	0,3	0,07	4800	4920	
19 № 199	пр. р. Чабаранг	склон.	C3	0,3	0,08	4700	4820	
3 ледника								
0,20								
Бассейн р. Шукорджилга (реки Танымас, Кудара, Бартанг, Пяндж, Амударья, Аральское море)								
Северо-восточный склон безымянного хребта в междуречье Хавраздары и Танымаса								
20 № 206	пр. р. Шукорджилга	вис.	ЮВ	0,4	0,06	4760	4900	
21 № 207	пр. р. Шукорджилга	прискл.	СВ	0,4	0,07	4380	4500	
2 ледника								
0,13								

№ п/п	Вблизи какого ледника располож- лен (№ ледни- ка по табл. 1)	Название реки, вытекающей из ледника	Морфологи- ческий тип	Общая экспозиция	Наибольшая длина, км	Площадь, км ²	Высота низ- шей точки конца ледни- ка, м	Высота вы- шней точки ледника, м
Бассейн р. Каиндыджилга (реки Танымас, Кудара, Бартанг, Пяндж, Амударья, Аральское море)								
Северо-восточный склон безымянного хребта в междуречье Хавраздары и Танымаса								
22	№ 217	пр. р. Каиндыджилга	вис.	СВ	0,4	0,08	4700	4900
Бассейны правых безымянных притоков р. Танымас между устьем р. Каиндыджилга и долиной ледника Грумм-Гржимайло (реки Танымас, Кудара, Бартанг, Пяндж, Амударья, Аральское море)								
Северный и западный склоны безымянного хребта в междуречье Хавраздары и Танымаса								
23	№ 222	пр. р. Танымас	кул.	С3	0,4	0,08	5000	5190
24	№ 225	пр. р. Танымас	кар.	СВ	0,5	0,07	4660	4900
25	№ 232	пр. р. Танымас	вис.	С	0,5	0,08	4600	5000
3 ледника								
Бассейн верховьев р. Танымаса (реки Кудара, Бартанг, Пяндж, Амударья, Аральское море)								
Западный склон Язгuleмского хребта, северный и южный склоны хр. Араб, южный склон хр. Северный Танымас								
Система ледника Грумм-Гржимайло								
26	№ 237	пр. р. Танымас	вис.	С3	0,4	0,06	5220	5500
27	№ 243	пр. р. Танымас	вис.	С3	0,5	0,08	5400	5700
28	№ 250	пр. р. Танымас	вис.	В	0,4	0,09	5500	5800
29	№ 257	пр. р. Танымас	вис.	В	0,4	0,05	5050	5300
4 ледника								
30	№ 274	пр. р. Танымас	кул.	С3	0,4	0,03	4900	5100
31	№ 274	пр. р. Танымас	кул.	С3	0,4	0,03	4900	5100
32	№ 274	пр. р. Танымас	вис.	С3	0,2	0,02	4920	5080
33	№ 275	пр. р. Танымас	вис.	СВ	0,4	0,08	5400	5700
34	№ 276	пр. р. Танымас	вис.	ЮВ	0,3	0,04	5400	5600
35	№ 280	пр. р. Танымас	вис.	В	0,3	0,04	4900	5100
36	№ 288	пр. р. Танымас	вис.	Ю	0,4	0,05	5300	5500
37	№ 288	пр. р. Танымас	вис.	ЮВ	0,5	0,08	5200	5500
8 ледников								
Система ледника Северный Танымас								
38	№ 313	пр. р. Танымас	вис.	ЮВ	0,4	0,07	5120	5400
39	№ 314	пр. р. Танымас	вис.	ЮВ	0,6	0,08	4940	5200
2 ледника								
Бассейн р. Коқджар (реки Танымас, Кудара, Бартанг, Пяндж, Амударья, Аральское море)								
Южный склон хр. Северный Танымас								
40	№ 356	пр. р. Тахтакорум	вис.	З	0,3	0,07	4900	5100
41	№ 364	пр. р. Шуралысу	вис.	В	0,4	0,06	5000	5200
42	№ 373	пр. р. Калтатур	вис.	С	0,4	0,06	4920	5100
43	№ 373	пр. р. Калтатур	вис.	С3	0,4	0,06	4900	5200
4 ледника								
Бассейн р. Дамаматсай (реки Танымас, Кудара, Бартанг, Пяндж, Амударья, Аральское море)								
Северный склон хребта в междуречье Танымаса и Коқуйбелья								
44	№ 383	пр. р. Дамаматсай	вис.	С3	0,2	0,04	4900	5000
45	№ 383	пр. р. Дамаматсай	вис.	С3	0,3	0,05	5000	5200
2 ледника								
Бассейны левых безымянных притоков р. Коқуйбель между устьями рек Бозбайтал и Коюбекджилга (реки Коқуйбель, Кудара, Бартанг, Пяндж, Амударья, Аральское море)								
Северный склон отрога хр. Музкол								
46	№ 541	пр. р. Коқуйбель	вис.	С	0,2	0,04	4900	5200
47	№ 541	пр. р. Коқуйбель	вис.	С	0,2	0,04	5100	5300
48	№ 545	пр. р. Коқуйбель	кул.	С	0,8	0,07	4700	5000
49	№ 548	пр. р. Коқуйбель	вис.	С	0,4	0,05	4600	4800
50	№ 560	пр. р. Коқуйбель	вис.	С	0,2	0,03	5000	5100
51	№ 560	пр. р. Коқуйбель	вис.	С	0,2	0,02	5100	5200
52	№ 562	пр. р. Коқуйбель	вис.	СВ	0,5	0,08	4700	5100
53	№ 562	пр. р. Коқуйбель	вис.	СВ	0,5	0,08	4700	5000
8 ледников								

№ п/п	Вблизи какого ледника располо- жен (№ ледни- ка по табл. 1)	Название реки, вытекающей из ледника	Морфологи- ческий тип	Общая экспозиция	Наибольшая длина, км	Площадь, км ²	Высота низ- шей точки конца ледни- ка, м	Высота низ- шей точки ледника, м	
Бассейн левого безымянного притока р. Кудара ниже устья р. Усойтдара (реки Кудара, Бартанг, Пяндж, Амударья, Аральское море)									
			Северный склон хр. Музкол						
54	№ 587	пр. р. Кудара	вис.	C	0,4	0,03	4700	5000	
55	№ 587	пр. р. Кудара	вис.	C	0,4	0,03	4700	5000	
56	№ 587	пр. р. Кудара	вис.	C	0,5	0,04	4800	5100	
	3 ледника					0,10			
Бассейн р. Челимджет (реки Бартанг, Пяндж, Амударья, Аральское море)									
			Северо-западный склон отрога Рушанского хребта						
57	№ 588	пр. р. Падоин	вис.	CЗ	0,6	0,07	4400	4720	
58	№ 588	пр. р. Падоин	вис.	CЗ	0,2	0,05	4600	4800	
59	№ 589	пр. р. Челимджет	вис.	CЗ	0,4	0,08	4600	4800	
	3 ледника					0,20			
Бассейны левых безымянных притоков р. Бартанга между устьями рек Челимджет и Нукбист (реки Бартанг, Пяндж, Амударья, Аральское море)									
			Северный склон отрога Рушанского хребта						
60	№ 595	пр. р. Бартанга	вис.	CЗ	0,4	0,05	4800	5000	
61	№ 599	пр. р. Бартанга	вис.	C	0,4	0,06	4540	4800	
62	№ 599	пр. р. Бартанга	вис.	C	0,4	0,06	4600	4760	
	3 ледника					0,17			
Бассейн р. Нукбист (реки Бартанг, Пяндж, Амударья, Аральское море)									
			Северный склон отрога Рушанского хребта						
63	№ 605	пр. р. Нукбист	вис.	C	0,4	0,05	4600	4800	
64	№ 617	пр. р. Нукбист	вис.	C	0,5	0,05	4400	4650	
	2 ледника					0,10			
Бассейн р. Бардара (реки Бартанг, Пяндж, Амударья, Аральское море)									
			Западный склон отрога Рушанского хребта						
65	№ 640	пр. р. Майдара	вис.	Ю	0,3	0,06	5400	5600	
66	№ 644	пр. р. Майдара	вис.	C	0,3	0,06	5150	5250	
67	№ 644	пр. р. Майдара	вис.	C	0,4	0,07	5100	5300	
68	№ 644	пр. р. Майдара	вис.	C	0,4	0,06	5100	5300	
69	№ 653	пр. р. Бардара	кул.	C	0,4	0,08	4700	4900	
70	№ 672	пр. р. Мадвистр	вис.	CB	0,4	0,08	5000	5120	
71	№ 688	пр. р. Шевчор	вис.	C3	0,3	0,02	5000	5150	
72	№ 688	пр. р. Шевчор	вис.	C3	0,3	0,03	5100	5200	
73	№ 688	пр. р. Шевчор	вис.	C3	0,4	0,04	5000	5200	
	9 ледников					0,50			
Бассейн р. Девлех (реки Бартанг, Пяндж, Амударья, Аральское море)									
			Северный склон Рушанского хребта						
74	№ 705	пр. р. Девлех	вис.	C	0,4	0,07	5100	5250	
75	№ 706	пр. р. Ярзыв	вис.	C	0,4	0,03	4500	4600	
76	№ 706	пр. р. Ярзыв	вис.	CЗ	0,3	0,03	4900	5000	
77	№ 706	пр. р. Ярзыв	вис.	CЗ	0,5	0,07	4800	5000	
78	№ 712	пр. р. Девлех	вис.	ЮЗ	0,4	0,06	5200	5400	
79	№ 713	пр. р. Девлех	вис.	C	0,3	0,04	5000	5100	
	6 ледников					0,30			
Бассейн р. Раумиддара (реки Бартанг, Пяндж, Амударья, Аральское море)									
			Северный склон Рушанского хребта						
80	№ 810	пр. р. Раумиддара	вис.	C	0,2	0,07	4400	4600	
Бассейн р. Догоб (реки Бартанг, Пяндж, Амударья, Аральское море)									
			Северный склон Рушанского хребта						
81	№ 887	пр. р. Догоб	кар.-вис.	C	0,5	0,08	4300	4600	

Всего в бассейне р. Бартанга 81 ледник размерами менее 0,1 км² каждый, общей площадью 4,8 км²

Таблица 10

Распределение площади ледников (км^2) в бассейнах притоков р. Бартанг по высотным зонам

Бассейн реки	Высотная зона, м												Всего, км^2								
	3400 ... 3600	3600 ... 3800	3800 ... 4000	4000 ... 4200	4200 ... 4400	4400 ... 4600	4600 ... 4800	4800 ... 5000	5000 ... 5200	5200 ... 5400	5400 ... 5600	5600 ... 5800	5800 ... 6000	6000 ... 6200	6200 ... 6400	6400 ... 6600	6600 ... 6800	6800 ... 7000			
Правобережные притоки р. Бартанга																					
Обибуу	0,07	0,18	0,18	0,04	0,33	1,58	2,35	1,53	0,48										6,7		
Батудара					0,17	0,41	0,75	0,33											1,7		
пр. р. Бартанга					0,05	0,18	0,18	0,09											0,5		
Ходоржидара	0,05	0,90	2,04	1,12	1,14	0,82	0,36	0,04											3,8		
Балжудара					3,57	6,88	7,46	7,20	5,53	3,66	2,33	1,10	0,66	0,37	0,05				41,8		
Биджравдара	0,04	0,17	1,52	4,38	4,27	2,62	2,22	0,91	0,44	0,21	0,12								16,9		
пр. р. Бартанга	0,28	0,49	1,45	0,30	0,04	0,40	0,33	0,22	—	0,09	0,16	0,04							3,8		
Чадут					0,02	0,13	0,44	0,11											0,7		
Вадинров	0,04	0,17	1,63	1,49	1,49	0,73	0,24	0,02	0,07	0,03	0,08	0,08							5,7		
пр. р. Бартанга					0,13	0,16	0,12	0,03	0,07	0,08	0,08								0,8		
Рохач					1,30	1,82	1,69	1,94	1,28	1,00	0,72	0,12							10,2		
Ильдож					0,11	0,07	0,20	0,19	0,15	0,16	0,14	0,13	0,20	0,19					1,6		
Язгулемдара					0,29	1,29	2,84	5,89	7,81	6,52	5,76	6,15	6,08	4,42	2,28				53,1		
Итого	0,40	1,95	6,10	13,00	24,17	27,97	22,03	16,09	11,96	9,86	6,24	3,29	2,00	0,90	0,59	0,27	0,25	0,23	147,3		
Правобережные притоки р. Кудара																					
Хабариввхай	0,37	1,57	1,78	4,05	2,91	3,08	6,16	7,70	7,77	6,21	4,99	2,66	1,67	1,03	0,71	0,31	0,13		53,1		
пр. р. Кудара					0,28	0,52	0,34	0,29	0,04										0,8		
Башурудара	0,01	0,08	0,17	4,04	5,43	2,77	2,88	2,37	2,19	1,09	0,38	0,14	0,06						13,8		
Хавраадара					1,86	4,50	7,47	9,67	16,03	16,40	12,29	9,12	6,23	3,20					25,1		
Итого	0,37	1,58	1,86																92,8		
р. Танымас																					
пр. р. Танымас					0,04	0,23	0,21	0,17	0,05										0,7		
Чабордант					0,19	0,62	1,33	0,82	0,04										3,0		
Шукордилга					0,06	0,93	1,66	1,23	0,63	0,09									4,6		
пр. р. Танымас					0,20	0,30	0,30	0,30	0,30										0,8		
Каниндыжилга					0,07	0,73	0,88	0,23	0,23										2,0		
Притоки р. Танымас от долины					1,58	5,46	4,25	1,58	0,57	0,45	0,02								14,0		
Ледникова р. Танымас					1,58	5,46	4,25	1,58	0,57												
Грум-Гримайло и выше	2,41	4,82	4,50	11,29	21,31	26,60	51,75	49,39	44,11	29,03	17,60	9,88	4,34	1,46	0,40	0,23	0,08		279,2		
Ташджилда					0,22	1,52	2,97	5,22	0,20	0,10									0,3		
Ямандашылга					0,02	0,48	2,01	3,00	1,32	0,05									11,3		
Кириндинжалы					0,08	0,96	2,36	1,84	0,45	0,11									7,1		
Янгидаван					0,06	0,38	0,53	0,23	0,23	0,09									1,2		
Кокджал					0,06	0,06	0,06	0,06	0,06	0,06									5,8		
пр. р. Танымас					0,06	0,67	1,48	1,03	0,25	0,01									0,1		
Кызылтуккой					0,14	0,55	0,93	1,00	0,78	0,01									3,5		
Дамаматтай					0,05	0,50	0,64	0,49	0,02	0,02									3,4		
Притоки р. Танымас					4,82	4,50	11,67	25,46	40,58	70,09	65,42	50,05	29,69	17,62	9,88	4,34	1,46	0,40	0,23	0,08	338,7
Итого	2,41	4,82	4,50	11,29	21,31																
р. Кокуйбель																				5,5	
Притоки р. Кокуйбель					1,15	1,61	1,83	0,86	0,05											0,4	
Тузбель					0,08	0,28	0,04	0,04	0,04											0,4	
Кызылбелес					0,06	0,30	0,04	0,04	0,04												

Бассейн реки	Высотная зона, м												Всего, км ²				
	3100— 3600	3600— 3800	3800— 4000	4000— 4200	4200— 4400	4400— 4600	4600— 4800	4800— 5000	5000— 5200	5200— 5400	5400— 5600	5600— 5800	5800— 6000	6000— 6200	6200— 6400	6400— 6600	6600— 6800
Кокуйбель																	4,9
Кульайрык																	3,5
Муздженлга																	5,1
пр. р. Кокуйбель																	1,3
Зоргашкол																	67,3
Притоки р. Кокуйбель																	7,8
Бозайтај																	43,6
Притоки р. Кокуйбель																	19,2
Кобекеджилга																	12,4
Темуркульджилга																	6,6
Чорничана																	0,9
Итого																	178,9

Усойлдара пр. р. Кудара	Левобережные притоки р. Кудара												9,1	
	0,07	0,18	1,07	1,83	1,99	2,06	1,32	0,56	0,02	0,18	0,33	0,18		
Итого														2,5
	0,07	0,18	1,07	1,83	1,99	2,06	1,32	0,56	0,02	0,18	0,33	0,18		11,6

Челимджеңг Притоки р. Бартанга	Левобережные притоки р. Бартанга												1,5			
	0,27	0,80	0,43	0,35	0,11	0,97	0,66	0,21	0,18	0,45	0,14	0,01				
Нукбист														1,7		
пр. р. Бартанга														18,6		
Бардара														4,0		
пр. р. Бартанга														92,7		
Девлех														0,5		
пр. р. Бартанга														69,3		
Уедлив														5,3		
Чадегив														6,2		
Даржомчдары														2,0		
Хацвордара														2,1		
Тавдара														6,9		
Раумиддара														2,0		
Джизевдара														78,4		
Риддара														18,5		
Догоб														3,2		
пр. р. Бартанга														0,4		
Итого														0,3		
Бассейн р. Бартанга в целом														313,6		
	0,70	1,49	4,84	9,75	22,40	42,44	68,50	71,94	54,18	26,72	8,26	2,21	0,17		1082,9	
	1,47	7,43	18,00	32,89	68,46	112,44	168,38	211,51	187,47	134,95	73,77	36,58	17,59	7,30	2,76	0,98
														0,61	0,31	

Таблица 11

Высота нижней и верхней границ ледниковых, фирновой линии в бассейнах притоков р. Бартанг, м

Бассейн реки	Высота нижней границы ледников			Высота верхней границы ледников			Высота фирновой линии
	средняя	минимальная	максимальная	средняя	минимальная	максимальная	
1	2	3	4	5	6	7	8
Обиурн	4150	3400	4600	4820	4380	5000	4460
Багудара	4080	3900	4300	4710	4300	4800	4440
Правый безымянный приток р. Бартанга между устьями рек Багудара и Ходоржиодара	4300	4300	4300	4820	4820	4820	4620
Ходоржиодара	3940	3830	4300	4740	4500	4850	4300
Баджудара	3970	3560	4900	5430	4500	6120	4530
Биджравдара	4150	3700	4750	5200	4300	5700	4560
Правый безымянный приток р. Бартанга между устьями рек Биджравдара и Чадут	3830	3480	5220	4500	4180	5700	4180
Чадут	4190	4100	4400	4600	4340	4700	4420
Вадинров	4100	4000	5300	4860	4500	5420	4400
Правый безымянный приток р. Бартанга между устьями рек Вадинров и Рохац	3940	3700	4700	4820	4700	5200	4330
Рохац	4040	3820	5100	5280	4800	5500	4600
Ильдож	3940	3760	3950	5780	4000	5900	4910
Яэгулемдара	3600	3680	5960	6110	4340	6970	4760
Хабаривхац	3860	3500	5700	6080	4000	6800	4520
Правый безымянный приток р. Кудара между устьями рек Хабаривхац и Башурвдара	4560	4520	4600	5010	4900	5100	4760
Башурвдара	4080	3760	4800	5620	4900	6120	4890
Хавраздара	4380	4200	5080	5160	4500	5630	4600
Правый безымянный приток р. Кудара между устьями рек Хавраздара и Чабаранг	4350	4300	4460	5040	4900	5100	4690
Чабаранг	4450	4300	4680	5000	4700	5050	4700
Шукорджилга	4500	4380	4700	5140	4800	5300	4770
Правый безымянный приток р. Танымас между устьями рек Шукорджилга и Каиндыджилга	4500	4400	4660	4920	4700	4980	4740
Каиндыджилга	4600	4400	4820	5120	4900	5400	4770
Правые безымянные притоки р. Танымас между устьем р. Каиндыджилга и долиной ледника Грумм-Гржимайло	4490	4200	5300	5130	4900	5630	4810
Верховья р. Танымас от долины ледника Грумм-Гржимайло и выше	4100	3610	6000	6120	4700	6900	5060
Ташджилга	5030	5000	5040	5370	5300	5400	5170
Яманджилга	4600	4400	5200	5400	5180	5500	5000
Кирчинджилга	4780	4560	5200	5320	5200	5440	5060
Янгидаван	4750	4700	4780	5290	5180	5340	5050
Кокджар	4740	4500	5100	5170	4800	5420	4950
Левый безымянный приток р. Танымас между устьями рек Кокджар и Кызылтукой	4840	4840	4840	5080	5080	5080	4970
Кызылтукой	4680	4560	4840	5310	4900	5500	4950
Дамаматсай	4540	4460	4700	5400	5400	5400	5000
Левые безымянные притоки р. Танымас между устьями рек Дамаматсай и Кокуйбель	4760	4700	5200	5290	5120	5440	5080
Правые безымянные притоки р. Кокуйбель между устьями рек Кокуйбель и Тузбель	4740	4600	5080	5350	5040	5520	5000
Тузбель	4780	4700	4860	5050	5000	5100	4900
Кызылбелес	4720	4700	4740	5050	5000	5100	4890
Кокуйбель	4700	4580	5200	5230	4900	5420	4940
Кульайрык	4670	4540	4900	5310	5060	5400	4970
Музджилга	4970	4800	5500	5780	5700	5800	5340
Левый безымянный приток р. Кокуйбель между устьями рек Музджилга и Зорташкол	4960	4960	4960	5750	5750	5750	5290
Зорташкол	4620	4400	5400	5860	5300	6140	5260
Левые безымянные притоки р. Кокуйбель между устьями рек Зорташкол и Бозбайтал	4770	4700	5200	5740	5400	6020	5210

Бассейн реки	Высота нижней границы ледников			Высота верхней границы ледников			Высота фирновой линии
	средняя	минимальная	максимальная	средняя	минимальная	максимальная	
1	2	3	4	5	6	7	8
Бозбайтал	4700	4300	5400	5780	5100	6100	5240
Левые безымянные притоки р. Ко- куйбель между устьями рек Бозбай- тала и Коюбекджилга	4320	3860	5400	5430	4920	5600	4880
Коюбекджилга	4220	4160	5200	5740	5360	5870	4880
Темуркульджилга	4280	4180	4800	5620	5100	5680	4870
Чоршихана	4490	4440	4600	5230	5000	5340	4860
Усойтдара	4230	4000	5000	5500	5200	5670	4940
Левый безымянный приток р. Ку- дара ниже устья р. Усойтдара	4370	4260	4920	5420	5200	5570	4970
Челимджет	4490	4400	4600	4950	4800	5000	4730
Левые безымянные притоки р. Бартанга между устьями рек Че- лимджет и Нукбист	4490	4200	4620	5110	4700	5340	4830
Нукбист	3970	3700	5140	5430	4700	5600	4630
Левый безымянный приток р. Бартанга между устьями рек Нук- бист и Бардара	4220	4060	4700	5330	5000	5500	4710
Бардара	4420	3460	5800	5490	4700	5860	4910
Левый безымянный приток р. Бартанга между устьями рек Бардара и Девлех	4400	4400	4400	5100	5100	5100	4730
Девлех	4460	3880	5100	5700	4620	6080	4810
Левый безымянный приток р. Бартанга между устьями рек Девлех и Уеднив	4260	4180	4900	5130	4500	5250	4770
Уеднив	4080	3800	4600	4810	4040	5020	4390
Чадегив	4240	4100	4600	5080	4400	5120	4620
Даржомчдара	4060	4060	4060	5200	5200	5200	4600
Хацвордара	3850	3700	4300	4910	4200	5100	4380
Тавдара	3970	3800	4200	4920	4600	5130	4450
Раумиддара	3920	3540	4900	5300	4100	5700	4750
Джизевдара	4250	3970	4750	5080	4870	5220	4670
Риддара	4090	3800	4300	4900	4200	5200	4460
Догоб	4040	3950	4300	4680	4600	4700	4290
Левый безымянный приток р. Бартанга ниже устья р. Догоб .	4900	4900	4900	5500	5500	5500	5230

Таблица 12

Число, площадь и объемы ледниковых размерами более 0,1 км² в бассейнах притоков р. Бартанга

Бассейн реки	Число ледников	Площадь, км ²		Площадь области аблации, км ²		Объем льда, км ³
		общая	открытой части	общая	открытой части	
1	2	3	4	5	6	7
Обирун	13	6,7	6,7	3,5	3,5	0,1417
Багудара	4	1,7	1,7	0,8	0,8	0,0329
Правый безымянный приток р. Бартанга между устьями рек Багудара и Ходоржиодара .	1	0,5	0,5	0,2	0,2	0,0095
Ходоржиодара	4	3,8	3,8	2,0	2,0	0,1048
Баджудара	33	41,7	40,8	20,5	19,6	1,8008
Биджравдара	20	16,8	16,8	8,6	8,6	0,6383
Правый безымянный приток р. Бартанга между устьями рек Биджравдара и Чадут .	4	3,7	3,0	1,6	0,9	0,1293
Чадут	3	0,7	0,7	0,3	0,3	0,0101
Вадинров	8	5,7	5,7	2,9	2,9	0,2187
Правый безымянный приток р. Бартанга между устьями рек Вадинров и Рохац .	2	0,8	0,8	0,4	0,4	0,0149
Рохац	10	10,1	8,9	5,1	3,9	0,4197
Ильдож	2	1,6	1,6	0,8	0,8	0,0505
Язгулемдара	20	52,9	42,5	27,7	17,3	6,0083
Хабарвивхац	23	53,0	46,3	23,1	16,4	4,0859
Правый безымянный приток р. Кудара между устьями рек Хабарвивхац и Башурвдара .	3	0,8	0,8	0,4	0,4	0,0112
Башурвдара	10	13,8	13,8	6,4	6,4	0,5660
Хавраздара	30	24,7	21,9	13,1	10,3	0,9418
Правый безымянный приток р. Танымас между устьями рек Хавраздара и Чабаранг .	2	0,7	0,7	0,4	0,4	0,0119
Чабаранг	8	2,8	2,3	1,4	0,9	0,0599
Шукорджилга	8	4,5	4,0	2,3	1,8	0,1217
Правый безымянный приток р. Танымас между устьями рек Шукорджилга и Каиндыджилга .	3	0,8	0,8	0,3	0,3	0,0121
Каиндыджилга	6	1,9	1,9	1,0	1,0	0,0301
Правые безымянные притоки р. Танымас между устьем р. Каиндыджилга и долиной ледника Грумм-Гржимайло .	19	13,8	13,7	6,6	6,5	0,4193
Верховья р. Танымас от долины ледника Грумм-Гржимайло и выше .	86	278,4	269,9	132,4	123,9	39,4073
Ташдженгилга	2	0,3	0,3	0,1	0,1	0,0033
Яманджилга	11	11,3	11,3	5,0	5,0	0,4341
Кирчинджилга	12	7,1	7,1	3,2	3,2	0,1901
Янгидаван	3	1,2	1,2	0,5	0,5	0,0226
Кокджалар	25	5,6	5,6	2,2	2,2	0,0780
Левый безымянный приток р. Танымас между устьями рек Кокджалар и Кызылтукой .	1	0,1	0,1	—	—	0,0009
Кызылтукой	5	3,5	3,5	1,8	1,8	0,0878
Дамаматсай	2	3,3	3,2	1,7	1,6	0,1192
Левые безымянные притоки р. Танымас между устьями рек Дамаматсай и Кокуйбель .	6	1,7	1,7	0,6	0,6	0,0321
Правые безымянные притоки р. Кокуйбель между устьями рек Кокуйбель и Тузбель .	13	5,5	5,1	2,8	2,4	0,1453
Тузбель	2	0,4	0,4	0,2	0,2	0,0048
Кызылбелес	2	0,4	0,4	0,2	0,2	0,0048
Кокуйбель	15	4,9	4,9	2,3	2,3	0,0890
Кульайрык	5	3,5	3,5	1,8	1,8	0,0882
Муздженгилга	6	5,1	5,1	2,4	2,4	0,1809
Левый безымянный приток р. Кокуйбель между устьями рек Муздженгилга и Зорташкол .	1	1,3	1,3	0,7	0,7	0,0400
Зорташкол	42	67,3	65,1	33,4	31,2	4,0437
Левые безымянные притоки р. Кокуйбель между устьями рек Зорташкол и Бозбайтал .	12	7,8	7,8	3,5	3,5	0,0984
Бозбайтал	49	43,6	43,0	21,5	20,9	2,2860
Левые безымянные притоки р. Кокуйбель между устьями рек Бозбайтал и Коюбекдженгилга .	28	18,8	14,8	9,1	5,1	0,8173
Коюбекдженгилга	9	12,4	10,1	6,0	3,7	0,6238
Темуркульдженгилга	4	6,6	5,3	3,4	2,1	0,2796
Чоршихана	2	0,9	0,9	0,4	0,4	0,0169
Усойтдара	5	9,1	8,3	4,5	3,7	0,4595
Левый безымянный приток р. Кудара ниже устья р. Усойтдара	3	2,4	2,4	1,1	1,1	0,0687
Челимджет	6	1,3	1,3	0,5	0,5	0,0178

Бассейн реки	Число ледников	Площадь, км ²		Площадь области аблации, км ²		Объем льда, км ³
		общая	открытой части	общая	открытой части	
1	2	3	4	5	6	7
Левые безымянные притоки р. Бартанга между устьями рек Челимджет и Нукбист	6	1,5	1,5	0,6	0,6	0,0240
Нукбист	18	18,5	16,1	9,6	7,2	0,7830
Левый безымянный приток р. Бартанга между устьями рек Нукбист и Бардара	5	4,0	3,6	2,0	1,6	0,1146
Бардара	79	92,2	85,5	45,4	38,7	4,0411
Левый безымянный приток р. Бартанга между устьями рек Бардара и Девлех	1	0,5	0,5	0,2	0,2	0,0095
Девлех	62	69,0	68,4	35,3	34,7	3,9391
Левый безымянный приток р. Бартанга между устьями рек Девлех и Уеднин	5	5,3	5,3	2,6	2,6	0,2608
Уеднин	10	6,2	6,2	3,4	3,4	0,1648
Чадегив	3	2,0	2,0	1,0	1,0	0,0631
Даржомчдара	1	2,1	1,9	0,9	0,7	0,0822
Хацвордара	8	6,9	6,7	3,2	3,0	0,2290
Тавдара	3	2,0	2,0	1,0	1,0	0,0441
Раумиддара	68	78,3	78,3	39,6	39,6	4,3859
Джизевдара	16	18,5	18,5	9,2	9,2	0,7395
Риддара	8	3,2	3,2	1,4	1,4	0,0722
Догоб	1	0,3	0,3	0,2	0,2	0,0044
Левый безымянный приток р. Бартанга ниже устья р. Догоб	1	0,3	0,3	0,2	0,2	0,0044
Итого	888	1078,1	1023,6	526,5	472,0	80,4412



Рис. 36. Сложный долинный ледник Яэгулемдара (№ 114). Фото В. И. Рацека.



Рис. 37. Ледник Танымас-2 (№ 273). Фото В. И. Рацека.



Рис. 38. Конец ледника Астрономический (№ 293). Фото В. К. Ноэдрюхина.

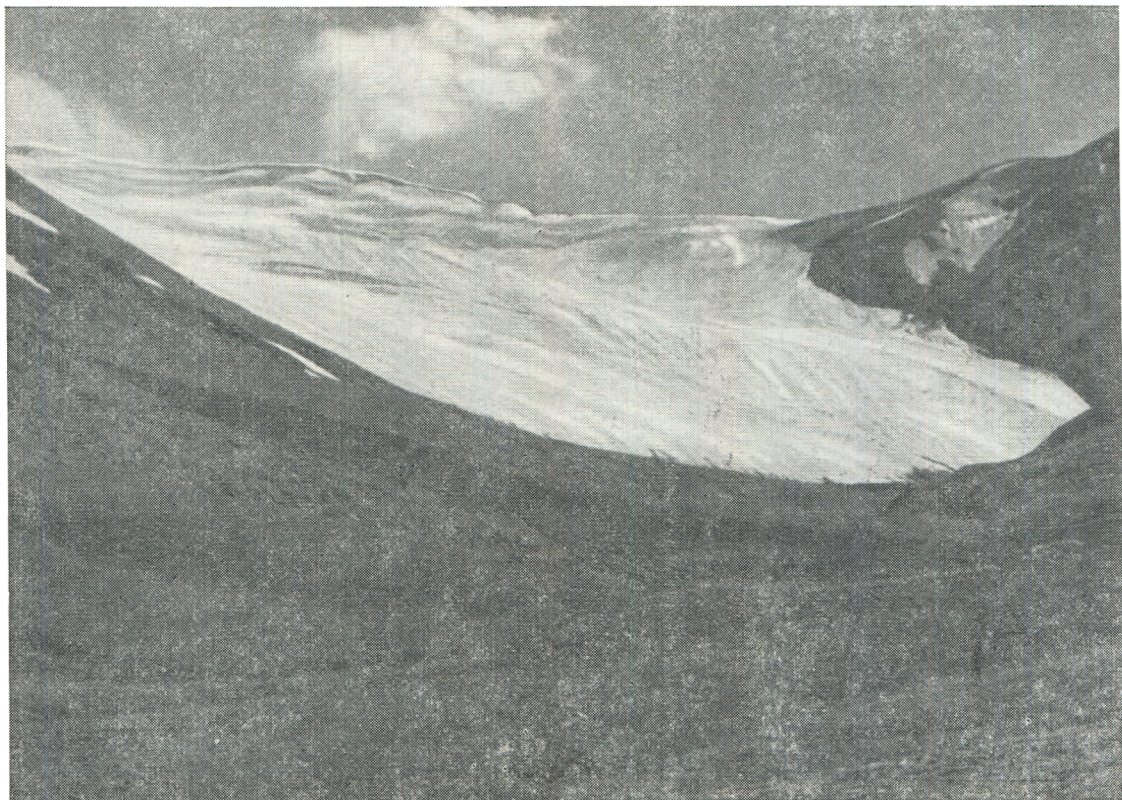


Рис. 39. Каровый ледник № 423 в бассейне р. Кульайрык. Фото А. С. Щетинникова.



Рис. 40. Карово-висячие ледники № 433 и 434. Фото А. С. Щетинникова.



Рис. 41. Висячий ледник № 459 в бассейне р. Зорташкол.
Фото А. С. Щетинникова



Рис. 42. Висячий каровый (№ 464) и висячий долинный (№ 465) ледники в бассейне р. Зорташкол. Фото А. С. Щетинникова.



Рис. 43. Поверхность ледника Танымас-2. Фото В. К. Ноздрюхина.

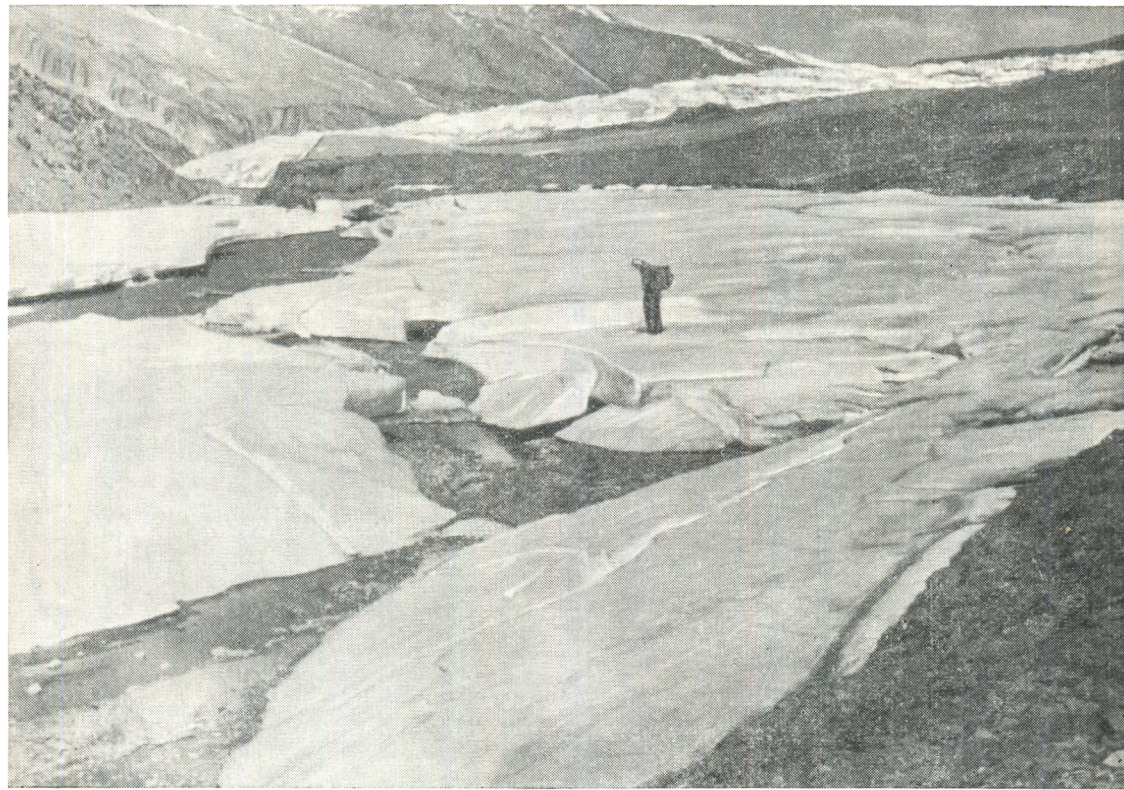


Рис. 44. Наледи в верховьях р. Танымас. *Фото В. К. Ноздрюхина.*



Рис. 45. Долинный (№ 722) и карово-висячий (№ 723) ледники в бассейне р. Девлех.
Фото Л. А. Канаева.

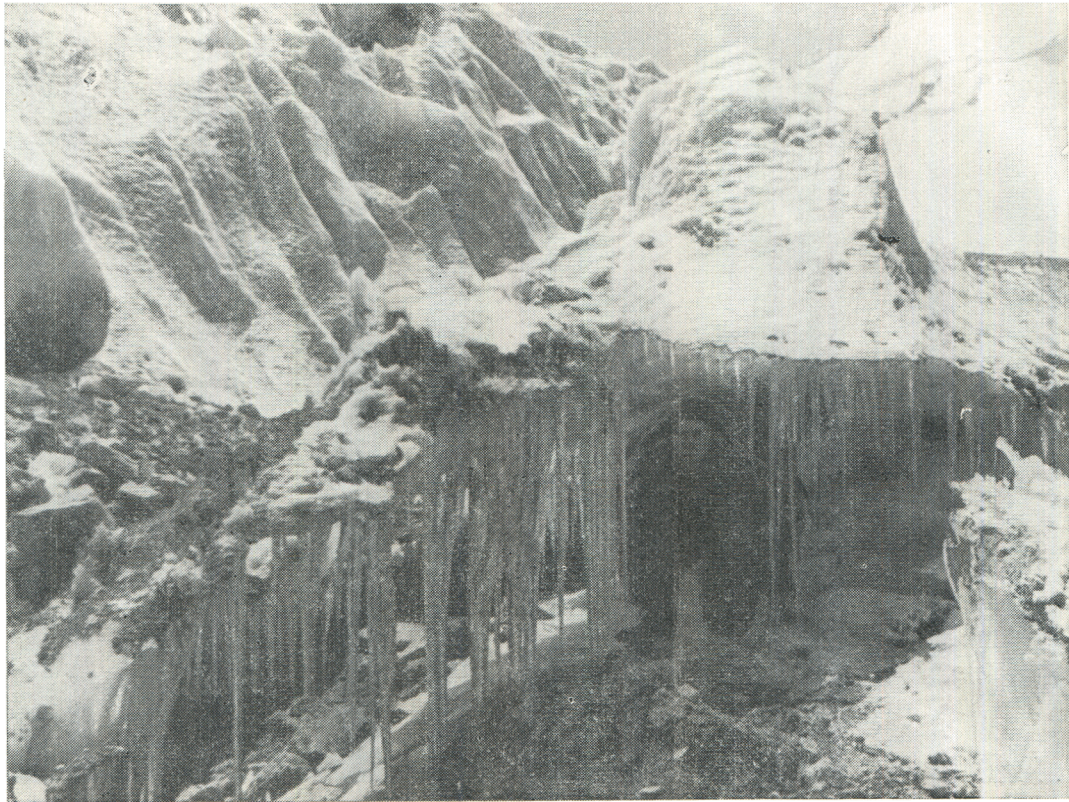


Рис. 46. Русло р. Танымас у конца языка Танымас-5 поздней осенью.

СОДЕРЖАНИЕ

Предисловие	3
Деление Каталога ледников СССР на тома, выпуски и части .	5
Список томов, выпусков и частей Каталога ледников СССР .	7
Список принятых сокращений	8
Краткая характеристика географического положения, морфологии, климатических условий и режима ледников	9
Схемы расположения ледников	19

Основные таблицы Каталога ледников

Таблица I. Основные сведения о ледниках	40
Пояснения к таблице I	84
Таблица II. Список гидрометеорологических станций и постов в районе ледников	86
Таблица III. Список суммарных осадкомеров в районе ледников	87
Таблица IV. Экспедиционные и стационарные исследования ледников .	—
Таблица V. Список работ, содержащих сведения о ледниках	88
Дополнительные материалы	91

Каталог ледников СССР, т. 14, в. 3, ч. 13

Отв. редактор *О. Н. Виноградов*

Редактор *И. С. Якорь*

Технич. редактор *В. И. Семенова* Корректор *А. В. Хюргес*

ИБ № 1016

Сдано в набор 29/VI 1977 г. Подписано к печати 10/II 1978 г.
М-09255. Формат 60×90 $\frac{1}{4}$. Бумага тип. № 1.
Печ. л. 13,5. Уч. изд. л. 15,21. Тираж 310 экз.
Индекс ГЛ-258. Заказ 17276. Цена 1 руб.
Гидрометеоиздат. Ленинград. 199053, 2-я линия, 23.
ЦКФ ВМФ